

وزارة التعليم والبحث العلمي  
MINISTERE DE L'ENSEIGNEMENT ET DE LA RECHERCHE SCIENTIFIQUE

## ECOLE NATIONALE POLYTECHNIQUE

DEPARTEMENT: Genie-Mecanique

Alex

## PROJET DE FIN D'ETUDES

### SUJET

TREUIL  
D'UN BANC D'ESSAI  
DIDACTIQUE

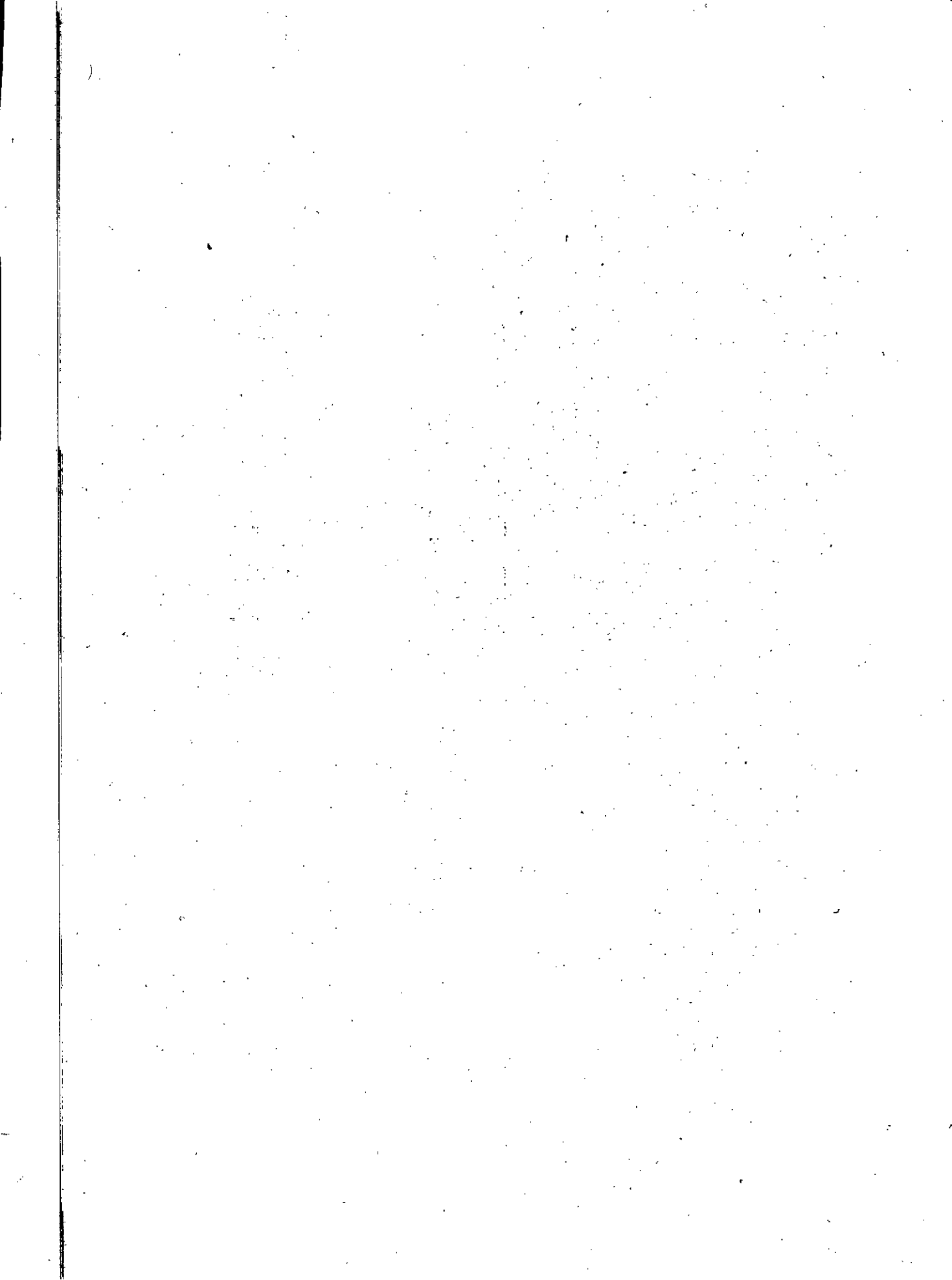
Proposé par :  
Mr A. Grefkowicz

Etudié par : S. Naouri  
Dirigé par : Mr A. Grefkowicz

ECOLE NATIONALE POLYTECHNIQUE

BIE DU 11.01.1985

PROMOTION : Janvier 1985



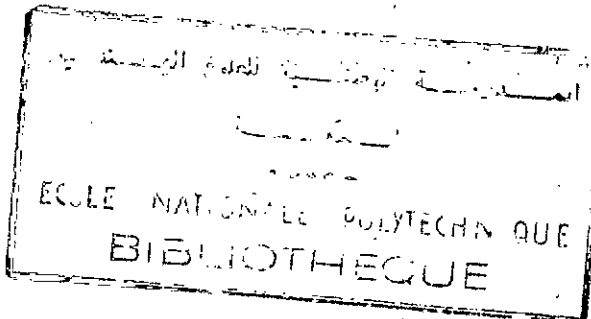
## Remerciements

Je tiens à remercier vivement Monsieur A. Grefkowicz  
Pour son aide et son suivi durant cette étude  
ainsi que tous les enseignants qui ont contribué  
à ma formation.

## Dedicaces

A la mémoire de mon père et de ma soeur Zahra,  
A ma très chère maman,  
A mes sœurs, mes belles sœurs et mes frères,  
A toute ma famille,  
A Ratiba,  
A tous mes amis

...je dédie ce modeste travail.



NOM : S.NAOURI

DEPARTEMENT : Genie Mécanique

PROMOTEUR : A. GREFKOWICZ

ملخص :  
يتمثل الهدف من هذه الدراسة في تطوير ملحوظة -  
لبيان قدرة قدرة قدرة تستهدف في تقييم بعض القبارب  
التفاوت بين حيث تختلف فيه تباين المقادير و  
المميزة لكل آلات الرفع، وبصورة خاصة فيما يلي -  
الارتفاع على مستوى الأسطوانة الرابعة وذلك بواسطة جهاز  
تorsiون لقياس التorsiون .

Résumé :

L'objet de cette étude ,consiste en la construction d'un treuil  
pour un banc d'essai didactique permettant la mesure des  
grandeur s caractérisant le travail des mécanismes de levage ,  
et , plus particulièrement, celle du couple au niveau du  
tambour grâce à deux dynamomètres tensiométriques .

Summary :

The objective of this study ,consists in the construction of a  
winch for a didactic testing bench, which will allow us to  
measure the characteristic sizes of the work of the hoisting  
mechanisms, especially the couple at the level of the  
cable drum, which will be measured by two tensiometric  
dynamometers .

## SOMMAIRE

### chap. I : INTRODUCTION

	Page
I.1 : Definition . . . . .	1
I.2 : But . . . . .	1
I.3 : Méthode de Mesure du couple sollicitant l'arbre du tambour . . . . .	2
I.3.1. : Différentes Possibilités de Mesure du couple sur les arbres . . . . .	2
I.3.2 : Mesure du couple sur l'arbre du tambour . . . . .	3
I.4 : Mesure du parcours du crochet, de la vitesse et des accélérations . . . . .	4

### chap. II : CALCUL GÉNÉRAL ET CHOIX DES ÉLÉMENTS DE CABLAGE.

II.1. : choix du câble	
II.1.1. : Rapport de transmission . . . . .	7
II.1.2 : Rendement de la moufle . . . . .	7
II.1.3 : EFFORT de traction du câble . . . . .	8
II.1.4 : diamètre du câble . . . . .	8
II.2 : Dimensions du tambour	
II.2.1. : diamètre du tambour . . . . .	9
II.2.2. : PROFIL du tambour . . . . .	10
II.2.3 : longueur du tambour . . . . .	11
II.3 : Vérification du tambour . . . . .	11
II.4 : calcul et choix des éléments de la moufle	
II.4.1 : calcul de la pouille de la moufle . . . . .	13
II.4.2 : Choix de la moufle . . . . .	13
II.4.3 : Choix du crochet . . . . .	14

### chap. III CALCUL ET CHOIX DU MOTEUR-FREIN.

III.1. : CALCUL	
III.1.1 : Rendement total . . . . .	15
III.1.2 : Puissance du régime . . . . .	15
III.2 : Choix du moteur-Frein . . . . .	15

<b>III.3</b>	<b>VERIFICATION thermique du moteur</b>	
<b>III.3.1</b>	<b>vitesse de sortie</b>	16
<b>III.3.2</b>	<b>Rapport de reduction</b>	16
<b>III.3.3</b>	<b>Moments mis en jeu dans chaque phase du cycle</b>	16
<b>III.3.3.1</b>	<b>Couples de levage et de descente</b>	17
<b>III.3.3.2</b>	<b>Puissance équivalente</b>	17
<b>III.4</b>	<b>VERIFICATION du frein</b>	18
<b>III.5</b>	<b>Temps de Demarrage et de Freinage.</b>	
<b>III.5.1</b>	<b>Temps de Demarrage</b>	18
<b>III.5.2</b>	<b>Temps de Freinage</b>	18

## chap. IV LE REDUCTEUR.

<b>IV.1</b>	<b>Choix du type de Reducteur.</b>	21
<b>IV.1.1</b>	<b>Repartition des Rapports de reduction</b>	
<b>IV.1.2</b>	<b>Caractéristiques des étages.</b>	24
<b>IV.1.3</b>	<b>Puissance sur les Arbres</b>	25
<b>IV.1.4</b>	<b>Vitesses angulaires des Arbres.</b>	25
<b>IV.1.5</b>	<b>Couples sur les Arbres</b>	27
<b>IV.1.6</b>	<b>EFFORTS sur les Pignons et les ROUES.</b>	27
<b>IV.2</b>	<b>VERIFICATION des dentures à la Rupture</b>	29
<b>IV.2.1</b>	<b>capacité à la rupture du 1<sup>er</sup> étage</b>	30
<b>IV.2.2</b>	<b>capacité à la rupture du 2<sup>ème</sup> étage</b>	32
<b>IV.2.2.1</b>	<b>EFFORTS tangentiels admissibles</b>	33
<b>IV.3.</b>	<b>VERIFICATION des dentures à la pression superficielle</b>	
<b>IV.3.1.</b>	<b>capacité à la pression superficielle du 1<sup>er</sup> étage</b>	35
<b>IV.3.1.1.</b>	<b>EFFORTS tangentiels admissibles</b>	36
<b>IV.3.1.2.</b>	<b>Puissance admissible du 1<sup>er</sup> étage</b>	36
<b>IV.3.2.</b>	<b>capacité à la pression superficielle du 2<sup>ème</sup> étage</b>	37
<b>IV.3.2.1</b>	<b>EFFORTS tangentiels admissibles</b>	38
<b>IV.3.2.2</b>	<b>Puissance admissible du 2<sup>ème</sup> étage</b>	38
<b>IV.4.</b>	<b>VERIFICATION des Arbres du reducteur</b>	
<b>IV.4.1.</b>	<b>Arbre-Moteur.</b>	41
<b>IV.4.2.</b>	<b>Arbre-intermédiaire</b>	45
<b>IV.4.3:</b>	<b>Arbre Creux</b>	50

## chap. V. CALCUL DES DYNAMOMETRES.

V.1	: Tension max. des dynamometres .....	54
V.1.1.	: Traction max du cable .....	54
V.1.2.	: ETATS de charge des dynamometres .....	56
V.2.	: CALCUL de Resistance des Dynamometres .....	59
V.3.1	: MESURE du couple .....	
V.3.1.	: Principe de la méthode d'extensométrie chimique ..	60
V.3.2	: CONSTITUTION et Fonctionnement des dynam .....	61
V.3.3.	: DETERMINATION de la constante du dynam .....	63
V.4.	: vérification de l'arbre du tombour .....	65

## chap. VI. CALCUL DE LA FLECHE.

VI.1.	: DETERMINATION de la portée .....	70
VI.2	: Réactions des Appuis .....	70
VI.3	: CALCUL des EFFORTS .....	
VI.3.1	: EFFORTS Sur l'axe de la poulie de renvoie .....	74
VI.3.2	: EFFORTS s'exerçant sur la Flèche .....	75
VI.4	: vérification et choix de certains éléments soutenant la Flèche .....	
VI.4.1	: AXE de la poulie de renvoie .....	76
VI.4.2	: Dimensions de la section des tirants .....	79
VI.4.3	: AXE soutenant les tirants et l'elingue cable .....	79
VI.4.4	: Choix de l'elingue-cable .....	80
VI.5	: Dimensions des PROFILS constituant la Flèche .....	81
VI.5.1	: DETERMINATION de l'écartement mini .....	83
VI.6	: vérification de l'axe au pied de la Flèche .....	84
	: CONCLUSION .....	86

## Table des figures

- fig1-1 : schéma d'un torsiometre tensiométrique
- fig1-2 : schéma du principe de mesure photo cellulaire
- fig1-3 : schema du banc d'essai.
- fig2-1 : disposition de la moufle
- fig2-2 : Profil du tambour
- fig2-3 : longueur du tambour
- fig4-1 : schéma du trauil
- fig4-2 : Répartition des efforts sur les arbres du réducteur
- fig4-3 : Montage du pignon moteur sur l'arbre du moteur et efforts s'exerçant sur cet arbre.
- fig4-4 : Diagramme des moments de l'arbre moteur.
- fig4-5 : Efforts sur l'arbre intermédiaire dans le plan vertical
- fig4-6 : Efforts sur l'arbre intermédiaire dans le plan horizontal
- fig4-7 : Diagramme des moments de l'arbre intermédiaire
- fig4-8 : Efforts sur l'arbre creux dans le plan horizontal
- fig4-9 : Efforts sur l'arbre creux dans le plan vertical
- fig4-10: Diagramme des moments de l'arbre creux.
- fig5-1 : couples sur la poulie de renvoi au levage de la charge maximale.
- fig5-2 : Efforts dynamiques sur le crochet.
- fig5-3 : Etats de charge des dynamomètres.
- fig5-4 : Dynamomètre tensiométrique
- fig5-5 : Jauge électrique de déformation .
- fig5-6 : Montage en pont de wheatstone et disposition des jauge sur les dynamomètres.

- fig5-7 : schéma du banc d'essai et effort sur l'arbre du tambour.
- fig5-8 : EFFORTS sur l'arbre du tambour dans le plan vertical.
- fig5-9 : EFFORTS sur l'arbre du tambour dans le plan horizontal.
- fig5-10: Diagramme des moments de l'arbre du tambour.
- fig6-1 : Schéma de la charge maximale.
- fig6-2 : Disposition de la flèche et efforts s'exerçants sur cette flèche.
- fig6-3 : EFFORTS sur l'axe de la poulie de renvoi
- fig6-4 : EFFORTS axiaux et normaux s'exerçants sur la flèche.
- fig6-5 : Tête de la flèche et axe de la poulie de renvoi
- fig6-6 : EFFORTS et diagramme du moment fléchissant de l'axe de la poulie de renvoi dans le plan vertical.
- fig6-7 : EFFORTS et diagramme du moment fléchissant de l'axe de la poulie de renvoi dans le plan horizontal.
- fig6-8 : Axes soutenants l'elingue-cable et les tirants.
- fig6-9 : Elingue-cable
- fig6-10: Disposition des profilés de la flèche.
- fig6-11 : Pied de la flèche et son axe.
- fig6-12: Efforts et diagramme du moment fléchissant de l'axe du pied de la flèche.

# CHAPITRE I : INTRODUCTION

## I.1. DEFINITION

des appareils de levage travaillent cycliquement, c'est-à-dire que les temps de marche des mécanismes sont suivis de temps d'arrêt, après quoi la marche est reprise souvent en sens inverse et, dans le travail des mécanismes, des périodes de démarrage, de mouvement uniforme et de freinage se suivent.

Pendant le démarrage, les couples et les efforts agissant sur les mécanismes sont variables, d'accord avec les caractéristiques des moteurs. Ces variations, plus ou moins brutales donnent naissance à des oscillations amorties.

En mouvement uniforme les couples et les efforts sont constants.

Pendant le freinage d'arrêt, effectué par un frein mécanique, le couple de freinage est approximativement constant, mais, il y a de nouveau, des oscillations produites par l'action du frein, la pose de la charge sur le sol ou par d'autres perturbations.

## I.2. BUT

L'objet de ce projet est la construction d'un travail didactique qui permettra d'observer et de mesurer des paramètres caractérisant le travail des mécanismes de levage dans les différentes phases du cycle de fonctionnement.

Du point de vue didactique, il est intéressant de mesurer les grandeurs relationnées, telles que l'accélération, le couple (ou la force), le parcours, etc.

Le banc d'essai didactique a considérer doit offrir des possibilités de mesure des grandeurs telles que celles qu'on vient de citer, par l'installation de capteurs, d'appareils d'enregistrement et de mesure appropriés.

La mesure la plus importante, celle qui a imposé

la construction particulière de notre tréuil, est celle du couple agissant sur le tambour; c'est la mesure la plus délicate. Nous nous pencherons, donc, de façon plus détaillée sur l'étude de cette mesure, tandis que les autres ne seront que mentionnées.

### I.3. METHODE DE MESURE DU COUPLE SOLlicitANT L'ARBRE DU TAMBOUR

#### I.3.1. Différentes Possibilités de Mesure du Couple Sur les Arbres :

##### a) Méthode du Torsiomètre Tensométrique :

**Principe :** L'appareil comprend une barre de torsion AB de diamètre ( $d$ ) et de longueur ( $l$ ), montée entre deux disques  $D_1$  et  $D_2$ , tournant sur deux paliers coaxiaux A' et B'. Deux manchons d'accouplement  $M_1$  et  $M_2$  permettent la liaison d'un côté avec le moteur et de l'autre avec un récepteur. Le décalage angulaire ( $\alpha$ ) entre  $D_1$  et  $D_2$ , dû au couple transmis, est mesuré au moyen d'un dispositif tensiométrique. Ce dernier est un capteur comprenant une ou plusieurs jauge(s) de contrainte constituée(s) par un fil filament en forme spirale, collée(s) autour de la barre de torsion et reliée(s) à un pont de Wheatstone. Les jauge(s) de contrainte sont ainsi soumises aux mêmes déformations que la barre de torsion, leur variation de résistance est liée aux variations de l'angle de déformation et par conséquent aux couples transmis.

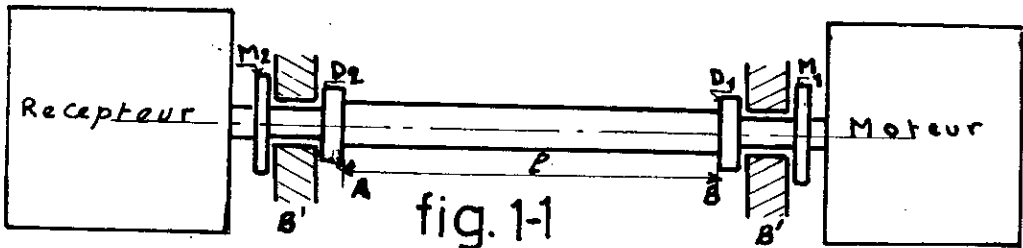


fig. 1-1

**Inconvénient :** l'utilisation des bagues et des bâtons (frotteurs) ou des solutions de mercure pour connecter les jauge(s) avec l'enregistreur, limite énormément la précision de la mesure.

b) Méthode de suspension du moteur sur une table libre en rotation, mesure du couple sur le stator.

Inconvénient : difficulté d'accouplement du moteur et du réducteur ; ce qui entraîne un défaut d'alignement.

### I.3.2. MESURE DU COUPLE SUR L'ARBRE DU TAMBOUR

On choisit une autre solution que celles évoquées ci-dessus celle de la mesure du couple sur l'arbre du tambour, valeur qui est bien corrélée avec le couple du moteur.

#### Description de la méthode

Le fait important est que le moteur-frein à bride est fixé au réducteur, réducteur qui est lui-même suspendu à l'arbre du tambour.

Sous l'effet de l'action ( $T$ ) du câble, un moment apparaît au niveau du tambour et agit sur le réducteur. La fixation de ce dernier contre la rotation par deux dynamomètres torsiographiques, préalablement tendus, entraîne la déformation de ceux-ci (allongement de l'un et raccourcissement de l'autre). Deux jauge de contrainte disposées longitudinalement sur chaque dynamomètre détectent ces déformations. La variation de résistances électriques des jauge est liée à la variation du couple  $M_k$  au niveau du tambour, dont le mesure se ramène ainsi à celle d'une résistance électrique.

Avantage : la méthode assure une grande exactitude de mesure avec un appareillage simple.

### I.4. MESURE DU PARCOURS DU CROCHET, DE LA VITESSE ET DES ACCELERATIONS

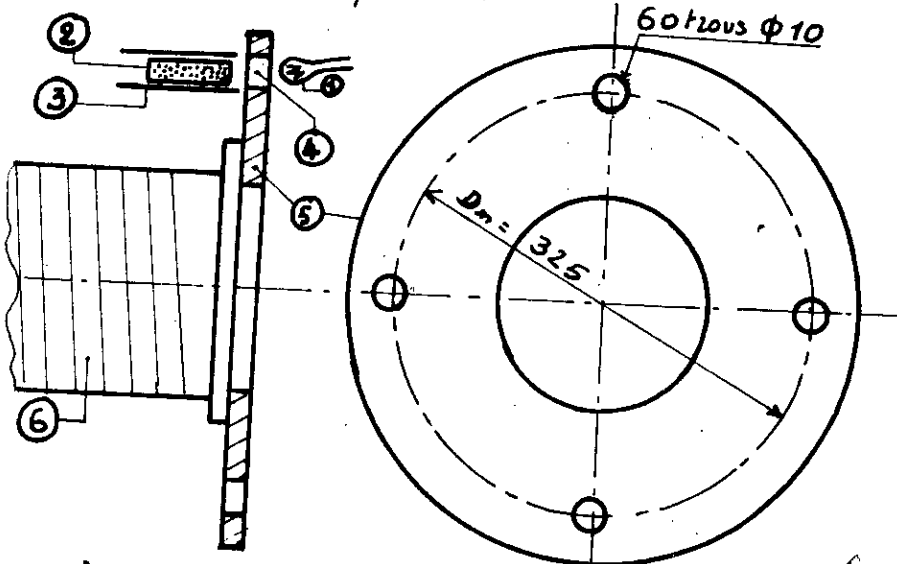
Principe de mesure photocellulaire :

Les périodes de démarage et de freinage durent en

général moins d'une seconde pour les appareils de levage, et une demi-seconde seulement pour notre treuil; C'est pourquoi les méthodes de mesure à enregistrement sont elles nécessaires. Le principe photocellulaire est très recommandé pour les intervalles de temps très courts.

- 1: source lumineuse
- 2: plaque excitatrice
- 3: tube
- 4: trou
- 5: disque
- 6: tambour

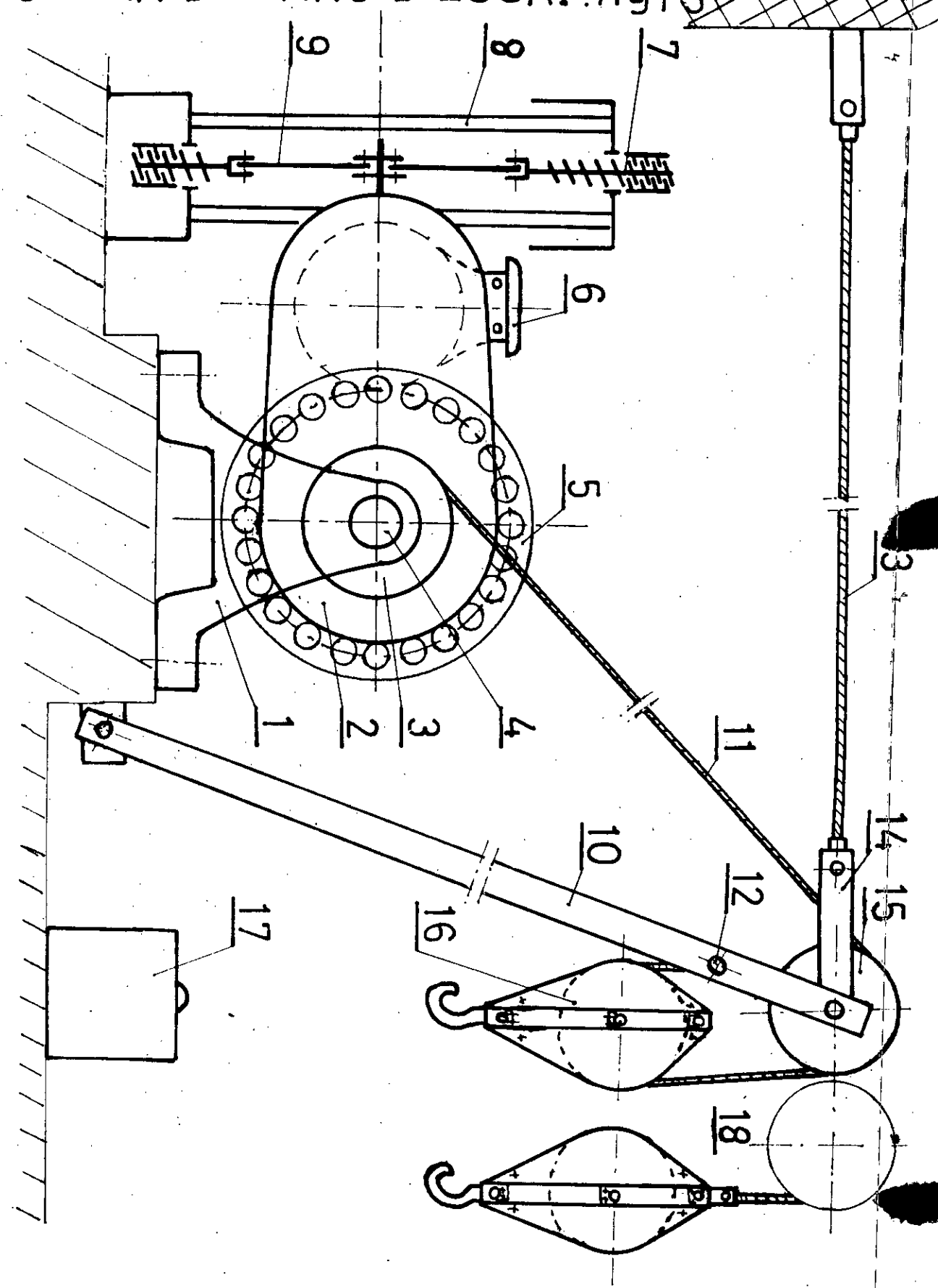
fig. 1-2



Un disque de diamètre moyen  $D_m = 325 \text{ mm}$  est rendu solidaire au tambour et tourne à la même vitesse que lui. Il comporte 60 trous de diamètre  $d = 10 \text{ mm}$  chacun, situés à intervalles réguliers sur toute sa périphérie.

au passage de la lumière, provenant de la source lumineuse (1), à travers le trou (4), la plaque (2) est excitée et génère un courant induit. Ce signal de ce courant sera enregistré sur une bande d'enregistreur. Ainsi, le courant apparaît à chaque fois qu'un trou laisse passer un rayon lumineux et ne disparaît qu'au moment où ce trou dépasse complètement le rayon lumineux. Après un bref moment de non passage de la lumière à travers le disque, un autre trou arrive et ainsi de suite. L'enregistreur électromagnétique nous donnera alors le parcours du crochet en fonction du temps; d'où par simple dérivation on tire la vitesse et par suite l'accélération du mouvement. Un accélérômetre, placé directement au niveau du crochet, permettrait éventuellement la comparaison des deux méthodes de mesure.

# SCHEMA DU BANC D'ESSAI :fig1-3



1. Palier Support.
2. Réducteur.
3. Tambour.
4. Arbre du Tambour.
5. Disque
6. Moteur. frein.
7. Système Vis. écrou .
8. Support des dynamomètres.
9. Dynamomètre .
10. Flèche
11. Cable
12. Point d'attache du brin fixe du cable.
13. Elingue - cable.
14. Tirant.
15. Poulie de Renvoie.
16. Moufle.
17. Charge.
18. Disposition pour rapport de transmission égale à un (1).

## Données de base:

- Capacité de charge :  $m_Q = 1000 \text{ Kg}$
- deux vitesses de levage : Valeurs à déterminer.

## Choix de quelques données:

On estime que le banc d'essai puisse être installé dans l'atelier du département. On choisit donc :

- hauteur de levage :  $H = 4 \text{ m}$ ,
- Vitesses de levage :  $V_1 = 12 \text{ m/min}$  pour  $m_Q = 1000 \text{ kg}$   
 $V_2 = 24 \text{ m/min}$  "  $m_Q = 500 \text{ kg}$

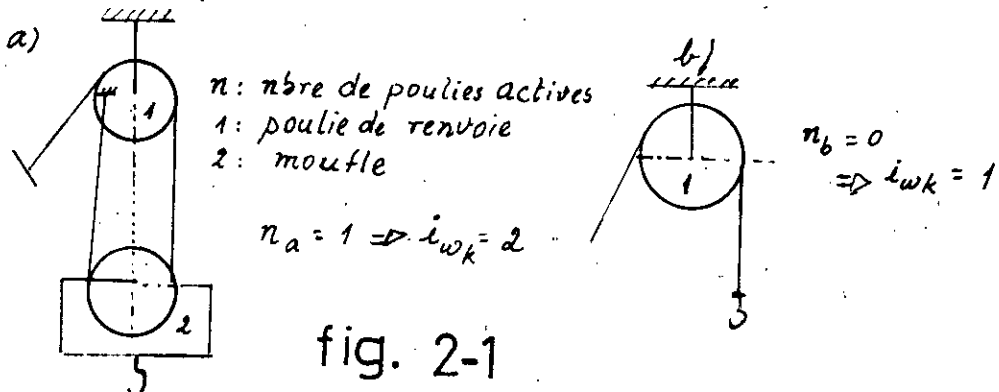
# CHAPITRE II

## CALCUL GENERAL ET CHOIX DES ELEMENTS DE CABLAGE

D'après la fédération Européenne de Normalisation le mécanisme de levage, qui fait l'objet de ce sujet, aura pour état de charge l'état moyen ou  $P = 2/3$ , pour classe de fonctionnement V2 ; pour groupe de classement 2m ; soit par comparaison avec la norme polonaise correspond au groupe II.

### II.1 CHOIX DU CABLE

#### II.1.1 Rapport de transmission : $i_{wk}$



#### II.1.2 Rendement de la moufle : $\eta_{wk}$

$$\eta_{wk} = \frac{1}{n+1} \cdot \frac{1 - \eta^{n+1}}{1 - \eta}$$

où  $\eta$  est le rendement de la poulie de la moulfe ;  $\eta = 0,95$  (palier lisse).  
adoptons le cas (a) ci-dessus, nous aurons donc :  
 $n = 1$ , il s'en suit que :

$$\eta_{wk} = \frac{1}{1+1} \cdot \frac{1 - (0,95)^{1+1}}{1 - 0,95} = 0,975$$

$$\eta_{wk} = 0,975$$

### II. 1.3 Calcul de l'effort de traction max ( $T$ ) du cable

$$T = \frac{Q + G_m}{i_{wk} \cdot \eta_{wk} \cdot \eta}$$

avec,

$Q$ : charge maximale en service,

$G_m$ : poids de la moulfe,

$i_{wk}$ : rapport de transmission (correspondant à la charge max),

$\eta_{wk}$ : rendement de la moulfe,

$\eta$ : rendement de la poulie de renvoi ;  $\eta = 0,95$  (palier lisse).

$$Q = m_Q \cdot g = 1000 \times 9,81 = 9810 \text{ N}$$

On choisit la masse de la moulfe  $m_m = 19,1 \text{ kg}$ , il vient alors :

$$G_m = M_m \cdot g = 19,1 \times 9,81 = 187 \text{ N}$$

$$\begin{array}{l|l} \eta = 0,95 & \\ \eta_{wk} = 0,975 & \\ i_{wk} = 2 & \\ Q = 9810 \text{ N} & \\ G_m = 187 \text{ N} & \end{array}$$

$$T = \frac{9810 + 187}{2 \cdot 0,975 \cdot 0,95} = 5397 \text{ N}$$

$$T = 539,7 \text{ daN}$$

### II. 1.4 Diamètre du cable $d$ :

Pour le groupe II, d'après la Norme Polonoise, le coefficient de sécurité  $C = 5$ . Soit  $T_c$  la tension du cable tenant compte du coefficient de sécurité, nous aurons alors :

$$T_c = C \cdot T = 5 \cdot 539,7 = 2698,5 \text{ daN}$$

On choisit, d'après la référence [1] page 11, un cable de diamètre  $1/d = 7 \text{ mm}$ , ayant les caractéristiques suivantes :

- force théorique de rupture :  $F_{th} = 3250 \text{ daN}$ ,
- résistance à la rupture :  $R_m = 180 \text{ daN/mm}^2$ ,
- perte de câblage :  $\eta_c = 0,85$

On calcule la force de rupture pratique par la relation :

$$F_{rp} = F_{rth} \cdot \eta_c$$

$$\begin{array}{l} F_{rth} = 3250 \text{ daN} \\ \eta_c = 0,85 \end{array}$$

$$F_{rp} = 3250 \cdot 0,85 = 2762,5 \text{ daN}$$

$$F_{rp} = 2762,5 \text{ daN}$$

Vérification du coefficient de sécurité choisi

$$\begin{array}{l} F_{rp} = 2762,5 \text{ daN} \\ T = 539,7 \text{ daN} \end{array} \quad C' = \frac{F_{rp}}{T} = \frac{2762,5}{539,7} \approx 5,12$$

Ainsi  $C' = 5,12 > C = 5$  mais assez proche de lui ; par conséquent, on adopte définitivement le câble déjà choisi (diamètre  $d = 7 \text{ mm}$ ) à partir de la ref. [1] page 11 suivant la norme polonaise :

LINA 7,0 - T 6x19 + A<sub>0</sub> - Z/S - n - IIg - 180 PN - 691M - 80207

Composition du câble :

$6 \times 19 = 114$  fils de  $\varnothing 0,45 \text{ mm}$  + A<sub>0</sub> (âme en textile)  
nombre de torons : 6, nombre de fils par toron : 19,  
section métallique du câble :  $S = 18,70 \text{ mm}^2$ ,  
masse linéaire :  $q = 0,172 \text{ kg/m}$ .

## II.2. DETERMINATION DES DIMENSIONS DU TAMBOUR

### II.2.1 Diamètre du Tambour

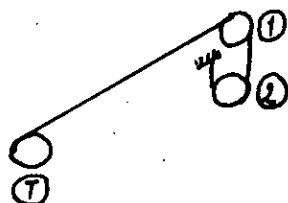
D'après la F.E.NI on détermine le diamètre minimal d'enroulement du câble par la condition :

$$D_b \geq H_1 \cdot H_2 \cdot d$$

où,

H<sub>1</sub> est un coefficient dépendant du groupe du mécanisme, et, H<sub>2</sub> un coefficient dépendant du nombre et de la disposition des boucles (le dernier coefficient est donné en fonction de la valeur du nombre de flexion W<sub>T</sub>). d est le diamètre du câble.

groupe II } de la F.E.M. donne      H<sub>1</sub> = 20  
câble normal }



$$\begin{array}{c} \textcircled{1} \\ | \\ \textcircled{2} \\ | \\ \textcircled{2} \end{array} \Rightarrow W_T = 1+2+2 = 5$$

D'après la F.E.M.      W<sub>Tot</sub> ≤ 5      6 ÷ 9      ≥ 10  
H<sub>2</sub>      1      1,12      1,25

Dans notre cas  $W_7 = 5 \Rightarrow H_2 = 1$

$$H_1 = 20$$

$$H_2 = 1$$

$$d = 7 \text{ mm}$$

$$D_b \geq 20 \cdot 1 \cdot 7 = 140 \text{ mm}$$

adoptons  $D_b = 180 \text{ mm}$

On choisit un tube en acier XC 35 ~~mm~~, filé à la presse (ref [2] page 192 NF A 49 - 112 (73)) qui sera profilé, par la suite, à l'aide d'un outil de forme.

Caractéristiques du tube:

- diamètre extérieur : 180 mm,
- épaisseur :  $e = 12,5 \text{ mm}$ ,
- résistance à la rupture :  $640 \text{ N/mm}^2$ ,
- limite d'élasticité :  $R_e = 330 \text{ N/mm}^2$ .

## II. 2.2 Profil du tambour

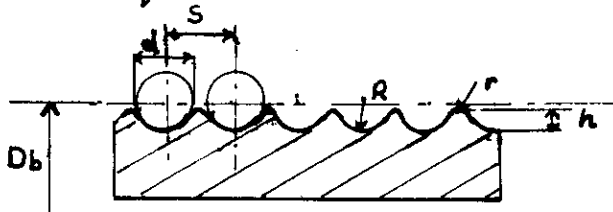


fig. 2-2

On choisit le profil, d'après la norme polonoise PN. 61/M 8462 [ref [1] page 31], correspondant au diamètre  $d = 7 \text{ mm}$  du câble.

Caractéristiques du profil:

$s$ (pas) :	8,5 mm
$R$ :	3,75 mm
$h$ :	3 mm
$r$ :	0,8 mm

## II. 2.3 Longueur du Tambour

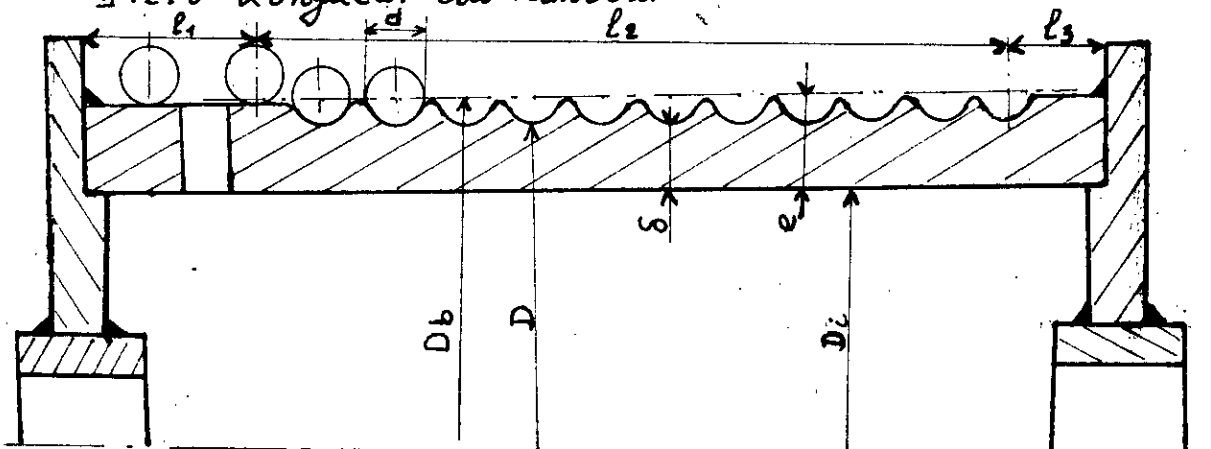


fig. 2-3

Nombre de spires :

$$Z = \frac{H \cdot i_{wk}}{\pi D_b} + 2 \div 3$$

avec

$H$  : hauteur de levage,

$i_{wk}$  : rapport de transmission,

$2 \div 3$  : Spires supplémentaires pour éviter l'effet de traction directe sur l'attache du câble,

$D_b$  : diamètre d'enroulement.

$$H = 4 \text{ m}$$

$$i_{wk} = 2$$

$$D_b = 180 \text{ mm}$$

$$Z = \frac{4 \cdot 2}{\pi \cdot 0,180} + 3 = 18 \text{ spires}$$

$$Z = 18 \text{ spires}$$

longueur filetée ( $l_2$ ) :

$$Z = 18$$

$$S = 8,5 \text{ mm}$$

$$l_2 = Z \cdot S = 18 \cdot 8,5 = 153 \text{ mm.}$$

On prend  $l_1 = 44 \text{ mm}$  et  $l_3 = 23 \text{ mm}$ .

longueur totale ( $l$ ) :

$$l = l_1 + l_2 + l_3 = 44 + 153 + 23 = 220 \text{ mm}$$

$$l = 220 \text{ mm}$$

### II.3. VERIFICATION DU TAMBOUR

Le tambour est sollicité par des contraintes suivantes :

- contrainte de flexion par la traction du câble,
- contrainte de torsion,
- contrainte de compression par le serrage du câble.

Le rapport de la longueur du tambour ( $L$ ) à son diamètre ( $D_b$ ),  $\frac{L}{D_b} = \frac{220}{180} = 1,2$ , étant inférieur à 3,5, c'est à dire que, le tambour étant relativement court, la vérification de ce dernier à la flexion n'est pas nécessaire. On fera alors uniquement la vérification à la compression.

Vérification du tambour à la compression :

La formule de Lamé pour les tubes à parois épaisses soumis à la compression nous donne :

$$\sigma_{\max} = \frac{T \cdot D}{(D-S)S S}$$

$\sigma_{\max}$  : Contrainte maximale de compression dans les parois du tambour due à l'enroulement,  
 T : effort de traction dans le câble,  
 D : diamètre du pied du tambour,  
 S : épaisseur de la paroi du tambour,  
 s : pas d'helice de la rainure.

$$\left. \begin{array}{l} D = D_b - d = 180 - 7 = 173 \text{ mm} \\ S = e - d/2 = 12,5 - 3,5 = 9 \text{ mm} \end{array} \right\} \begin{array}{l} (\text{voir fig. 2-3}) \\ \hline \end{array}$$

$$\left. \begin{array}{l} T = 5397 \text{ N} \\ D = 173 \text{ mm} \\ S = 9 \text{ mm} \\ s = 8,5 \text{ mm} \end{array} \right|$$

$$\sigma_{\max} = \frac{5397 \cdot 173}{(173-9) \cdot 9 \cdot 8,5} = 74,4 \text{ N/mm}^2$$

$$\sigma_{\max} = 74,4 \text{ N/mm}^2$$

Le tambour choisi (Voir II. 2.1) est en acier XC35 dont la limite élastique est  $R_e = 330 \text{ N/mm}^2$ .

Avec un coefficient de sécurité  $c = 3$ , nous aurons :

$(\sigma_{\text{adm}})_c = R_e/c = 330/3 = 110 \text{ N/mm}^2$ , c'est une valeur recommandée pour les tambours en acier souillé.

$\sigma_{\max} = 74,4 \text{ N/mm}^2$  étant inférieure à  $\sigma_{\text{adm}} = 110 \text{ N/mm}^2$  ( $\sigma_{\max} < \sigma_{\text{adm}}$ ), le tambour est donc vérifié à la compression.

## II.4. CALCUL ET CHOIX DES ELEMENTS DE LA MOUFLÉ

On utilise un acier mi-dur pour la construction de la moufle. La poulie sera montée sur un coussinet en bronze. La lubrification sera assurée par des orifices exécutés dans l'axe de la poulie.

## II.4.1. Calcul de la Poulie de la Moufle

Le diamètre de la poulie doit vérifier l'inéquation :

$$D_p \geq H_1' \cdot H_2 \cdot d$$

avec,

$H_1'$ : coefficient dépendant du groupe du mécanisme,

$H_2$ : " du nombre et de la disposition des poulies,

$d$ : diamètre du câble.

$$W_7 = 5 \text{ (voir II.2.1)} \Rightarrow H_2 = 1.$$

$$\begin{array}{l} \text{groupe } 9 \\ \text{câble normal} \end{array} \Rightarrow H_1' = 22$$

$$H_1' = 22$$

$$H_2 = 1$$

$$d = 7 \text{ mm}$$

$$D_p \geq 22 \cdot 1 \cdot 7 = 154 \text{ mm}$$

\* Choix de la Poulie : On choisit un diamètre normalisé de la poulie, soit

$D_p = 200 \text{ mm}$  (correspondant à un diamètre de câble  $d_{\text{cab}} = 7 \text{ à } 10 \text{ mm}$ ) avec un profil normalisé, d'après la Norme Polonoise :

KRZEK. LINOWY 200-C-066-CLS [ref[1] page 24]

remarque : La poulie de renvoi est choisie la même que celle de la moufle.

## II.4.2. CHOIX DE LA MOUFLÉ

On choisit la moufle selon la Norme Polonoise :

Nr. 1 - D - 023 DEA (NM-65/33925) [ref[1]] p.41.

remarque : Cette moufle a un poids de 187 N (19,1 kgf) ce qui correspond exactement à la valeur supposée précédemment pour ce poids.

## II.4.3 CHOIX DU CROCHET

On choisit un crochet en acier demi-doux forgé :

- 0,5% de carbone,
- résistance à la rupture  $R_t = 50 \text{ dan/mm}^2$ ,
- limite d'élasticité  $R_e = 35 \text{ dan/mm}^2$ ,
- allongement pour cent  $A = 23\%$ .

Les dimensions sont choisies en fonction de la charge maxi et du groupe de fonctionnement :

groupe II  
charge maxi : 1000 kg }  $\Rightarrow$  d'après ces données, on choisit un crochet fourni par la Norme Polonaise:

HAK - JEDNOKROZNY -

1-31/115 (PN 67/51-84551)

# CHAPITRE III

## CALCUL ET CHOIX DU MOTEUR-FREIN

### III.1. CALCUL

#### III.1.1. Calcul du Rendement total $\eta_c$

$$\eta_c = \eta_{wk} \cdot \eta_r \cdot \eta_m \cdot \eta_b$$

$\eta$ : rendement de la moufle,  $\eta$ : rendement de la partie de renvoie,  
 $\eta_{wk}$ : " du réducteur (2 étages),  $\eta$ : " du tambour

$$\eta_{wk} = 0,975$$

$$\eta_r = 0,95$$

$$\eta_m = 0,97^2$$

$$\eta_b = 0,97$$

$$\eta_c = 0,975 \cdot 0,95 \cdot 0,97^2 \cdot 0,97 = 0,85$$

$$\eta_c = 0,85$$

#### III.1.2 Calcul de la puissance de régime ( $Nu$ )

$$Nu = \frac{Q + G_M}{\eta_c} \cdot V_p$$

$Q$ : charge maximale

$G_M$ : poids de la moufle

$V_p$ : vitesse de levage - correspondant à la charge maxi.

$$V_p = 12 \text{ m/min} = 0,2 \text{ m/s}$$

$$Q = 9810 \text{ N}$$

$$G_M = 187 \text{ N}$$

$$\eta_c = 0,85$$

$$\sqrt{c} = 0,2 \text{ m/s}$$

$$Nu = \frac{9810 + 187}{0,85} \cdot 0,2 = 2352,3 \text{ W}$$

$$Nu = 2,35 \text{ kW}$$

### III.2. CHOIX DU MOTEUR-FREIN

Après analyse et comparaison de différents moteurs-freins présentant différentes caractéristiques, on a jugé utile d'adopter le moteur-frein à bride série G, type H UNELEC [ref. [3] page 9]. C'est un moteur-frein disponible chez ALSTHOM INDUSTRIE (groupe des moteurs industriels). Il répond aux règles techniques pour la fourniture des machines électriques [publication N.F.C. 51 100 de l'UTE].

Il offre notamment l'avantage du réglage du couple de freinage sur une plage très étendue, ce qui est intéressant pour les expériences.

### Caractéristiques du moteur-frein type GH 112 LW

- puissance nominale  $P_n = 2,2 \text{ kW (3 ch)}$ ,
- vitesse synchrone  $n_A = 1000 \text{ tr/min}$ ,
- vitesse nominale  $n_N = 935 \text{ tr/min}$ ,
- rendement  $\eta = 0,78$ ,
- $I$  sous 220 V triphasé  $I = 9,5 \text{ A}$ ,
- couple nominal  $M_n = 2,25 \text{ daN.m}$ ,
- moment d'inertie  $J = 0,098 \text{ kg.m}^2$ ,
- coefficient de démarrage  $C_d/C_n = 1,8$ ,
- couple de freinage max :  $I_d/I_n = 5,3$ ,
- $C_f/C_n = 3,1$ .

### III.3. VÉRIFICATION THERMIQUE DU MOTEUR

#### III.3.1. Vitesse de sortie ou vitesse du tambour ( $n_b$ ) :

$$n_b = \frac{V_p \cdot i_{wk}}{\pi \cdot D_b}$$

$V_p$  : vitesse de levage,

$i_{wk}$  : rapport de transmission,

$D_b$  : diamètre d'enroulement du câble sur le tambour.

$$V_p = 1,2 \text{ m/min}$$

$$i_{wk} = 2$$

$$D_b = 180 \text{ mm}$$

$$n_b = \frac{12 \cdot 2}{\pi \cdot 0,180} = 42,44 \text{ tr/min}$$

#### III.3.2. Détermination du rapport de réduction ( $i_M$ )

$$i_M = n_{mot} / n_b$$

$n_{mot}$  : vitesse nominale du moteur,

$n_b$  : vitesse de rotation du tambour.

$$n_M = 935 \text{ tr/min}$$

$$n_b = 42,44 \text{ tr/min}$$

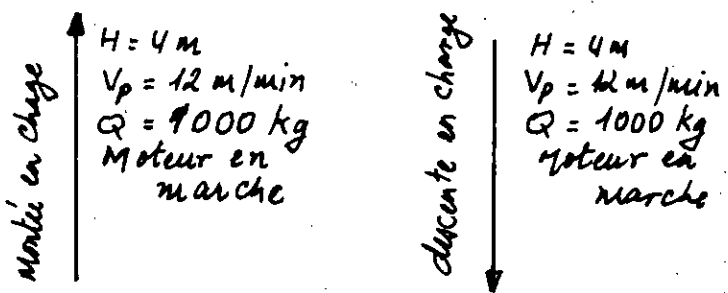
$$i_M = 935 / 42,44 = 22,03$$

$$i_M = 22,03$$

#### III.3.3. Calcul du moment mis en jeu dans chaque phase du cycle

de treuil étant destiné à un banc d'essai didactique, toutes les phases du mouvement peuvent être envisagées; toutefois, pour

La vérification thermique du moteur, on retiendra les phases extrêmes, qui sont :



### III.3.3.1 - Couples de levage ( $M_u$ ) et de descente ( $M_{uh}$ )

$$M_u = \frac{(Q + G_M) D_b}{2 \cdot i_{wk} \cdot i_m \cdot \eta_c}$$

$$\begin{aligned} Q &= 9810 \text{ N} \\ G_M &= 187 \text{ N} \\ D_b &= 180 \text{ mm} \\ i_{wk} &= 2 \\ i_m &= 22,03 \\ \eta_c &= 0,85 \end{aligned}$$

$$M_u = \frac{(9810 + 187) \cdot 0,180}{2 \cdot 2 \cdot 22,03 \cdot 0,85} = 24 \text{ N.m}$$

$$M_u = 24 \text{ N.m}$$

$$M_{uh} = \underbrace{\frac{(Q + G_M) D_b}{2 \cdot i_{wk} \cdot i_m}}_{\eta_{ch}} \quad \text{avec } \eta_{ch} = 0,85$$

Couple de freinage lors de la descente (il sert au maintien de la charge).

$$M_{uh} = \frac{(9810 + 187) \cdot 0,180}{2 \cdot 2 \cdot 22,03} \cdot 0,85 = 17,4 \text{ N.m}$$

$$M_{uh} = 17,4 \text{ N.m}$$

### III.3.3.2 - Puissance équivalente $N_{eq}$ - vitesse angulaire du moteur.

$$\omega_n = \frac{\pi n_n}{30} = \frac{\pi \cdot 935}{30} \approx 97,91 \text{ rad/s.}$$

- Moment équivalent :

$$M_{eq} = \sqrt{\frac{M_u^2 + M_{uh}^2}{2}} = \sqrt{\frac{24^2 + 17,4^2}{2}} \approx 20,9 \text{ N.m}$$

- Puissance équivalente

$$N_{eq} = \omega_n \cdot M_{eq} = 97,91 \cdot 20,9 \approx 2050 \text{ W}$$

$$N_{eq} = 2,05 \text{ kW}$$

$$N_{eq} = 2,05 \text{ kW} < P_n = 3,2 \text{ kW}$$

ainsi, le moteur choisi satisfait la condition thermique.

### III.4 VERIFICATION DU FREIN

Rappelons que le moteur-frein choisi présente un couple de freinage réglable. de couple de freinage max. est donné par  $C_f/C_n = 3,1$

$$C_n : \text{couple nominal} \quad C_n = 22,5 \text{ N.m}$$

$\Rightarrow$

$$C_{f\max} = 3,1 \cdot C_n = 3,1 \cdot 22,5 = 69,75 \text{ N.m}$$

La vérification du frein est basé sur la vérification de l'inégalité  $M_H \geq Z \cdot M_{fh}$

$$M_H = C_f : \text{couple de freinage}$$

$M_{fh}$ : couple dû à la descente de la charge maxi.

$Z$ : coefficient de sécurité de freinage en fonction du groupe de mécanisme

groupe II  $\Rightarrow Z = 2$  [ref[4] page 82]

$$M_H = 69,75 \text{ est bien sup. à } Z \cdot M_{fh} = 34,7$$

Donc, le frein du moteur convient largement. Le dispositif de réglage du frein permettra de réduire le couple de freinage à la valeur désirée.

### III.5 CALCUL DES TEMPS DE DEMARRAGE ( $t_d$ ) ET DE FREINAGE ( $t_h$ )

#### III.5.1 TEMPS DE DEMARRAGE ( $t_d$ )

a. Moment d'inertie réduit au 1<sup>er</sup> arbre ( $I_2$ ):

$$I_2 = S(I_{rot} + I_{acc}) + \frac{(M_a + M_m) D_b^2}{4 \cdot i_{w_k}^2 \cdot l_m^2 \cdot \eta_c}$$

$S$ : coefficient qui tient compte de la valeur négligée des moments d'inertie des masses sur les arbres intermédiaires,  
 $S = 1,05 \div 1,15$ ;  $S = 1,05$  pour les mécanismes de levage.

$I_{rot}$ : moment d'inertie du rotor du moteur-frein

$$I_{rot} = 0,098 \text{ kg.m}^2 \text{ [Voir III.2]}$$

$I_{acc}$ : moment d'inertie de l'accouplement

$$I_{acc} = 0 \text{ (pas d'accouplement dans notre cas).}$$

$$\delta = 1,05$$

$$I_{rot} = 0,098 \text{ kg} \cdot \text{m}^2$$

$$I_{acc} = 0 \text{ kg} \cdot \text{m}^2$$

$$M_A = 1000 \text{ kg}$$

$$M_M = 19,1 \text{ kg}$$

$$D_b = 180 \text{ mm}$$

$$i_m = 22,03$$

$$i_{w_k} = 2$$

$$\eta_c = 0,85$$

$$I_2 = 1,05 (0,098) + \frac{(1000 + 19,1) \cdot 0,180^2}{4 \cdot 2^2 \cdot 22,03^2 \cdot 0,85} =$$

$$= 0,103 + 0,005 =$$

$$= 0,108 \text{ kg} \cdot \text{m}^2$$

$$I_2 = 0,108 \text{ kg} \cdot \text{m}^2$$

b) Moment résultant  $M_W$

$$M_W = M_{mdem} - M_u$$

$M_{mdem}$ : couple moyen de démarrage  $\equiv$  couple de démarrage donné comme caractéristique du moteur-frein.

$$\frac{M_{mdem}}{C_n} = 1,8 \quad [\text{Voir III.2}]$$

$$C_n = 22,5 \text{ N.m} : \text{ couple nom. du mot.}$$

$$\left. \begin{array}{l} M_{mdem} = 1,8 \cdot C_n = \\ M_{mdem} = 1,8 \cdot 22,5 = 40,5 \text{ N.m} \end{array} \right\}$$

$$M_W = 40,5 - 24 = 16,5 \text{ N.m}$$

$$M_W = 16,5 \text{ N.m}$$

Temps de démarrage:

$$t_d = \frac{I_2}{M_W} \omega_{nom} = \frac{0,108}{16,5} \cdot 97,91 \approx 0,64 \text{ s.}$$

Accélération linéaire moyenne du crochet:

$$t_d = 0,64 \text{ s.}$$

$$a_{avg} = \frac{\omega}{t_d} = 0,2 / 0,64 \approx 0,31 \text{ m/s}^2$$

Parcours du crochet au démarrage:

$$s = \frac{a_{avg} \cdot t_d^2}{2} = \frac{0,31 \cdot 0,64^2}{2} \approx 0,063 \text{ m} = 6,3 \text{ cm}$$

### III.5.2. TEMPS DE FREINAGE ( $t_h$ )

$$t_h = \frac{I_{zh} \cdot \omega_h}{M_{wh}}$$

$I_{zh}$ : moment d'inertie réduit au 1<sup>er</sup> arbre: descente.

$$I_{zh} = S(I_{rot}) + \frac{(M_a + M_m) D_b^2}{4 \cdot i_{wk} \cdot i_n^2} \eta_{ch} ; \quad \eta_{ch} = \eta_c$$

$$= 0,103 + 0,005 \cdot \eta_c^2 = 0,103 + 0,004 = 0,107 \text{ kg} \cdot \text{m}^2$$

Vitesse de rotation du tambour lors de la descente :

$$\omega_h = \frac{\pi \cdot n_h}{30}$$

$$n_{nom} = 935 \text{ tr/min},$$

$$n_{syn.} = 1000 \text{ tr/min}, \text{ le glissement } g = n_{syn.} - n_{nom} = 1000 - 935 = 65 \text{ tr/min}$$

au démarrage.

On suppose le même glissement au freinage, il vient alors que,

$$\eta_h = n_{syn.} + g = 1000 + 65 = 1065 \text{ tr/min}.$$

$$\omega_h = \frac{\pi \cdot 1065}{30} = 111,53 \text{ rad/s.}$$

Moment résultant à la descente ( $M_{wh}$ )

$$M_{wh} = | -M_f + M_{uh} | =$$

$$M_f (\text{moment de freinage exigé}) = 2 M_{uh} = 2 \cdot 17,4 = 34,8 \text{ N.m}$$

$$M_f = 34,8 \text{ N.m}$$

$$M_{uh} = 17,4 \text{ N.m}$$

$$M_{wh} = | -34,8 + 17,4 | = 17,4 \text{ N.m}$$

$$I_{zh} = 0,107 \text{ kg} \cdot \text{m}^2$$

$$\omega_h = 111,53 \text{ rad/s}$$

$$M_{uh} = 17,4 \text{ N.m}$$

$$t_h = \frac{0,107 \cdot 111,53}{17,4} = 0,69 \text{ sec.}$$

$$t_h = 0,69 \text{ s.}$$

Vitesse pendant la descente :

$$v_h = v_p \cdot \frac{n_h}{n_n} = 0,2 \cdot \frac{1065}{935} = 0,228 \text{ m/s}$$

Souscours pendant le freinage :

$$S_h = \frac{1}{2} v_h t_h = \frac{1}{2} [0,228 \cdot 0,69] = 0,079 \text{ m} = 7,9 \text{ cm.}$$

## CHAPITRE IV : LE REDUCTEUR

### IV.1. CHOIX DU TYPE DE REDUCTEUR

#### \* Rapport de réduction

$$i_m = n_{mot} / n_b$$

avec,

$n_{mot}$  : vitesse nominale du moteur,

$n_b$  : vitesse de rotation du tambour.

$$\begin{array}{l|l} n_{mot} = 935 \text{ tr/min} & i_m = \frac{935}{42,44} = 22,03 \\ n_b = 42,44 \text{ tr/min} & \end{array}$$

On adopte un réducteur à train d'engrenages à deux étages ; roues cylindriques à denture hélicoïdale permettant d'avoir un nombre de dents réduit pour les pignons sans apparition de l'interférence. Elles assurent également un engrenement silencieux, avec le rapport de conduite plus élevé par rapport à la denture droite.

La forme des dents et la répartition de la charge assurent une plus grande résistance de l'engrenage.

#### IV.1.1. REPARTITION DES RAPPORTS DE REDUCTION

Le besoin de la mesure du couple au niveau du tambour (couple  $M_k$ ) nous a amené à adopter un réducteur volant reposant sur l'arbre du tambour. Il est alors nécessaire qu'il soit le moins encombrant et le moins lourd possible, d'où la nécessité de choisir des entrées très réduites.

Un réducteur volant exige l'utilisation d'un moteur-frein à brides (non fixé à la table), de pignon moteur sera monté directement sur l'arbre du moteur-frein ; Ceci a pour avantage de nous éviter l'emploi d'accouplement.

Pour avoir un encombrement réduit, on réduit le nombre de dents sur les pignons 1 et 3.

Les deux étages sont à dentures hélicoïdales. Le nombre minimum (sans apparition d'interférence de taillage) est donné par la relation :

$$\frac{\gamma'}{\alpha} = \frac{2 \cos \beta}{\sin^2 \alpha_f}$$

Avec,

$\beta$ : angle d'hélice (inclinaison primitive),  
 $\alpha_t$ : angle de pression apparent.

Détermination de  $\alpha_t$

$$\operatorname{tg} \alpha_t = \operatorname{tg} \alpha_n / \cos \beta \quad \alpha_n: \text{angle de pression réel}$$

a) 1<sup>er</sup> étage

$$\left. \begin{array}{l} \alpha_n = 20^\circ \\ \beta_1 = 30,0856^\circ \end{array} \right\} \Rightarrow \alpha_{t_1} = \operatorname{arctg} \left( \frac{\operatorname{tg} 20^\circ}{\cos 30,0856} \right) = 22,8136^\circ$$

$$Z'_1 = \frac{2 \cos \beta_1}{\sin^2 \alpha_{t_1}}$$

$$\left. \begin{array}{l} \beta_1 = 30,0856^\circ \\ \alpha_{t_1} = 22,8136^\circ \end{array} \right\} \Rightarrow Z'_1 = \frac{2 \cos 30,0856}{\sin^2 22,8136} = 12 \text{ dents}$$

b) 2<sup>ème</sup> étage

$$\left. \begin{array}{l} \alpha_n = 20^\circ \\ \beta_2 = 27,4392^\circ \end{array} \right\} \Rightarrow \alpha_{t_2} = \operatorname{arctg} \left( \frac{\operatorname{tg} 20^\circ}{\cos 27,4392} \right) = 22,2989^\circ$$

$$Z'_2 = \frac{2 \cos \beta_2}{\sin^2 \alpha_{t_2}}$$

$$\left. \begin{array}{l} \beta_2 = 27,4392^\circ \\ \alpha_{t_2} = 22,2989^\circ \end{array} \right\} \Rightarrow Z'_2 = \frac{2 \cos 27,4392}{\sin^2 22,2989} = 13 \text{ dents}$$

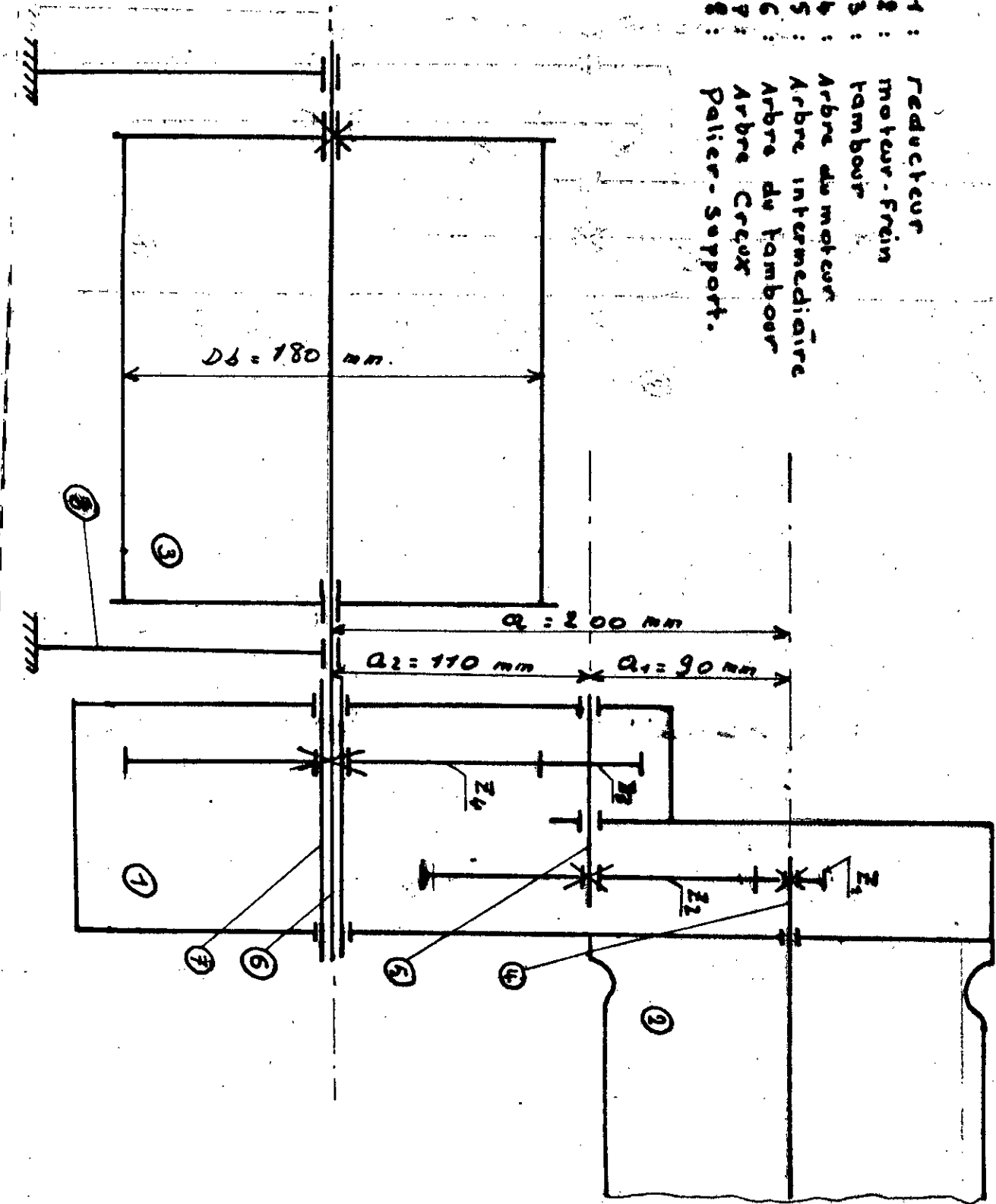
On choisit, pour les pignons, les nombres de dents :

$$Z_1 = 15 \quad \text{et} \quad Z_2 = 13$$

pour les 1<sup>er</sup> et 2<sup>ème</sup> étages respectivement.

fig. 4-1 : SCHEMA DU REDUCTEUR

reduteur  
 moteur - frein  
 tambour  
 Arbre du moteur  
 Arbre intermédiaire  
 Arbre du tambour  
 Arbre Croix  
 Palier - Support.



## IV.1.2. CARACTERISTIQUES DES ETAGES

### 1<sup>er</sup> étage

- denture hélicoïdale  $\beta_1 = 30,0856^\circ$

- Nbre de dents du pignon-mot.  $Z_1 = 15$

- " " de la roue

- Modèle réel  $Z_2 = 74$   
 $m_{n,1} = 1,75 \text{ mm}$

- diamètre primitif ( $d_1$ ) du pignon:

$$d_1 = m_{n,1} \frac{Z_1}{\cos \beta_1} = 1,75 \frac{15}{\cos 30,0856^\circ} = 30,337 \text{ mm}$$

- diamètre primitif ( $d_2$ ) de la roue:

$$d_2 = m_{n,1} \frac{Z_2}{\cos \beta_1} = 1,75 \frac{74}{\cos 30,0856^\circ} = 149,663 \text{ mm}$$

- rapport de réduction ( $i_1$ ):

$$i_1 = Z_2/Z_1 = 74/15 = 4,93$$

- entraxe ( $a_1$ ):

$$a_1 = \frac{m_{n,1}}{2} \cdot \frac{Z_1 + Z_2}{\cos \beta_1} = \frac{1,75}{2} \cdot \frac{15 + 74}{\cos 30,0856^\circ} = 90 \text{ mm}$$

### 2<sup>ème</sup> étage

- denture hélicoïdale  $\beta_2 = 27,4392^\circ$

- Nbre de dents du pignon 3  $Z_3 = 13$

- " " de la roue

- Modèle réel  $Z_4 = 58$

$m_{n,2} = 2,75 \text{ mm}$

- diamètre primitif du pignon 3:

$$d_3 = m_{n,2} \frac{Z_3}{\cos \beta_2} = 2,75 \frac{13}{\cos 27,4392^\circ} = 40,282 \text{ mm}$$

- diamètre primitif de la roue 4:

$$d_4 = m_{n,2} \frac{Z_4}{\cos \beta_2} = 2,75 \frac{58}{\cos 27,4392^\circ} = 179,716 \text{ mm}$$

Entraxe ( $a_1$ ):

$$a_1 = \frac{m_{n,2}}{2} \cdot \frac{z_3 + z_4}{\cos \beta_2} = \frac{2,75}{2} \cdot \frac{(13 + 58)}{\cos 27,432^\circ} = 110 \text{ mm}$$

Rapport de réduction ( $i_2$ ):

$$i_2 = 2v/z_3 = 58/13 = 4,46$$

Entraxe total ( $a$ ):

$$a = a_1 + a_2 = 90 + 110 = 200 \text{ mm}$$

Rapport de réduction total réel ( $i_m$ ):

$$i_m = i_1 \cdot i_2 = 4,93 \cdot 4,46 = 21,99$$

Erreur:

$$\frac{\Delta i_m}{i_m} = \frac{(i_m)_{th} - (i_m)_{réel}}{(i_m)_{th}} = \frac{22,03 - 21,99}{22,03} = 0,002 = 0,2\%$$

N.B.: Ces différents résultats sont résumés dans le tableau de la page suivante.

#### IV.1.3. PUISSANCE SUR LES ARBRES

La puissance nominale du moteur-frein est de 2,2 kW; toutefois, pour le calcul de résistance, on prends la puissance maximale  $P_1 = 2,35 \text{ kW}$  sur l'arbre (1); On considère également qu'elle est la même pour les arbres du réducteur, c'est-à-dire que, le rendement du réducteur est égal à 1.

$$P_1 = P_2 = P_3 = 2,35 \text{ kW.}$$

#### IV.1.4. VITESSES ANGULAIRES DES ARBRES

$$\text{Arbre (1)}: \quad \omega_1 = \pi n_1 / 30 = \pi \cdot 935 / 30 = 97,91 \text{ rad/s}$$

$$\text{Arbre (2)}: \quad \omega_2 = \omega_1 / i_1 = 97,91 / 4,93 = 19,86 \text{ rad/s}$$

$$\text{Arbre (3)}: \quad \omega_3 = \omega_2 / i_2 = 19,86 / 4,46 = 4,45 \text{ rad/s}$$

Tableau récapitulatif.

Caractéristiques des étages	1 <sup>er</sup> étage		2 <sup>ème</sup> étage	
	Pignon (1)	Roue (2)	Pignon (3)	Roue (4)
module réel $m_n$ en (mm)	1,750		2,750	
Nombre de dents $Z$	15	74	13	58
angle d'hélice $\beta$ ( $\text{en}^\circ$ )	30,0856		27,4392	
angle de pression réel $\alpha_n$ ( $^\circ$ )	20			
angle de pression apparent $\alpha_t = \arctg(\tan\alpha_n / \cos\beta)$	22,8136		22,8989	
module apparent $m_t$ (mm) $m_t = m_n / \cos\beta$	2,022		3,099	
Pas réel $p_n = \pi \cdot m_n$ (mm)	5,498		8,639	
Pas apparent $p_t = \pi m_t$ (mm)	6,352		9,736	
Saillie $h_n = m_n$ (mm)	1,750		2,750	
Creux $h_t = 1,25 m_n$ (mm)	2,190		3,440	
diamètre primitif $d$ (mm)	30,337	149,663	40,282	179,718
diamètre de tête: $d_h = d + 2m_n$	33,837	153,163	45,782	185,218
diamètre de pied: $d_f = d - 2,5m_n$	25,962	145,288	33,407	132,843
Entraxe $a = m_n \frac{Z_p + Z_R}{\cos\beta}$ (mm)	90		140	
Entraxe total $a = a_1 + a_2$ (mm)	200			
rapport de réduction $i = Z_R / Z_p$	4,93		4,46	
rapport de réduction total: $i_m = i_1 \cdot i_2$	21,99			
Largeur de la denture (mm)	20		30	

Remarque : la vitesse de sortie ( $n_3$ ) est la même que celle du tambour ( $n_6$ ).

$$n_3 = n_6 = \frac{n_1}{i_1 \cdot i_2} = \frac{935}{4,46 \cdot 4,93} = 42,52 \text{ tr/min}$$

$$\text{d'inst}, \quad \frac{\Delta n_b}{n_b} = \frac{42,52 - 42,44}{42,52} = 0,002 = 0,2\%$$

d'erreur est très faible ; les valeurs et les résultats trouvés au départ avec  $n_b = 42,44 \text{ tr/min}$  sont presque les mêmes avec les valeurs exactes, notamment,

$$V_p = \frac{n_b \cdot \pi \cdot D_b}{i_{wh}} = \frac{42,52 \cdot \pi \cdot 180 \times 10^{-3}}{2} = 12,02 \text{ m/min}$$

$$\text{fin} \quad V_p = 0,200 \text{ m/s}$$

#### IV.1.5. COUPLES SUR LES ARBRES

$$\text{Arbre (1)} : C_1 = P/\omega_1 = (2,35 \cdot 10^3)/97,91 = 24,00 \text{ N.m}$$

$$\text{Arbre (2)} : C_2 = P/\omega_2 = (2,35 \cdot 10^3)/19,86 = 118,33 \text{ N.m}$$

$$\text{Arbre (3)} : C_3 = P/\omega_3 = (2,35 \cdot 10^3)/4,45 = 528,09 \text{ N.m}$$

#### IV.1.6. EFFORTS SUR LES PIGNONS ET LES ROUES

##### a. Efforts sur les organes du 1<sup>er</sup> étage

d'arbre portant le pignon (1) du premier étage est sollicité par le couple maximum  $M_u = C_1 = 24 \text{ N.m}$  de couple d'enrénages du premier étage est à denture hélicoïdale, nous aurons donc,

- Effort tangentiel :

$$\left. \begin{array}{l} C_1 = 24 \text{ N.m} \\ d_1 = 30,337 \text{ mm} \end{array} \right| \quad F_{t_1} = F_{t_2} = C_1 / (d_1 / 2) = 2C_1 / d_1 = 2 \cdot 24 / 30,337 \cdot 10^{-3} = 1582 \text{ N}$$

- Effort radial :

$$\beta_1 = 30,0856^\circ \quad F_r_1 = F_r_2 = F_{t_1} \cdot \tan \alpha_1 / \cos \beta_1 = 1582 \tan 20^\circ / \cos 30,0856^\circ = 665 \text{ N.}$$

- Effort axial

$$F_a = F_{a_2} = F_t \cdot \operatorname{tg} \beta_1 = 1582 \operatorname{tg} 30,0856^\circ = 917 \text{ N.}$$

b. Efforts sur les organes du 2<sup>e</sup> étage.

- Effort tangentiel

$$C_2 = 118,33 \text{ N.m} \quad F_{t_2} = F_{t_4} = C_2 / (d_3 / 2) = 2C_2 / d_3 = 2 \cdot 118,33 / 40,282 \cdot 10^3 \\ = 5875 \text{ N.}$$

- Effort radial

$$F_{r_3} = F_{r_4} = F_{t_3} \cdot \operatorname{tg} \alpha_n / \operatorname{tg} \beta_2 = 5875 \cdot \operatorname{tg} 20^\circ / \operatorname{tg} 27,4392 \\ = 2409 \text{ N.}$$

- Effort axial

$$F_{a_3} = F_{a_4} = F_{t_3} \operatorname{tg} \beta_2 = 5875 \cdot \operatorname{tg} 27,4392 \\ = 3050 \text{ N.}$$

Tableau récapitulatif

Efforts	Etages	1 <sup>er</sup> étage	2 <sup>e</sup> étage
Effort tangentiel $F_t$ [N]		1582	5875
Effort axial $F_a$ [N]		917	3050
Effort radial $F_r$ [N]		665	2409

## IV.2. VERIFICATION DES DENTURES A LA RUPTURE

La force tangentielle admissible est donnée par la formule suivante :

$$(F_t)_{\text{adm.}} = V_{b, \text{lim}} b m_0 \frac{k_v \cdot k_{b1} \cdot k_m \cdot k_A}{Y_E \cdot Y_F \cdot Y_B}$$

\* Définition des différents termes de la formule :

$V_{b, \text{lim}}$  : (Contrainte limite de base), c'est la valeur limite de base de la contrainte de rupture  $V_b$ , elle est fonction du matériau et de la charge de rupture au cœur [ref. (4) fig. VII. 17];

$b$  : largeur de la denture;

$m_0$  : module réel de la denture;

$k_v$  : facteur de vitesse; c'est un facteur dynamique, il fait intervenir les surcharges dues à l'effet combiné des erreurs de denture et de vitesse, compte tenu des inerties de la transmission [ref (4) fig. VII. 19]

$k_m$  : facteur de portée [(4) VII 23],

il est donné en fonction du rapport  $b/d$ , ( $d$  : diam. du pignon);

$k_A$  : facteur de service [(4) page 340],

il est introduit pour tenir compte de la nature de l'organe moteur et de celle de l'organe receveur;

$k_{b1}$  : Facteur de durée [(4) VII 21],

il est fonction de la longévité et de la vitesse en tr/min de l'élément;

$Y_E$  : facteur de conduite;

$Y_F$  : facteur de forme [(4) VII. 7],

il dépend du nombre de dents et de la correction;

$Y_B$  : facteur d'inclinaison [(4). VII. 11],

il dépend de l'angle d'inclinaison  $\beta$ .

## N.2.1. CAPACITE A LA RUPTURE DU 1<sup>er</sup> ETAGE

Pignon (1) :  $Z_1 = 15$

Roue (2) :  $Z_2 = 74$

a) Facteur  $T_{blim}$ .

Pignon (1) : On choisit pour le pignon en acier allié de cémentation :

$$\xrightarrow{(4) \text{ VII. 17}} T_{blim}^{(1)} = 35 \text{ hbar}, \quad T_b = 100 \text{ hbar},$$

$$\text{soit, } T_{blim}^{(1)} = 35 \cdot 10^7 \text{ N/m}^2$$

Roue (2) : on choisit cette roue en acier de nitruration :

$$T_b = 70 \text{ hbar}$$

$$\xrightarrow{(4) \text{ VII. 7}} T_{blim_2} = 27,5 \text{ hbar} = 27,5 \cdot 10^7 \text{ N/m}^2$$

b) largeur de la denture :  $b = 20 \text{ mm}$

c) Module réel :  $m_n = 1,75 \text{ mm}$

d) Facteur de durée  $k_{b1}$  :

$$\left. \begin{array}{l} H = 25.000 \text{ h} \\ n_1 = 935 \text{ tr/min} \\ n_2 = 189,7 \text{ tr/min} \end{array} \right\} \xrightarrow{(4) \text{ VII. 21}} \left\{ \begin{array}{l} k_{b1_1} = 0,65 \\ k_{b1_2} = 0,73 \end{array} \right.$$

e) Facteur de portée  $k_m$  :

$$b = 20 \text{ mm} \quad \xrightarrow{d_1 = 30,336 \text{ mm}} b/d_1 = 0,67 \xrightarrow{(4) \text{ VIII. 23}} k_m = 1$$

f) facteur de service  $k_4$  :

$$\left. \begin{array}{l} \text{- degré de choc II (modéré)} \\ \text{- moteur électrique} \\ \text{- 12 h/j} \end{array} \right\} \xrightarrow{(4) \text{ P 340}} k_4 = 0,80$$

g) Facteur de vitesse :  $k_v$

$$v_t = \omega_1 \cdot d_{1/2} = 97,91 \cdot (30,337/2) \cdot 10^{-3} = 1,49 \text{ m/s.}$$

$$\begin{aligned} \text{- classe III (150 7-8-9)} \\ - i_1 = 4,93 \end{aligned} \quad \left\{ \frac{\text{VII} \cdot 19}{6 + \sqrt{v_t}} \rightarrow k_v = \frac{6}{6 + \sqrt{1,49}} = \right.$$

$$= 0,83$$

h) Facteur de conduite :  $y_E$

$$\begin{aligned} (F_t)/6 &= 1582/20 = 79,0 \text{ N/mm} \\ &= 7,90 \text{ daN/mm} \end{aligned} \quad \xrightarrow{(4) \text{ VII 8}} q_1 = (0,83 \div 1,1) > \frac{1}{E_A} = 0,7$$

$$\begin{aligned} \beta_1 &= 27,08^\circ \\ \alpha_n &= 20^\circ \end{aligned} \quad \left\{ \frac{\text{VII} \cdot 34}{6 + \sqrt{v_t}} \rightarrow E_A = 1,43 \quad \Rightarrow \quad y_E = 1 \right.$$

i) Facteur de forme :  $y_F$

$$\begin{aligned} z_1 &= 15 \\ \text{déport } x &= 0 \\ \alpha_n &= 20^\circ \end{aligned} \quad \left\{ \frac{(4) \text{ VII 7}}{6 + \sqrt{v_t}} \rightarrow y_{F_1} = 3,1 \right.$$

$$\begin{aligned} z_2 &= 74 \\ x &= 0 \\ \alpha_n &= 20^\circ \end{aligned} \quad \left\{ \frac{(4) \text{ VII 7}}{6 + \sqrt{v_t}} \rightarrow y_{F_2} = 2,25 \right.$$

j) Facteur d'inclinaison :  $y_\beta$

$$\beta_1 = 27,08 \quad \xrightarrow{(4) \text{ VII 11}} y_\beta = 0,75$$

IV.2.1.1. Efforts tangentiels:  $F_{t \text{ adm}}^{(1)}$  et  $F_{t \text{ adm}}^{(2)}$

$$F_{t \text{ adm}}^{(1)} = \sigma_{blim}^{(1)} \cdot b_1 \cdot a_n \cdot \frac{k_v \cdot k_{bl} \cdot k_M \cdot k_A}{y_E \cdot y_{F_1} \cdot y_\beta}$$

$$= 35 \cdot 20 \cdot 1,75 \cdot \frac{0,83 \cdot 0,65 \cdot 1 \cdot 0,8}{1 \cdot 3,1 \cdot 0,75} = 227,4 \text{ daN}$$

$$F_{t \text{ adm}}^{(2)} = \sigma_{blim}^{(2)} \cdot b_1 \cdot a_n \cdot \frac{k_v \cdot k_{bl_2} \cdot k_M \cdot k_A}{y_E \cdot y_{F_2} \cdot y_\beta}$$

$$F_{t, \text{adar}}^{(2)} = 27,5 \cdot 20,175 \cdot \frac{0,83 \cdot 0,73 \cdot 1 \cdot 0,8}{1 \cdot 2,25 \cdot 0,75} = 276,5 \text{ daN}$$

$$= 2765 \text{ N}$$

$$F_{t, \text{adar}}^{(1)} = 2274 \text{ N} > F_{t,1} = 1582 \text{ N} \quad (\text{la condition à la rupture est ainsi vérifiée})$$

$$F_{t, \text{adar}}^{(2)} = 2765 \text{ N} > F_{t,1} = 1582 \text{ N}$$

### IV.2.2. CAPACITE A LA RUPTURE DU 2<sup>ème</sup> ETAGE

Pignon :  $Z_3 = 13$       Roue :  $Z_4 = 58$

a) Facteur  $T_{blim}$ .

Pignon (3) : acier de nitruration  $\sigma_b = 110 \text{ hbar}$   
 $\xrightarrow{(4) \text{ VII } 17} T_{blim}^{(3)} = 35 \text{ hbar} = 35 \cdot 10^3 \text{ N/mm}^2$

Roue (4) : acier allié forgé, trempe totale  $\sigma_b = 70 \text{ hbar}$   
 $\xrightarrow{(4) \text{ VIII } 17} T_{blim}^{(4)} = 22 \text{ hbar} = 22 \cdot 10^3 \text{ N/mm}^2$

b) Largeur ( $b$ ) :  $b_3 = 30 \text{ mm}$  ;

c) Modèle réel :  $m_n = 2,75 \text{ mm}$  ;

d) Facteur de durée :  $k_{b\ell}$

$$\left. \begin{array}{l} H = 25 \text{ mm} \\ n_2 = 180,7 \text{ tr/min} \\ n_3 = 42,5 \text{ tr/min} \end{array} \right\} \xrightarrow{(4) \text{ VIII } 21} \left\{ \begin{array}{l} k_{b\ell_3} = 0,73 \\ k_{b\ell_4} = 0,85 \end{array} \right.$$

e) Facteur de portée :  $k_m$

$$\frac{b}{d_3} = \frac{30}{40,282} = 0,74 \xrightarrow{(4) \text{ VIII } 23} k_m = 1$$

f) Facteur de service :  $k_A$

$$\left. \begin{array}{l} - \text{degré de choc II (modéré)} \\ - \text{moteur électrique} \\ - 12 \text{ h/J} \end{array} \right\} \xrightarrow{(4) p. 340} k_A = 0,80$$

g) Facteur de vitesse :  $k_v$

$$\omega_2 = 19,9 \text{ rad/s} \quad v_{t_3} = \omega_2 \cdot d_3 / 2 = 19,9 \cdot (40,282 / 2) \cdot 10^3 = 0,40 \text{ m/s}$$

$$d_3 = 40,282 \text{ mm}$$

$$\text{Classe IV (150-7-8-9)} \quad \left. \begin{array}{l} \text{I} \\ i_2 = 4,46 \end{array} \right\} \xrightarrow{\text{IV.7}} k_v = \frac{6}{6 + 10,4} = 0,90$$

h) Facteur de conduite :  $y_c$

$$F_{t_3} / b = 58 / 30 = 196 \text{ N/mm}$$

$$= 19,6 \text{ daN/mm}$$

$$\left. \begin{array}{l} \beta_2 = 30,0856 \\ \alpha_n = 20^\circ \end{array} \right\} \xrightarrow{\text{IV.34}} \left. \begin{array}{l} \varepsilon_\alpha = 1,42 \\ (1/\varepsilon_\alpha = 0,70) \end{array} \right\} \begin{array}{l} q = 0,73 \div 1,1 \\ \xrightarrow{\text{IV.3}} q_L > 1/\varepsilon_\alpha = 0,70 \end{array}$$

$$\Rightarrow y_c = 1$$

i) Facteur de forme :  $y_F$

$$\left. \begin{array}{l} l_3 = 13 \\ x = 0 \\ \alpha_n = 20^\circ \end{array} \right\} \xrightarrow{\text{IV.7}} y_{F_3} = 3,1$$

$$\left. \begin{array}{l} l_4 = 58 \\ x = 0 \\ \alpha_n = 20^\circ \end{array} \right\} \xrightarrow{\text{IV.7}} y_{F_4} = 2,3$$

j) Facteur d'inclinaison :  $y_{\beta_2}$

$$\beta_2 = 30,08 \longrightarrow y_{\beta_2} = 0,75$$

IV.2.2.1. Efforts tangentiels admissibles  $F_{t \text{ adm.}}^{(3)}$  et  $F_{t \text{ adm.}}^{(4)}$

$$F_{t \text{ adm.}}^{(3)} = \bar{V}_{blim}^{(3)} b_2 u_{n_2} \frac{k_v \cdot k_{H_3} \cdot k_H \cdot k_A}{y_2 \cdot y_{F_3} \cdot y_{\beta_2}}$$

$$= 35 \cdot 30,275 \cdot \frac{0,90 \cdot 0,73 \cdot 1 \cdot 0,80}{1 \cdot 3,1 \cdot 0,75} = 652,8 \text{ daN}$$

$$= 6528 \text{ N.}$$

$$F_{t \text{ adm.}}^{(4)} = \bar{V}_{blim}^{(4)} b_2 u_{n_2} \frac{k_v \cdot k_{H_4} \cdot k_H \cdot k_A}{y_2 \cdot y_{F_4} \cdot y_{\beta_2}}$$

$$= 22 \cdot 30,275 \cdot \frac{0,90 \cdot 0,85 \cdot 1 \cdot 0,80}{1 \cdot 2,3 \cdot 0,75} = 643,9 \text{ daN} = 6439 \text{ N}$$

$$\begin{aligned} F_{t\text{adm}}^{(3)} &= 6528 \text{ N} > F_{t_3} = 5875 \text{ N} && \text{da la condition} \\ F_{t\text{adm}}^{(4)} &= 6439 \text{ N} > F_{t_3} = 5875 \text{ N} && \text{à la rupture} \\ &&& \text{est ainsi vérifiée.} \end{aligned}$$

### IV.3. VERIFICATION DES DENTURES A LA PRESSION SUPERFICIELLE

L'effort tangentiel admissible est donné par la relation suivante :

$$F_{t\text{adm}} = V_{H\text{lim}}^2 \cdot b \cdot d \cdot C_r \cdot \frac{k_v \cdot k_{HL} \cdot k_m \cdot k_A}{Z_c^2 \cdot Z_p^2 \cdot Z_c^2}$$

a) Définition des différents paramètres de la relation

$V_{H\text{lim}}$  : charge limite de base de  $V_H$  (pression superficielle de Hertz), elle est fonction du matériau utilisée et de la dureté Brinell superficielle de celui-ci;

b : largeur de la denture ;

d : diamètre primaire du pignon du couple d'enrage considéré ;

$C_r$  : facteur de rapport  $i = Z_{\text{roue}} / Z_{\text{pignon}}$

$$C_r = \begin{cases} i/i_1 & : \text{Engr. intérieur} \\ i/i_{11} & : \text{Engr. extérieur} \end{cases}$$

$k_v$  : facteur de vitesse ;

$k_{HL}$  : facteur de durée ;

$k_A$  : facteur de service ;

$k_m$  : facteur de portée ;

$Z_c$  : facteur du matériau ;

$Z_p$  : facteur de longueur de contact ;

$Z_g$  : facteur géométrique .

Sachant que l'angle de pression  $\alpha_n = 20^\circ$ , on pourra utiliser la formule simplifiée de l'effort tangentiel admissible,

$$F_{t \text{ adm}} = R_0 \cdot b \cdot d \cdot Cr \cdot C_B \cdot k_V \cdot k_{HL} \cdot k_H \cdot k_A$$

Avec,

$R_0$  : facteur de correction remplaçant  $V_{H \text{ lim}}$  dans la formule simplifiée;

$$R_0 = \frac{V_{H \text{ lim}}^2}{7700 \cdot 2,35}$$

On peut, pour cela, donner des relations, liant les facteurs de correction, qui permettent une égalisation des capacités de charge du pignon et de la roue :

$$\frac{V_{H_1 \text{ lim}}^2}{V_{H_2 \text{ lim}}^2} = \frac{R_{01}}{R_{02}} = \frac{k_{HL_2}}{k_{HL_1}}$$

#### IV 3.1. CAPACITE A LA PRESSION SUPERFICIELLE DU 1<sup>er</sup> ETAGE

a)  $V_{H \text{ lim}}$  et  $R_0$

Pignon (1) : acier allié de cémentation :  $V_H^{(1)} = 700$  Brinells

$$\xrightarrow{\text{[4] VII 37}} \begin{cases} V_{H \text{ lim}}^{(1)} = 158 \text{ hbar} (= 158 \cdot 10^9 \text{ N/m}^2) \\ R_0^{(1)} = 1,4 \end{cases}$$

Roue (2) : acier de nitruration :  $V_H^{(2)} = 560$  Brinells

$$\xrightarrow{\text{[4] VII 37}} \begin{cases} V_{H \text{ lim}}^{(2)} = 140 \text{ hbar} (= 140 \cdot 10^9 \text{ N/m}^2) \\ R_0^{(2)} = 1,1 \end{cases}$$

b) largeur de denture :  $b = 20 \text{ mm}$  ;

c) diamètre principal du pignon :  $d_1 = 30,336 \text{ mm}$  ;

d) Facteur de durée :  $k_{HL}$

$$\left. \begin{array}{l} H = 25.000 \text{ h} \\ n_1 = 935 \text{ tr/mm} \\ n_2 = 189,7 \text{ tr/mm} \end{array} \right\} \xrightarrow{\text{[4] VII 21}} \left. \begin{array}{l} k_{HL_1} = 0,50 \\ k_{HL_2} = 0,63 \end{array} \right.$$

e) facteur de portée  $k_M = 1$  [voir IV.2.1.e]

f) facteur de service  $k_A = 0,8$  [ " " " f ]

g) facteur de vitesse  $k_V = 0,83$  [ " " " g ]

h) facteur de rapport :  $C_r$

$$\text{engrenement ext. } \left\{ C_r = l_i / l_{i+1} = 4,93 / 5,93 = 0,83 \right.$$

i) facteur d'inclinaison :  $C_\beta$

$$\beta_1 = 27,4392 \xrightarrow{[4] \text{ VII } 36} C_\beta = 1,33$$

IV.3.1.1. Efforts tangentiels admissibles  $F_{t,adm}^{(1)}$  et  $F_{t,adm}^{(2)}$ .

En utilisant la formule simplifiée nous aurons :

$$\begin{aligned} F_{t,adm}^{(1)} &= R_0^{(1)} \cdot b_1 \cdot d_1 \cdot C_r \cdot C_\beta \cdot k_V \cdot k_{HL} \cdot k_M \cdot k_A \\ &= 1,4 \cdot 20 \cdot 30,336 \cdot 0,83 \cdot 1,33 \cdot 0,83 \cdot 0,5 \cdot 1 \cdot 0,80 \\ &= 331,3 \text{ daN} = 3313 \text{ N} \end{aligned}$$

$$\begin{aligned} F_{t,adm}^{(2)} &= R_0^{(2)} \cdot b_1 \cdot d_1 \cdot C_r \cdot C_\beta \cdot k_V \cdot k_{HL} \cdot k_M \cdot k_A \\ &= 1,4 \cdot 20 \cdot 30,336 \cdot 0,83 \cdot 1,33 \cdot 0,83 \cdot 0,61 \cdot 1 \cdot 0,80 \\ &= 308,2 \text{ daN} = 3082 \text{ N.} \end{aligned}$$

$$F_{t,adm}^{(1)} = 3313 \text{ N} > F_{t,1} = 1582 \text{ N}$$

$$F_{t,adm}^{(2)} = 3082 \text{ N} > F_{t,1} = 1582 \text{ N}$$

de premier étage  
est ainsi  
vérifié à la pres-  
sion superficielle.

IV.3.1.2. Puissance admissible du 1<sup>er</sup> étage.

La capacité globale du couple d'engrenages du 1<sup>er</sup> étage est de 2274 N (effort tangentiel) : ce qui correspond à une puissance admissible :

$$P_{adm.}^{(1)} = \frac{F_{t,adm}^{(1)} \cdot d_1 \cdot n_1}{X}$$

avec,

$F_{\text{tadm.}}^{(1)}$ : le plus petit effort tangentiel admissible [daN]  
 $d_1$ : diamètre primaire du pignon (1) en [mm]  
 $n_1$ : vitesse de rotation du pignon-moteur [tr/min]  
 $\chi = 1,96 \times 10^6$ : facteur de conversion  
 $P_{\text{adu.}}^{(1)}$ : puissance admissible en [kw].

$$\begin{array}{l} F_{\text{tadm.}}^{(1)} = 227,4 \text{ daN} \\ d_1 = 30,336 \text{ mm} \\ n_1 = 935 \text{ tr/min} \\ \chi = 1,96 \times 10^6 \end{array} \quad \left| \begin{array}{l} P_{\text{adu.}}^{(1)} = \frac{227,4 \cdot 30,336 \cdot 935}{1,96 \cdot 10^6} = 3,29 \text{ kw} \\ \text{d'inti} \end{array} \right.$$

$$P_{\text{adu.}}^{(1)} = 3,29 \text{ kw} > P_{n_{\text{nom}}} = 2,2 \text{ kw.}$$

### N.3.2. CAPACITE A LA PRESSION SUPERFICIELLE DU 2<sup>ème</sup> ETAGE

a)  $V_{H1\text{lim}}$  et  $\alpha_o$ :

Pignon (3): acier de nitruration ;  $V_H = 500$  Brinells

$$\xrightarrow{\text{(4) VII 37}} \begin{cases} V_{H1\text{lim}}^{(3)} = 135 \text{ hbar.} (= 135 \cdot 10^3 \text{ N/m}^2) \\ \alpha_o^{(3)} = 1,05 \end{cases}$$

Roue (4): acier allié forgé avec trempe totale;  
 $V_H = 500$  Brinells

$$\xrightarrow{\text{(4) VII 37}} \begin{cases} V_{H1\text{lim}}^{(4)} = 126 \text{ hbar.} (= 126 \cdot 10^3 \text{ N/m}^2) \\ \alpha_o^{(4)} = 0,90 \end{cases}$$

b) largeur de denture :  $b_2 = 30 \text{ mm}$

c) diamètre du pignon :  $d_3 = 40,382 \text{ mm}$

d) Facteur de durée :  $k_{HL}$

$$\left. \begin{array}{l} H = 25000 \text{ h} \\ n_2 = 189,7 \text{ tr/min} \\ n_3 = 42,5 \text{ tr/min} \end{array} \right\} \xrightarrow{\text{(4) VII 21}} \left\{ \begin{array}{l} k_{HL_3} = k_{HL_2} = 0,63 \\ k_{HL_4} = 0,74 \end{array} \right.$$

- e) facteur de portée :  $k_A = 1$  (voir IV.2.2.e)  
f) facteur de service :  $k_A = 0,80$  (voir IV.2.2.f)  
g) facteur de vitesse :  $k_v = 0,90$  (voir IV.2.2.g)

h) facteur de rapport  $C_r$ :

Engrènement ext.

$$\left. \begin{array}{l} C_{r_2} = \frac{l_2}{i_2 + 1} = \frac{4,46}{4,46 + 1} = 0,82 \\ i_2 = 4,46 \end{array} \right\}$$

i) facteur d'inclinaison :  $C_{\beta_2}$

$$\beta_2 = 30,0856^\circ \xrightarrow{(4) \text{ VIII } 36} C_{\beta_2} = 1,36$$

IV.3.2.1. Efforts tangentiels admissibles  $F_{tadu.}^{(3)}$  et  $F_{tadu.}^{(4)}$ .

$$\begin{aligned} F_{tadu.}^{(3)} &= n_0^{(3)} \cdot b_2 \cdot d_3 \cdot C_{r_2} \cdot C_{\beta_2} \cdot k_v \cdot k_{HL_3} \cdot k_A \cdot k_1 \\ &= 1,05 \cdot 30 \cdot 40,282 \cdot 0,82 \cdot 1,36 \cdot 0,90 \cdot 0,63 \cdot 1 \cdot 0,80 \\ &= 641,9 \text{ daN} = 6419 \text{ N.} \end{aligned}$$

$$\begin{aligned} F_{tadu.}^{(4)} &= n_0^{(4)} \cdot b_2 \cdot d_3 \cdot C_{r_2} \cdot C_{\beta_2} \cdot k_v \cdot k_{HL_4} \cdot k_A \cdot k_1 \\ &= 0,90 \cdot 30 \cdot 40,282 \cdot 0,82 \cdot 1,36 \cdot 0,90 \cdot 0,74 \cdot 1 \cdot 0,80 \\ &= 646,2 \text{ daN} = 6462 \text{ N} \end{aligned}$$

$$\begin{aligned} F_{tadu.}^{(3)} &= 6419 \text{ N} > F_{t_3} = 5875 \text{ N} && \text{le deuxième étage} \\ &&& \text{est ainsi vérifié} \\ F_{tadu.}^{(4)} &= 6462 \text{ N} > F_{t_3} = 5875 \text{ N} && \text{à la pression superficielle} \end{aligned}$$

IV.3.2.2. Puissance admissible du 2<sup>ème</sup> étage

La capacité globale du couple d'engrenage du 2<sup>ème</sup> étage est de 6419 N; Ce qui correspond à une puissance admissible:

$$P_{adm.}^{(2)} = \frac{F_{tadu.}^{(3)} \cdot d_3 \cdot n_2}{X} = \frac{641,9 \cdot 40,282 \cdot 189,7}{1,96 \cdot 10^6} = 2,5 \text{ kW}$$

$$P_{adm.}^{(2)} = 2,5 \text{ kW} > P_{nom.} = 2,2 \text{ kW.}$$

\* Tableau récapitulatif :

<b>étage</b>	<b>1<sup>er</sup> étage</b>		<b>2<sup>ème</sup> étage</b>	
	Pignon (1) $Z_1 = 15$	Roue (2) $Z_2 = 74$	Pignon (3) $Z_3 = 13$	Roue (4) $Z_4 = 58$
Matériau	Acier de Cémentation	Acier de Nitrura.	Acier de Nitrura.	Acier allié forgé (TT)
$\sigma_b$ [hbar] ou ( $\times 10^3$ N/m <sup>2</sup> )	100	70	110	70
$\sigma_{blim}$ [hbar] ou ( $\times 10^3$ N/m <sup>2</sup> )	35	27,5	35	22
$\tau_u$ [Brinelle]	700	560	500	500
$\sigma_{Hlim}$ ou ( $\times 10^3$ N/m <sup>2</sup> )	153	140	135	126
$r_o$	1,40	1,10	1,05	0,90
$F_{tadu.}$ [N] Press. sup.	3313	3082	6419	6462
$F_{tadu}$ [N] Rupture	2274	2765	6528	6439
$F_t$ [N] effort tang. supporté	1582		5875	
Puissance admissible [kw]	3,29		2,50	

fig. 4-2 : REPARTITION DES EFFORTS SUR LES ARBRES.

1 : pignon

2 : Roue

3 : Pignon

4 : Roue

I : Arbre Moteur

II : Arbre intermédiaire

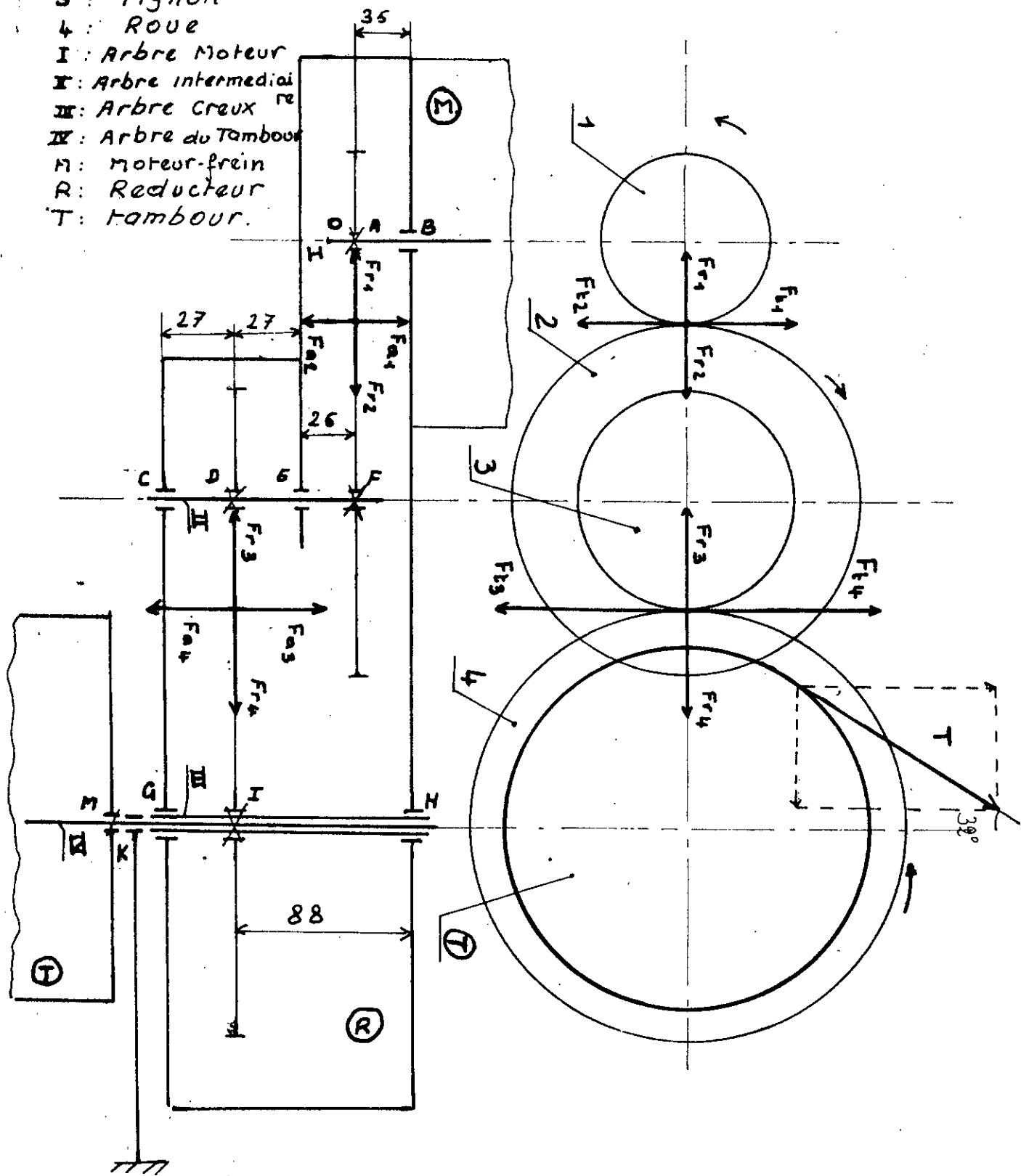
III : Arbre Creux

IV : Arbre du Tambour

M : moteur-frein

R : Reducteur

T : tambour.



## IV.4. VERIFICATION DES ARBRES DU REDUCTEUR

### IV.4.1 Vérification de l'arbre - moteur (Arbre 1)

On s'intéressera uniquement à la partie de l'arbre en porte à faux (du moteur-frein). On sait que la partie en porte à faux de l'arbre était au départ de  $L = 60 \text{ mm}$  pour un diamètre  $d = 28 \text{ mm}$ . L'arbre est supporté par les roulements du moteur-frein. [ref. 2]

Des raisons technologiques, particulièrement la réduction de l'entraîne de réducteur et la limitation du porte à faux de cet arbre, nous ont amené à réduire sur cette partie en longueur (pour réduire le porte à faux) et sur le diamètre (pour la réduction de l'entraîne et pour pouvoir monter directement le pignon-moteur). (fig 4-3).

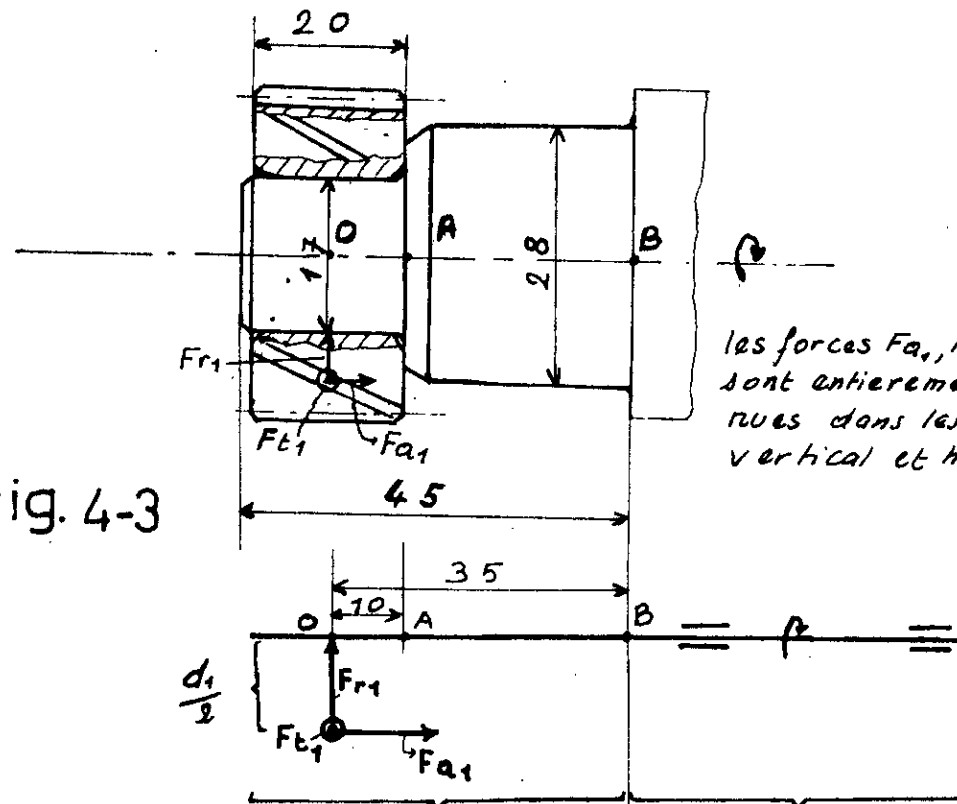
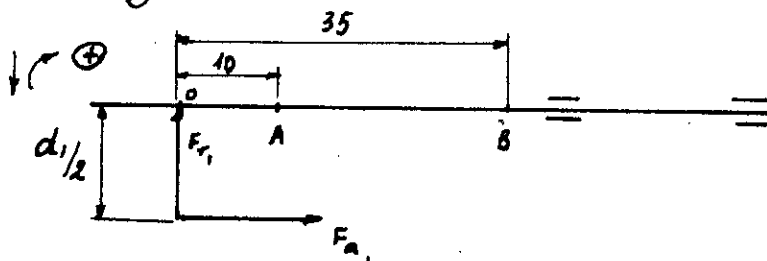


fig. 4-3

les forces  $F_a_1$ ,  $F_t_1$ , et  $F_r_1$  sont entièrement contenues dans les plans vertical et horizontal.

Partie en porte à faux      Intérieur du moteur

## a) Plan horizontal



\* Moment concentrique en (0,) dû à la force axiale :

$$M_0 = -F_a \cdot d_{1/2} = -917 \cdot (30,337)/2 = -13910 \text{ N.mm}$$

$$\text{Soit } M_0 = -13,91 \text{ N.m}$$

\* Calcul du moment fléchissant : partie 0-8.  
 $x \in [0, 35]$

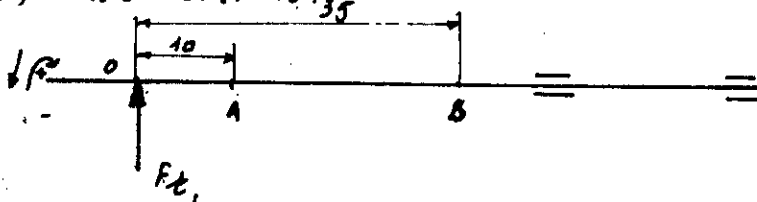
$$M_x = +M_0 + F_r \cdot x$$

$$x=0 \Rightarrow M_f = +M_0 = -13910 \text{ N.mm}$$

$$x=10 \Rightarrow M_{f_{10}} = +M_0 + F_r \cdot 10 = -13910 + 665 \cdot 10 = -7260 \text{ N.mm}$$

$$x=35 \Rightarrow M_{f_{35}} = M_0 + F_r \cdot 35 = -13910 + 665 \cdot 35 = 9365 \text{ N.mm}$$

## b) Plan vertical



\* Moment fléchissant :  $x \in [0, 35]$ .

$$M_x = F_t \cdot x \quad x=0 \Rightarrow M_{f_{V0}} = 0$$

$$x=10 \Rightarrow M_{f_A} = 1582 \cdot 10 = 15820 \text{ N.mm}$$

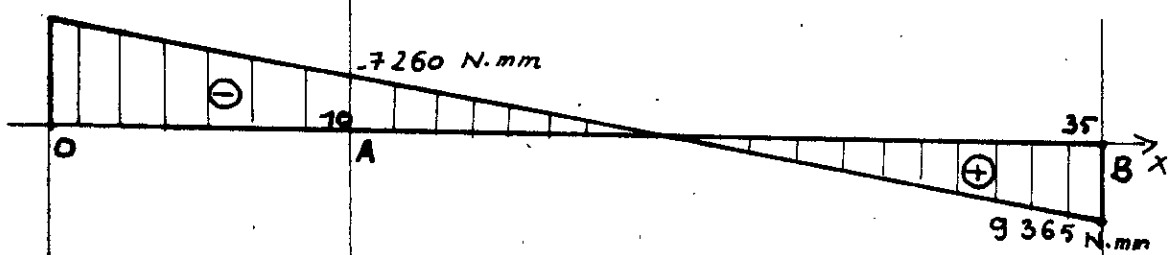
$$x=35 \Rightarrow M_{f_B} = 1582 \cdot 35 = 55370 \text{ N.mm.}$$

## c) Couple de torsion

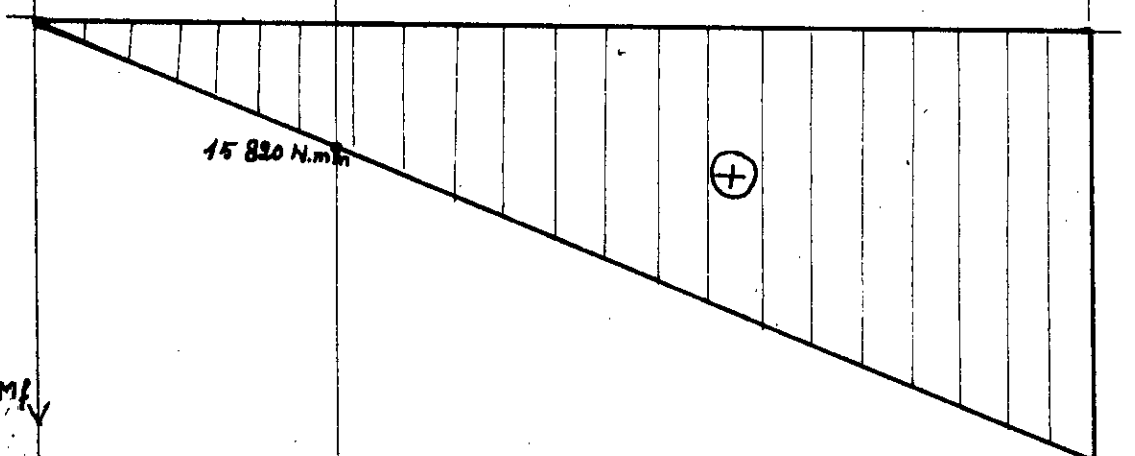
$$M_{T_1} = C_1 = M_u = 24 \text{ N.m} = 24000 \text{ N.mm.}$$

# DIAGRAMMES DES MOMENTS

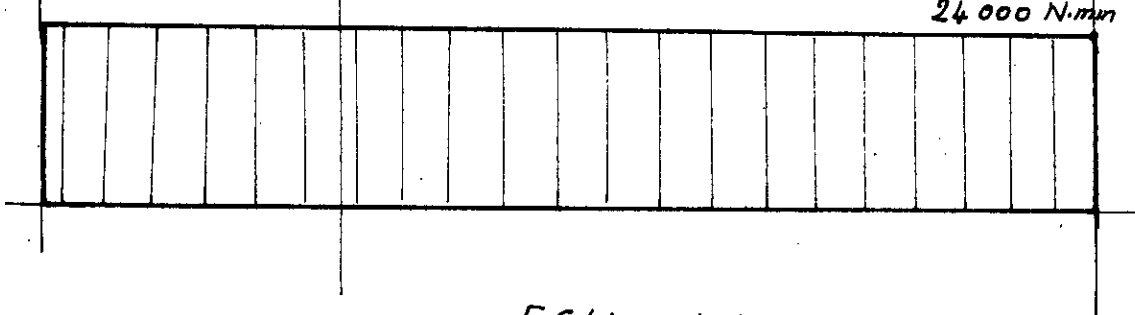
moment fléchissant horizontal



moment fléchissant vertical



moment de torsion



ECH. Abscisse : ech. 4

Ordonnée :

$1 \text{ mm} \rightarrow 1000 \text{ N.mm}$

fig. 4-4

Le moment d'échisant est maximal à la section BB ( $x=35 \text{ mm}$ ).

$$M_{\text{max}} = M_{\text{BB}} = [M_{h_B}^2 + M_{vB}^2]^{1/2} = [9365^2 + 55370^2]^{1/2} = 56156 \text{ N.mm}$$

Moment idéal :  $M_i$ :

$$M_i = M_{i_{BB}} = [M_{h_{BB}}^2 + M_{v_{BB}}^2]^{1/2} = [56156^2 + 24000^2]^{1/2} = 61070 \text{ N.mm}$$

Contrainte idéale :  $\sigma_i$ :

$$\sigma_i = M_i / W_i ; \quad M_i : \text{moment idéal}, \\ W_i : \text{module de résistance } W_i = 0,1 \text{ d}^3$$

$$\sigma_i = M_i / 0,1 \text{ d}^3 ;$$

$$\sigma_{i_{BB}} = M_{i_{BB}} / 0,1 \text{ d}_{BB}^3 \quad [d_{BB} \text{ est donné par le catalogue M.F. }] \quad \text{ref [2]}$$

$$d_{BB} = 28 \text{ mm}$$

$$\Rightarrow \sigma_{i_{BB}} = 61070 / 0,1 \cdot 28^3 = 28 \text{ N/mm}^2.$$

Pour arbres en acier de 50 kg (St. 50-11) nous avons d'après ref [3] p 28, la valeur recommandée de l'admissible est ;  $\sigma_{\text{adm.}} = 80 \text{ N/mm}^2$ , on voit bien alors que

$$\sigma_{i_{BB}} < \sigma_{\text{adm.}}$$

La section dangereuse sera la section A-A (partie usinée)

$$d_{AA} = 17 \text{ mm},$$

$$M_{h_{AA}} = [M_{h_{AA}}^2 + M_{v_{AA}}^2]^{1/2} = [7260^2 + 15820^2]^{1/2} = 17406 \text{ N.mm}.$$

$$M_{i_{AA}} = [M_{h_{AA}}^2 + M_{v_{AA}}^2]^{1/2} = [17406^2 + 24000^2]^{1/2} = 29647 \text{ N.mm}.$$

Contrainte Idéale :  $\sigma_{i_{AA}}$

$$\sigma_{i_{AA}} = M_{i_{AA}} / 0,1 \text{ d}_{AA}^3 = 29647 / 0,1 \cdot 17^3 = 60 \text{ N/mm}^2$$

Ainsi,

$$\sigma_{i_{AA}} = 60 \text{ N/mm}^2 < \sigma_{\text{adm.}} = 80 \text{ N/mm}^2.$$

### N.4.2. Vérification de l'arbre intermédiaire

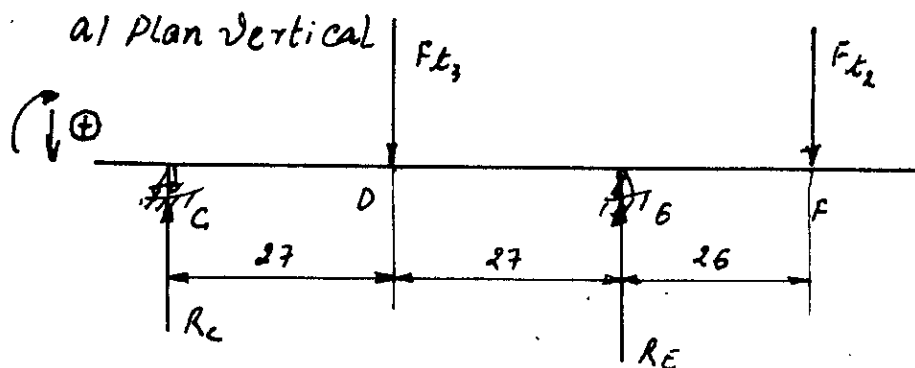


fig. 4-5

\* Calcul des réactions :

$$\sum M_C = 0 \Rightarrow -R_E(54) + F_{t_2}(80) + F_{t_3}(27) = 0$$

$$\Rightarrow R_E = \frac{F_{t_2}(80) + F_{t_3}(27)}{54} = \frac{1582(80) + 5875(27)}{54} = 5281 \text{ N.}$$

$$\sum M_E = 0 \Rightarrow R_C(54) - F_{t_3}(27) + F_{t_2}(26) = 0$$

$$\Rightarrow R_C = \frac{F_{t_3}(27) - F_{t_2}(26)}{56} = \frac{5875(27) - 1582(26)}{56} = 2176 \text{ N.}$$

\* Moment d'échisant vertical

Partie C-D :  $x \in [0, 27]$

$$M_x = R_C \cdot x = 2176 \cdot x \begin{cases} x=0 \Rightarrow M_f = 0 \\ x=27 \Rightarrow M_f = 2176 \cdot 27 = 58752 \text{ N.mm} \end{cases}$$

Partie D-E :  $x \in [27, 54]$

$$M_x = R_C \cdot x - F_{t_3}(x-27)$$

$$x=27 \Rightarrow M_f = 5281 \cdot 27 = 58752 \text{ N.mm.}$$

$$x=54 \Rightarrow M_f = 5281 \cdot 27 - 5875(54-27) = -41121 \text{ N.mm.}$$

Partie E-F :  $x \in [54, 80]$

$$M_x = R_C \cdot x - F_{t_3}(x-27) + R_E(x-54)$$

$$x=54 \Rightarrow M_x = R_C(54) - F_{t_3}(54-27) = -41121 \text{ N.mm.}$$

46

$$x = 80 \Rightarrow M_x = R_c(80) - F_{t_3}(80-27) + R_E(80-54) \\ = 2176(80) - 5875(80-27) + 5281(80-54) = 0$$

b) Plan horizontal

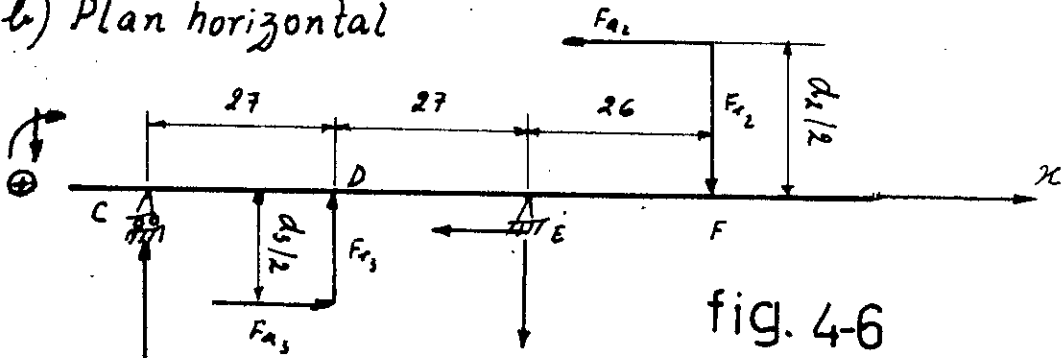


fig. 4-6

\* Calcul des réactions :

$$\sum M/C = 0 \Rightarrow R_{E_V}(54) - F_{t_3}(27) + F_{t_2}(80) - F_{A_3} \cdot d_3/2 - F_{A_2} d_2/2$$

$$R_{E_V} = \frac{F_{t_3}(27) - F_{t_2}(80) + F_{A_3}(40,242)/2 + F_{A_2} \cdot 149,663/2}{54}$$

$$= \frac{2409(27) - 665(80) + 3050(40,242)/2 + 917 \cdot 149,663/2}{54}$$

$$= 2627 \text{ N}$$

$$\sum M/E = 0 \Rightarrow R_c(54) + F_{t_3}(27) - F_{A_3} d_3/2 - F_{A_2} d_2/2 + F_{t_2}(26) = 0$$

$$R_c = \frac{-F_{t_3}(27) + F_{A_3} d_3/2 + F_{A_2} d_2/2 - F_{t_2}(26)}{54}$$

$$= \frac{-2409(27) + 3050 \cdot (40,242)/2 + 917 \cdot 149,663/2 - 665(26)}{54}$$

$$= 883 \text{ N}$$

$$\sum F_{ox} = 0 \Rightarrow R_{E_H} = F_{A_3} - F_{A_2} = 3050 - 917 = 2133 \text{ N}$$

\* Moment efféchissant horizontal :

Partie C-D :  $x \in [0, 27[$ 

$$M_x = R_c \cdot x \quad \begin{cases} x=0 & M_{f_C}=0 \\ x=27 & \end{cases}$$

$$M_{f_D} = R_c(27) = 883(27) = 23841 \text{ N.mm}$$

Partie D-E :  $x \in [27, 54[$

$$M_x = R_c \cdot x - F_{a_3} \cdot d_{3/2} + F_{r_3} (x - 27)$$

$$\begin{aligned} x = 27 \quad M_{f_0} &= R_c(27) - F_{a_3} d_{3/2} = 883(27) - 3050 \cdot \frac{40,242}{2} \\ &\approx -37528 \text{ N.mm} \end{aligned}$$

$$\begin{aligned} x = 54 \quad M_{f_E} &= R_c(54) - F_{a_3} d_{3/2} + F_{r_3} (54 - 27) \\ &= 883(54) - 3050 \frac{40,242}{2} + 2409(54 - 27) = \\ &= 51356 \text{ N.mm.} \end{aligned}$$

Partie E-F :  $x \in [54, 80[$

$$M_x = R_c x - F_{a_3} d_{3/2} + F_{r_3} (x - 27) - R_{E_V} (x - 54)$$

$$x = 54 \Rightarrow M_{x=54} = M_E = 51356 \text{ N.mm.}$$

$$\begin{aligned} x = 80^- \Rightarrow M_F &= R_c(80) - F_{a_3} d_{3/2} + F_{r_3} (80 - 27) - R_{E_V}(80 - 54) \\ &= 883.80 - 61369 + 2409(80 - 27) - 2627(80 - 54) \\ &\approx 68646 \text{ N.mm} \end{aligned}$$

$x = 80^+$  (en F)

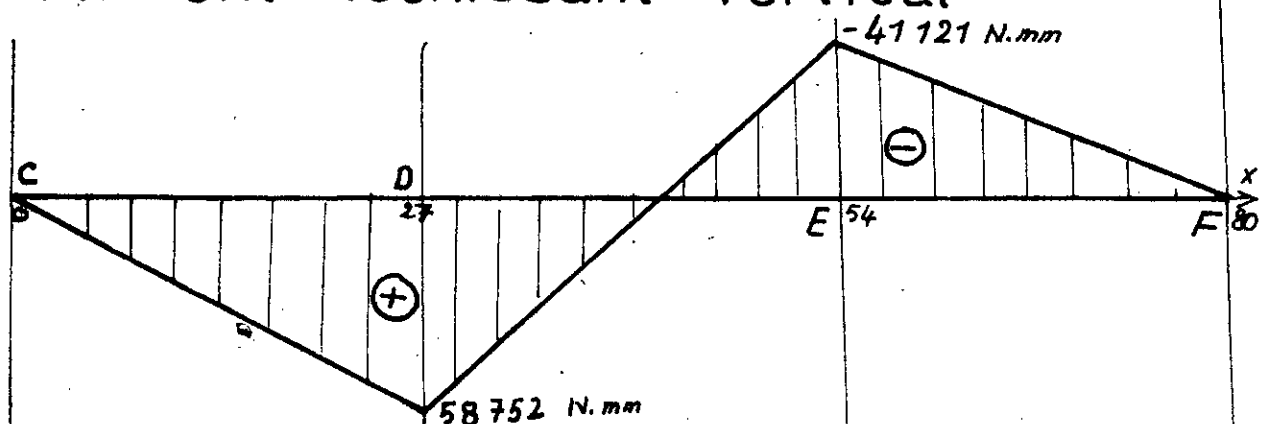
$$M_{F=80^+} = 68646 - F_{a_2} \cdot d_{2/2} = 68646 - 917 \frac{149,663}{2} \approx 0$$

C) Couple de torsion :  $M_{t_2}$

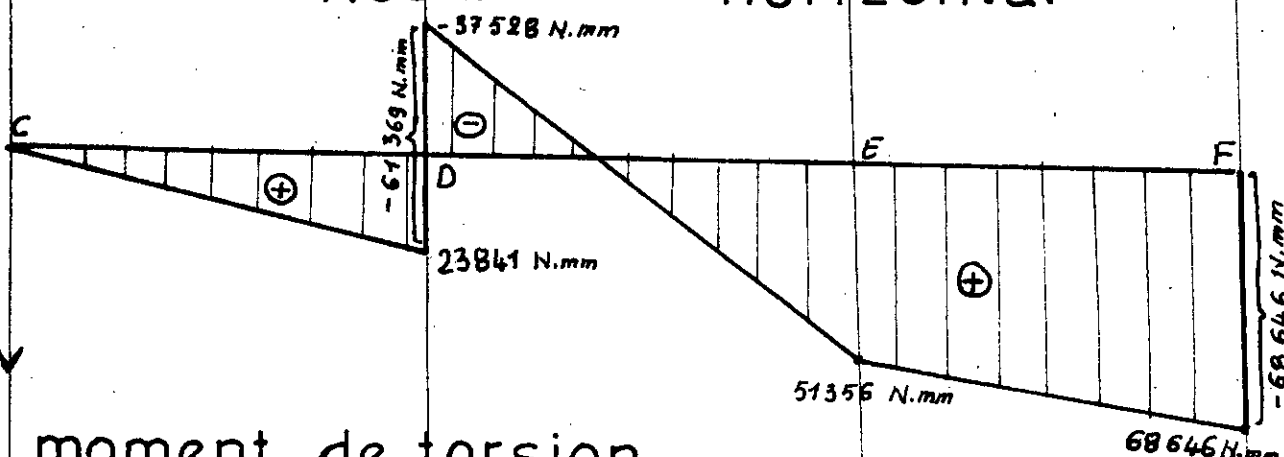
$$M_{t_2} = C_2 = 118,33 \text{ N.m} = 118330 \text{ N.mm.}$$

# DIAGRAMMES DES MOMENTS

moment fléchissant vertical



moment fléchissant horizontal



moment de torsion

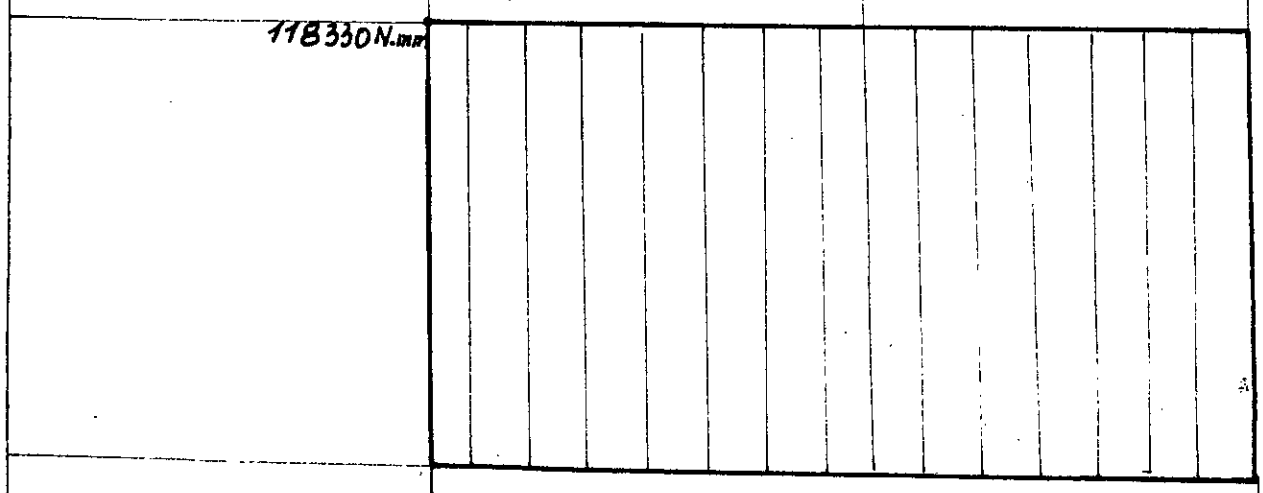


fig. 4-7

ECH. Abcisse : ech. 2

Ordonnée : 1mm → 2000 N.mm.

Le moment gléchissant représente un danger au niveau des sections O-O, E-E et F-F présentant des diamètres différents.

$$M_{f_{OO}} = \left[ M_{f_{V_{OO}}}^2 + M_{f_{H_{OO}}}^2 \right]^{1/2} = \left[ 58752^2 + 37528^2 \right]^{1/2} = 69715 \text{ N.mm}$$

$$M_{f_{EE}} = \left[ M_{f_{V_{EE}}}^2 + M_{f_{H_{EE}}}^2 \right]^{1/2} = \left[ 41121^2 + 51356^2 \right]^{1/2} = 65790 \text{ N.mm}$$

$$M_{f_{FF}} = \left[ 0 + 68646^2 \right]^{1/2} = 68646 \text{ N.mm}$$

$$M_i : \text{moment idéal} \quad M_i = \left[ M_f^2 + M_t^2 \right]^{1/2}$$

$$M_{i_{OO}} = \left[ 69715^2 + 118330^2 \right]^{1/2} = 137340 \text{ N.mm}$$

$$M_{i_{EE}} = \left[ 65790^2 + 118330^2 \right]^{1/2} = 135389 \text{ N.mm}$$

$$M_{i_{FF}} = \left[ 68646^2 + 118330^2 \right]^{1/2} = 136800 \text{ N.mm}$$

$\sigma_i$  : contrainte idéale

$M_i$  : moment idéal

$d_i$  : diamètre de l'arbre au niveau de la section dangereuse.

$$d_3 = 40,262 \text{ mm}$$

diamètre de pied du pignon = 33,367 mm

$$d_{EE} = 30 \text{ mm} ; \quad d_{FF} = 28 \text{ mm}$$

$$\sigma_{i_{OO}} = M_{i_{OO}} / 0,1 d_{OO}^3 = 137340 / 0,1 \cdot 33,367^3 = 37 \text{ N/mm}^2 < \sigma_{adm}$$

$$\sigma_{i_{EE}} = M_{i_{EE}} / 0,1 d_{EE}^3 = 135389 / 0,1 \cdot 30^3 = 50 \text{ N/mm}^2 < \sigma_{adm}.$$

$$\sigma_{i_{FF}} = M_{i_{FF}} / 0,1 d_{FF}^3 = 136800 / 0,1 \cdot 28^3 = 62 \text{ N/mm}^2 < \sigma_{adm}.$$

Rappelons que  $\sigma_{adm} = 80 \text{ N/mm}^2$ .

## IV.4.3. Vérification de l'arbre creux (arbre III)

Plan horizontal :

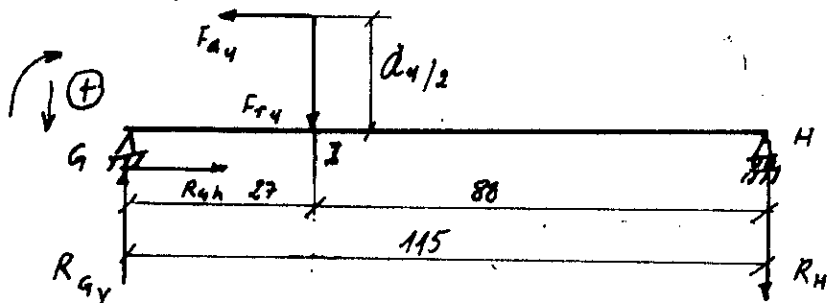


fig. 4-8

$$F_{a4} = 3050 \text{ N}$$

$M_I$  : moment concentré en I.

$$d_4 = 179,718 \text{ mm}$$

$$M_I = -F_a \cdot \frac{d_4}{2} = -3050 \cdot \frac{179,718}{2} \\ = -274070 \text{ N} \cdot \text{mm}$$

Calcul des réactions :

$$\sum M/H = 0 \Rightarrow R_{Gv}(115) + M_I - F_{r4}(88) = 0$$

$$\Rightarrow R_{Gv} = \frac{-M_I + F_{r4}(88)}{115} = \frac{274070 + 2409(88)}{115} = 4227 \text{ N}$$

$$\sum M/G = 0 \Rightarrow R_H(115) + F_{r4}(27) - F_{a4} \cdot \frac{d_4}{2} = 0$$

$$\Rightarrow R_H = \frac{F_{a4} \frac{d_4}{2} - F_{r4}(27)}{115} = \frac{274070 - 2409(27)}{115} = 1818 \text{ N}$$

$$\sum F/Gx = 0 \Rightarrow R_{Gv} = F_{a4} = 3050 \text{ N.}$$

Calcul du moment fléchissant horizontal :

Partie GI :  $x \in [0, 27[$

$$M_x = R_{Gv} \cdot x \quad \begin{cases} x=0 \Rightarrow M_G = 0 \\ x=27 \Rightarrow M_I = 4227 \cdot 27 = 114129 \text{ N} \cdot \text{mm} \end{cases}$$

Partie IN :  $x \in [27, 115[$

$$M_x = R_{Gv}x + M_I - F_{r4}(x-27)$$

$$x = 27 \quad M_f = R_{Gv} \cdot (27) + M_I = 4227 (27) - 274070 \\ = -159941 \text{ N-mm}$$

$$x = 115 \quad M_{f_H} = R_{Gv} \cdot (115) + M_I - F_{t_H} (115 - 27) \\ = 4227 (115) - 274070 - 2409 (115 - 27) = 0$$

Plan Vertical

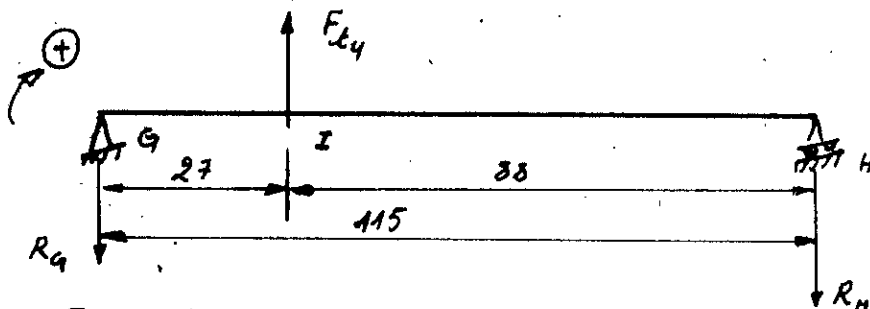


fig. 4-9

$$F_{t_y} = 5688 \text{ N}$$

$$\sum M/H = 0 \quad -R_G (115) + F_{t_y} (88) = 0$$

$$\Rightarrow R_G = \frac{F_{t_y} (88)}{115} = \frac{5875 \cdot 88}{115} = 4496 \text{ N.}$$

$$\sum M/G = 0$$

$$R_H (115) - F_{t_y} (27) = 0$$

$$\Rightarrow R_H = \frac{F_{t_y} \cdot 27}{115} = \frac{5875 \cdot 27}{115} = 1379 \text{ N.}$$

Calcul des moments fléchissants :

Partie GI :  $x \in [0, 27[$

$$M_x = -R_G \cdot x < \begin{cases} x=0 \Rightarrow M_G = 0 \\ x=27 \Rightarrow M_I = -4496 \cdot 27 = -121392 \text{ N-mm} \end{cases}$$

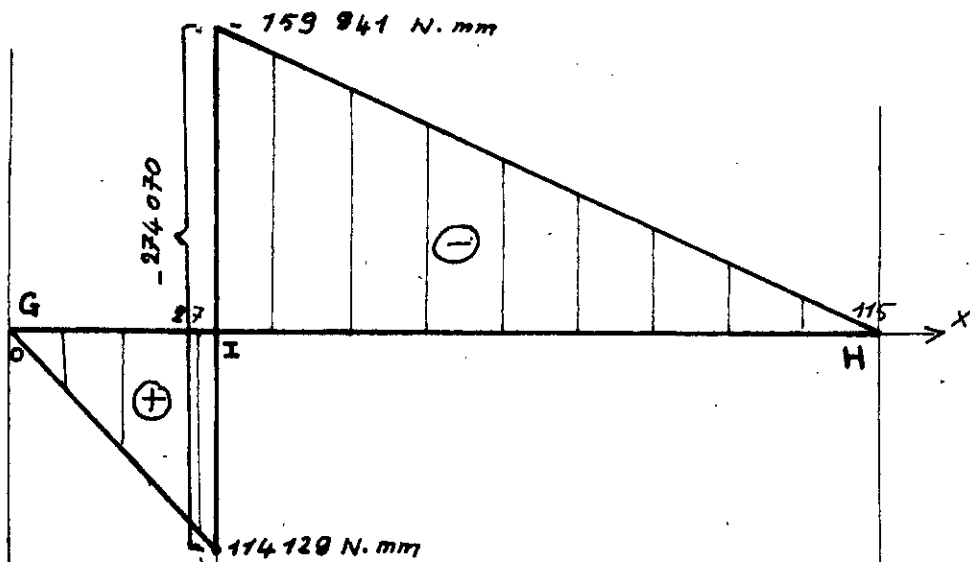
Partie IH :  $x \in [27, 115]$

$$M_x = -R_G \cdot x + F_{t_y} (x - 27) < \begin{cases} x=27 \Rightarrow M_f = M_I = -121392 \text{ N-mm} \\ x=115 \Rightarrow M_H = 0 \end{cases}$$

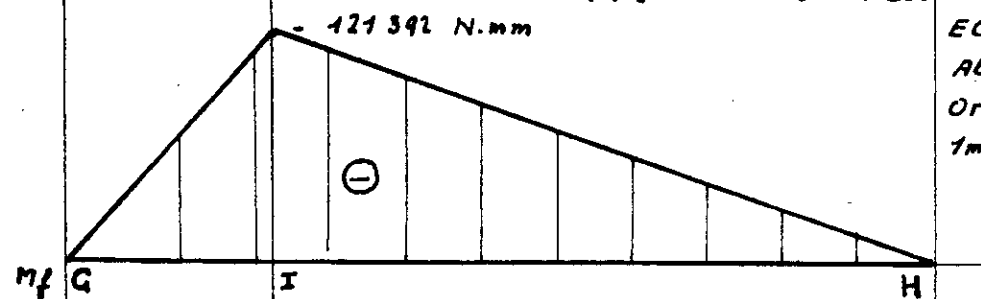
Couple de torsion :  $M_{t_3}$

$$M_{t_3} = C_3 = 528,09 \text{ N.m} = 528090 \text{ N-mm.}$$

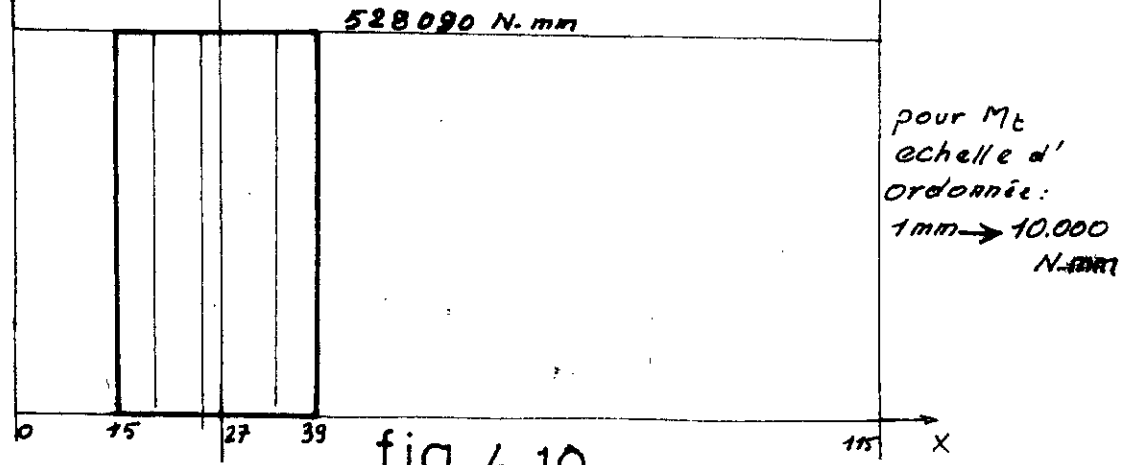
moment fléchissant horizontal



moment fléchissant vertical



moment de torsion



ECHELLE:  
Abscisse : ech 1  
ordonnée :  
 $1\text{mm} \rightarrow 4000 \text{ N.mm}$

pour  $M_t$   
échelle d'  
ordonnée :  
 $1\text{mm} \rightarrow 10.000$   
~~N/mm~~

fig. 4-10

Le moment d'échisant est maximum au niveau de la section I-I,  
cette section est donc la section dangereuse.

$$M_{f_{max}} = M_{f_{II}} = \left[ M_{f_{IIH}}^2 + M_{f_{IIV}}^2 \right]^{1/2} = \left[ 159941^2 + 121392^2 \right]^{1/2} = \\ = 200791 \text{ N.mm.}$$

$$M_i_{II} = \left[ M_{f_{max}}^2 + M_t^2 \right]^{1/2} = \left[ 200791^2 + 528090^2 \right]^{1/2} = 564974 \text{ N.mm}$$

Contrainte idéale :

$$\sigma_i = M_i / W_i \quad W_i : \text{module de flexion}$$

Pour l'arbre creux de diamètre extérieur  $D$  et  
de diamètre intérieur ( $d$ ), nous aurons :

$$W_i = \frac{\pi}{32} \cdot \frac{D^4 - d^4}{D} = 0,1 \cdot \frac{D^4 - d^4}{D}$$

$$\begin{aligned} D &= 60 \text{ mm} \\ d &= 44 \text{ mm} \end{aligned} \quad \Rightarrow \quad W_i = 0,1 \cdot \frac{60^4 - 44^4}{60} = 15353 \text{ mm}^3$$

Donc,

$$\sigma_i = \frac{564974}{15353} = 37 \text{ N/mm}^2$$

$$\sigma_i = 37 \text{ N/mm}^2 < \sigma_{\text{adm.}} = 80 \text{ N/mm}^2.$$

## V. CALCUL DES DYNAMOMETRES

### V.1. DETERMINATION DE LA TENSION MAXI. DES DYNAMOMETRES

#### V.1.1. Calcul de la traction maxi du câble.

Ces calculs sont effectués sans considération des vibrations du mécanisme.

a. Accélération angulaire maximale du moteur:

On calcule cette accélération au démarrage dans le sens de levage avec la charge maxi.

$$I_3 \ddot{\varphi}_{\max} = M_{\text{mot max}} - M_u$$

$$\Rightarrow \ddot{\varphi}_{\max} = \frac{M_{\text{mot max}} - M_u}{I_3}$$

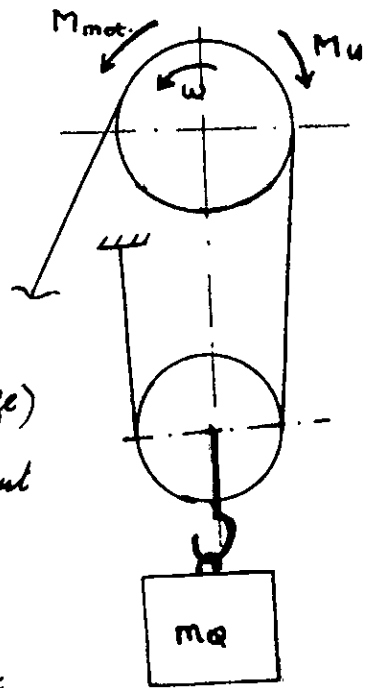
avec :

$\ddot{\varphi}$ : accélération angulaire maxi.  
 $\varphi_{\max}$  : du moteur,

$M_{\text{mot max}}$  : Couple moteur maxi.

$M_u$  : Couple résistant (de levage)

$I_3$  : Moment d'inertie équivalent



$$M_{\text{mot. dem.}} = (0,64 \text{ à } 0,70) M_{\text{mot max}}$$

s'écrit

$$M_{\text{mot max}} = M_{\text{mot. dem.}} \cdot 1/0,65 \quad \text{fig. 5-1}$$

avec  $M_{\text{mot. dem.}}$  : Couple moyen de démarrage donné  
[Catalogue UNELEC] [ref. 2]

$$\frac{M_{\text{mot. dem.}}}{C_{\text{normal}}} = 1,8 \Rightarrow M_{\text{mot. dem.}} = 1,8 C_n = 1,8 \cdot 22,5 = 40,5 \text{ N.m}$$

$$M_{\text{max mot}} = 40,5 / 0,65 = 62,3 \text{ N.m}$$

$$\begin{aligned} M_{\text{ext max}} &= 62,3 \text{ N.m} \\ M_u &= 214 \text{ N.m} \\ I_3 &= 0,108 \text{ kg.m}^2 \end{aligned}$$

$$\ddot{\varphi}_{\max} = \frac{62,3 - 24}{0,108} = 354,63 \text{ rad/s}^2$$

$$\ddot{\varphi}_{\max} = 354,63 \text{ rad/s}^2$$

b. accélération angulaire maxi du tambour :  $\dot{\varphi}_{b\max}$

$$i_m = 21,99 \quad \dot{\varphi}_{b\max} = \frac{\ddot{\varphi}_{\max}}{i_m} = \frac{354,63}{21,99} = 16,13 \text{ rad/s}^2.$$

$$\dot{\varphi}_{b\max} = 16,13 \text{ rad/s}^2$$

c. accélération linéaire (tangentielle) du tambour :

$$D_b = 180 \text{ mm} \quad a_{b\max} = \frac{i_l b_{\max} \cdot D_b}{2} = \frac{16,13 \cdot 0,180}{2} = 1,45 \text{ m/s}^2$$

$$a_{b\max} = 1,45 \text{ m/s}^2$$

d. accélération linéaire maxi du crochet :

$$i_{wk} = 2 \quad a_{c\max} = \frac{a_{b\max}}{i_{wk}} = \frac{1,45}{2} = 0,73 \text{ m/s}^2$$

$$a_{c\max} = 0,73 \text{ m/s}^2$$

e. Calcul de la tension maxi du crochet :

Considérons le cycle de levage au démarrage ; isolons la charge [fig. 5-2]

d'application de la relation fondamentale de la dynamique à la charge isolée, donne :

$$\vec{T}_4 + (m_Q + m_M) \vec{g} = (m_Q + m_M) \vec{a}_{c\max}$$

avec

$\vec{T}_4$  : tension maximale du crochet,  
 $m_Q$  : masse de la charge maxi,  
 $m_M$  : " " " moufle,

$\vec{a}_{c\max}$  accélération linéaire maximale de la charge (crochet).

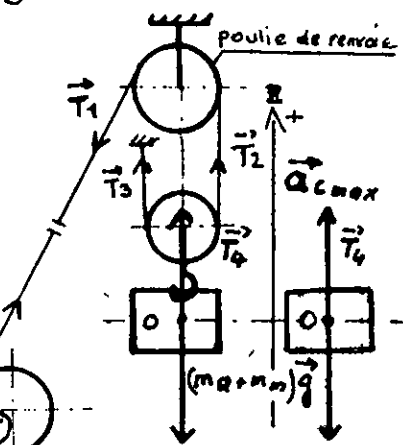


fig. 5-2

Projection de la relation ci-dessus sur l'axe Oz :

$$T_y = (m_Q + m_m) g = (m_Q + m_m) a_{\text{max}}$$

$$\Rightarrow T_y = (m_Q + m_m) (g + a_{\text{max}})$$

$$m_Q = 1000 \text{ kg}$$

$$m_m = 19,10 \text{ kg}$$

$$g = 9,81 \text{ m/s}^2$$

$$a_{\text{max}} = 0,73 \text{ m/s}^2$$

$$T_y = (1000 + 19,10) (9,81 + 0,73) = 10740 \text{ N}$$

$$T_y = 10740 \text{ N}$$

f. Traction maximale du câble :

$$T_1 = \frac{T_y}{i_{\text{wk}} \cdot \eta_{\text{wh}} \cdot \eta}$$

avec,

$i_{\text{wk}}$  : rapport de transmission,

$\eta_{\text{wh}}$  : rendement de la roue,

$\eta$  : rendement de la goulis

de renvoi (1)

$$T_y = 10740 \text{ N}$$

$$i_{\text{wk}} = 2$$

$$\eta_{\text{wh}} = 0,975$$

$$\eta = 0,95$$

$$T_1 = \frac{10740}{2 \cdot 0,975 \cdot 0,95} \approx 5800 \text{ N}$$

$$T_1 = 5800 \text{ N}$$

### V.1.2. Etats de charge des dynamomètres (fig. 5-3)

a) Etat sans charge ( $T=0$ ) et sans tension tirable.

$F'_1 = G \cdot l/b$  avec,  $G$ : poids du réducteur, moteur-fréin,

$l$ : bras de levier de  $G$  par rapport à 10 (fig.)

$b$ : distance entre l'axe des dyn. et celui du tambour.

$F'_1$  et  $F'_2$  : tensions dans les dynamomètres (1) et (2) respectivement.

$$G = 900 \text{ N}$$

$$l = 150 \text{ mm}$$

$$b = 335 \text{ mm}$$

$$F'_1 = 0 \quad \text{et} \quad F'_2 = 900 \cdot \frac{160}{335} \approx 400 \text{ N.}$$

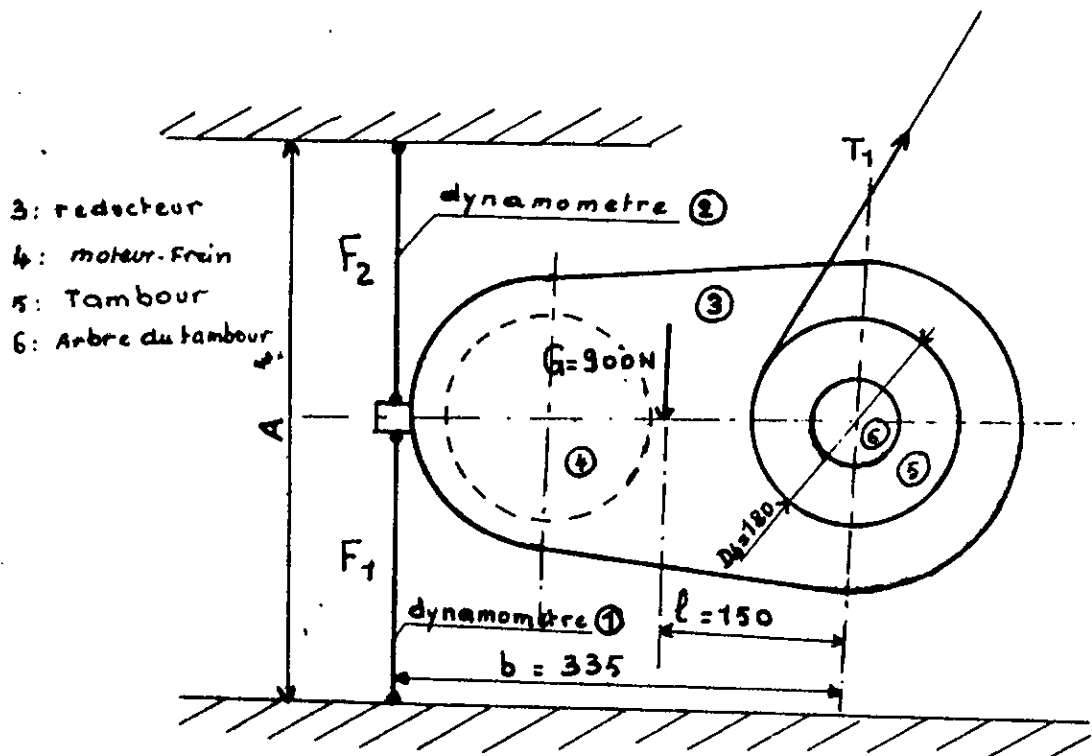


fig. 5-3

### 6. Etat avec tension préalable

Les dynamomètres utilisés sont aptes à travailler uniquement à la traction. On les soumet à une tension préalable.

$F_1^* = 1600 \text{ N}$ , telle que les deux dynamomètres soient toujours en état de traction.

Dans cet état de charge les deux dynamomètres sont soumis aux tensions,

$$F_1^* = 1600 \text{ N}$$

et

$$F_2^* = F_1^* + F_2' = 1600 + 400 = 2000 \text{ N}.$$

\* Vérification de l'équilibre du système

$$\sum \vec{M}_O(F_{\text{ext}}) \stackrel{?}{=} \vec{0}$$

$$(F_2^* - F_1^*) \cdot b - G \cdot l \stackrel{?}{=} 0$$

$$(2000 - 1600) \cdot 335 - 900 \cdot 150 = 134000 - 135000 = -1000 \text{ N.m}$$

$$= -1 \text{ N.m}$$

Cette faible valeur, qui n'est pas rigoureusement nulle, est due au fait que la valeur de  $F_2'$  a été arrondie.

C. Treuil chargé par la traction maximale du câble  
( $T_1 = 5800 \text{ N}$ )

Sous l'action de la force  $T_1$ , la tension du dynamomètre (1) augmente et celle du dynamomètre (2) diminue. La distance (A) restant constante, l'allongement du dynamomètre (1) est égal au raccourcissement du dynamomètre (2); par conséquent, la tension  $F_1''$  augmente de la même valeur ( $\Delta F$ ) de laquelle  $F_2''$  diminue. Soit donc,

$$F_1 = F_1'' + \Delta F$$

$$F_2 = F_2'' - \Delta F$$

$$\text{d'où, } (F_1 - F_2) = (F_1'' - F_2'') + 2\Delta F$$

$$\Delta F = \frac{1}{2} [(F_1 - F_2) - (F_1'' - F_2'')]$$

D'autre part, la condition d'équilibre du réducteur écrit,

$$(F_1 - F_2) \cdot b + G \cdot l = T_1 \cdot \frac{D_b}{2}$$

$T_1 \cdot D_b/2$  représentant le couple max. au niveau du tambour.

$$(F_1 - F_2) = \frac{T_1 \cdot D_b/2 - G \cdot l}{b}$$

$$G = 900 \text{ N}$$

$$l = 150 \text{ mm}$$

$$b = 335 \text{ mm}$$

$$T_1 = 5800 \text{ N}$$

$$D_b = 180 \text{ mm}$$

$$(F_1 - F_2) = \frac{5800 \cdot \frac{180}{2} - 900 \cdot 150}{335} = 1155 \text{ N}$$

$$F_1'' = 1600 \text{ N}$$

$$F_2'' = 2000 \text{ N}$$

$$F_1 - F_2 = 1155 \text{ N}$$

$$\Delta F = \frac{1155 + 400}{2} = 800 \text{ N.}$$

$$\Delta F = 800 \text{ N.}$$

Finallement,

$$F_1 = F_1'' + \Delta F = 1600 + 800 = 2400 \text{ N}$$

$$F_2 = F_2'' - \Delta F = 2000 - 800 = 1200 \text{ N}$$

## Tableau récapitulatif

Etat de contrainte	$F_1$ (N)	$F_2$ (N)
Sans charge Sans tension préalable	0	400
Sans charge avec tension préalable	1600	2000
avec charge avec tension préalable	2400	1200

## V.2. CALCUL DE RESISTANCE DES DYNAMOMETRES

Le dynamomètre (1) est soumis à une traction maximale de 2400 N. Comme les deux dynamomètres sont identiques, le calcul se fera pour le dynamomètre (1).

des deux dynamomètres sont choisis en acier allié au Nickel-Chrome 1G NC 6 dont la résistance limite d'élasticité  $R_e = 830 \text{ N/mm}^2$ .

avec un coefficient de sécurité  $C = 2$ , nous aurons :

$$\sigma_{\text{adm.}} = R_e/C = 830/2 = 415 \text{ N/mm}^2.$$

la contrainte normale est donnée par,

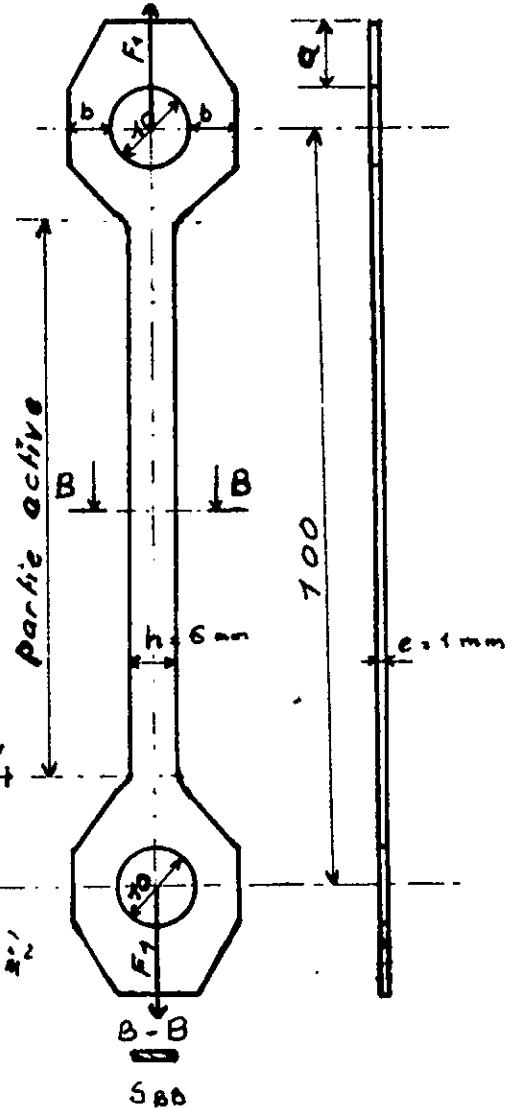
$$\sigma = F_1/S_{BB} \quad (\text{fig. 5-4})$$

avec

$$S_{BB} = h \cdot e = 6 \cdot 1 = 6 \text{ mm}^2$$

$$F_1 = 2400 \text{ N}$$

$$\Rightarrow \sigma = 2400/6 = 400 \text{ N/mm}^2$$



Prenons  $b = h = 6 \text{ mm}$

$$a = 1,5 \cdot b = 1,5 \cdot 6 = 9 \text{ mm}.$$

Choisissons aussi la portée active,  $L = 100 \text{ mm}$ .

Détermination des allongements relatifs maxi. atteints par les dynamomètres et les Jauge.

$$\epsilon_x = \frac{\Delta l}{l} = \sigma/E = \Delta F/E \cdot S_{B0}$$

$E$  étant le module d'élasticité longitudinal.

$$\begin{aligned} \Delta F &= 800 \text{ N} \\ E &= 200.000 \text{ N/mm}^2 \\ S_{B0} &= 6 \text{ mm}^2 \end{aligned}$$

$$\epsilon_x = \frac{800}{200.000 \cdot 6} = 6,67 \cdot 10^{-4}$$

Soit,

$$\epsilon_x = 667 \mu\text{m/m}$$

### V.3. MESURE DU COUPLE

#### V.3.1. Principe de la Méthode de mesure d'Extensométrie Ohmique.

a. Définition : des extensomètres à fil résistant, que l'on désigne aussi sous le nom de jauge de contraintes sont utilisés pour mesurer les déformations des structures en vue d'en évaluer l'état de contrainte.

Il s'agit de petits circuits électriques très fins qui, collés sur les pièces à étudier, en subissent les déformations, ce qui entraîne une variation de leur résistance électrique. Des mesures électriques peuvent être très précises et très sensibles, puisque l'on atteint facilement des déformations de l'ordre du micro-mètre par mètre ( $1 \mu\text{m}/\text{m}$ ).

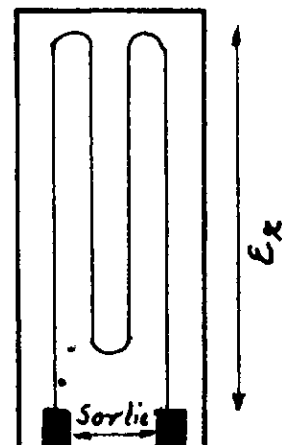


fig.55: Jauge électrique de déformation.  
 $\epsilon_x$ : déformation normale suivant la direction  $x$ .

la résistance électrique du fil de longueur ( $l$ ) de la jauge varie donc en fonction de la déformation; Cette variation se fait suivant la loi :

$$\frac{\Delta R}{R} = k \cdot \frac{\Delta l}{l} = k \cdot \epsilon$$

Avec,

$\epsilon$ : déformation relative du fil;

$k$ : facteur de sensibilité ou facteur de jauge, nombre sans dimension dépendant des propriétés physiques du matériau;

N.B.: Pour les matériaux employés dans les capteurs à résistance,  $k$  varie de 2 à 2,5. Par exemple, pour le Constantan  $k = 2,0$  à 2,1 ; pour le Nickel Chrome  $k = 2,1$  à 2,3

$R$ : résistance électrique du fil;

$\Delta R$ : variation de la résistance avec la déformation;

$\Delta l$ : longueur du fil,

$\Delta l$ : variation de la longueur sous l'effet de la charge.

La variation de la résistance ( $\Delta R$ ) du fil sera mesurée à l'aide d'un pont de Wheatstone

### V.3.2. Constitution et Fonctionnement des Dynamomètres

La mesure du couple  $M_k$  se fait à l'aide de deux dynamomètres à jauge de contrainte.

Sous l'action du couple  $M_k$  du tambour (Voir V.1.2.C), la tension du dynamomètre (1) augmente de ( $\Delta F$ ). La partie active du dynamomètre, qui est une barre rectangulaire, est donc soumise à une traction. La tension du dynamomètre (2) diminue de la même valeur ( $\Delta F$ ); Sa partie active est donc soumise à une diminution de traction.

Remarque : On s'intéressera uniquement à l'action de l'effort  $\Delta F$ .

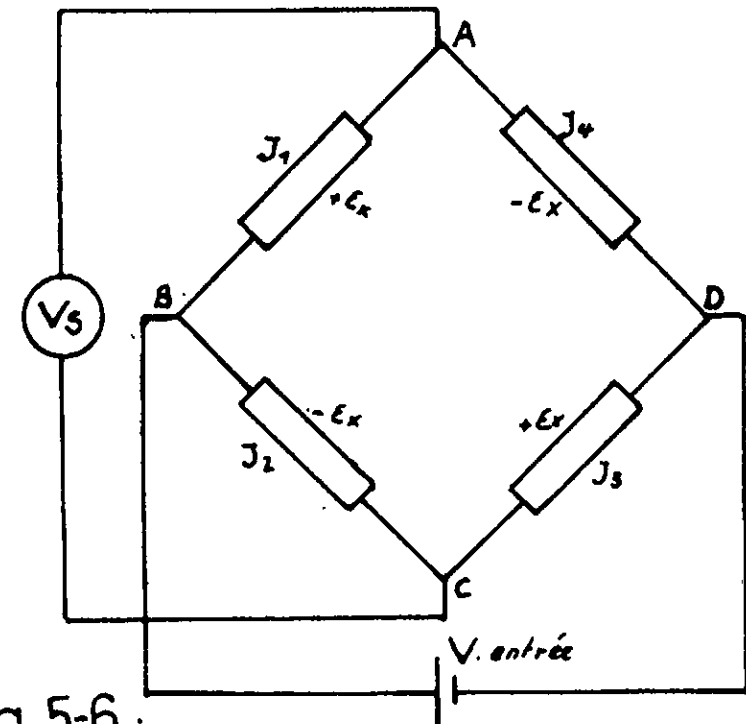
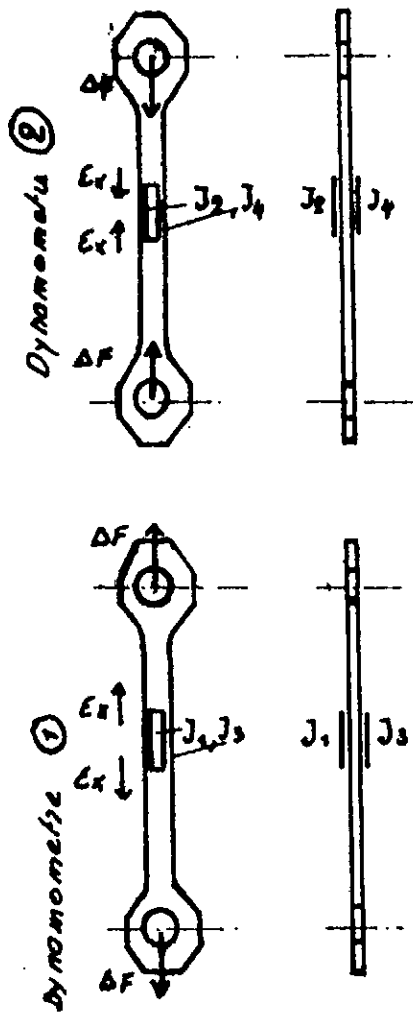


fig. 5-6 :  
Montage en pont de wheatstone :  
avec 4 jauge actives subissant  
les déformations égales 2 à 2  
de signes opposés.

### Disposition des Jauge (fig 5-6)

Sur la barre du dynamomètre (1), qui subit une augmentation de traction ( $\Delta F$ ), on colle deux jauge  $J_1$  et  $J_3$  longitudinalement. Ces dernières seront soumises, chacune, à une augmentation  $E_x$  de l'allongement.

Sur la barre du dynamomètre (2), qui subit une diminution de traction ( $\Delta F$ ), on colle deux jauge  $J_2$  et  $J_4$  disposées longitudinalement aussi. Elles seront soumises, chacune, à une diminution  $E_x$  de l'allongement.

Ce montage symétrique a pour effet d'éliminer les

effets parasites et d'augmenter la sensibilité du dispositif.

la disposition des jauge décrite ci-dessous produit un déséquilibre du pont, plus prononcé que celui produit par une seule ou deux jauge actives, la sensibilité du pont devient, dans ce cas, quatre fois plus grande.

### V.3.3. DETERMINATION DE LA CONSTANTE DES DYNAMOMETRES

d'augmentation ou la diminution de traction transmise par les dynamomètres (1) et (2) respectivement, est :

$$\Delta F = \epsilon_x \cdot E \cdot S \quad \text{avec,}$$

$\epsilon_x$  : allongement relatif (ou rétrécissement relatif) de la barre du dynamomètre,

$E$  : module d'élasticité longitudinal (modèle de Young),

$S$  : section transversale de la barre.

Par cause de la sensibilité multipliée du dispositif utilisé, l'appareil de mesure (enregistreur électromagnétique) indiquera son allongement  $E_{enreg.}$  quatre (4) fois plus grand.

$$E_{enreg.} = 4 \epsilon_x$$

donc,

$$\Delta F = \epsilon_x E S = \frac{E_{enreg.}}{4} \cdot E \cdot S = \frac{ES}{4} E_{enreg.}$$

$E$  et  $S$  étant constants on peut poser :

$$k' = \frac{E \cdot S}{4} \quad [N]$$

et par suite,

$$\Delta F = k' \cdot E_{enreg.}$$

$k'$  : constante du dynamomètre

Application numérique :

$$\left. \begin{array}{l} E = 200.000 \text{ N/mm}^2 \\ S = 6 \text{ mm}^2 \end{array} \right\} \Rightarrow k' = \frac{20.000 \times 6}{4} = 300.000 \text{ N}$$

$$\text{d'où } \Delta F = 30000 E_{enreg.} \quad [N] \\ (\text{N/m})$$

Si  $E'_{\text{enreg.}}$  est de  $10^{-5} \text{ m/m}$ , soit,  $10 \text{ mm/m}$

$$\delta F = k, E'_{\text{enreg.}} = 3 E'_{\text{enrg.}} \quad E'_{\text{enreg.}} \in [0, 300]$$

$$[N] \quad [N] \quad [mm/m]$$

Pour  $(\delta F)_{\text{max}}$  (Voir II.1.2.c) =  $800 \text{ N}$ ;  $E'_{\text{enreg.}}$  sera

$$E'_{\text{enreg.}} = \frac{(\delta F)_{\text{max}}}{k} = \frac{800}{3} = 267 [10 \text{ mm/m}]$$

soit,

$$E'_{\text{enrg.}} = 2670 [\text{mm/m}]$$

La connaissance de  $(\delta F)$  détermine parfaitement le couple au noyau du tambour. un enregistreur électromagnétique à bande nous donnera  $(M_k)$  en fonction du temps.

## V.4. VERIFICATION DE L'ARBRE DU TAMBOUR

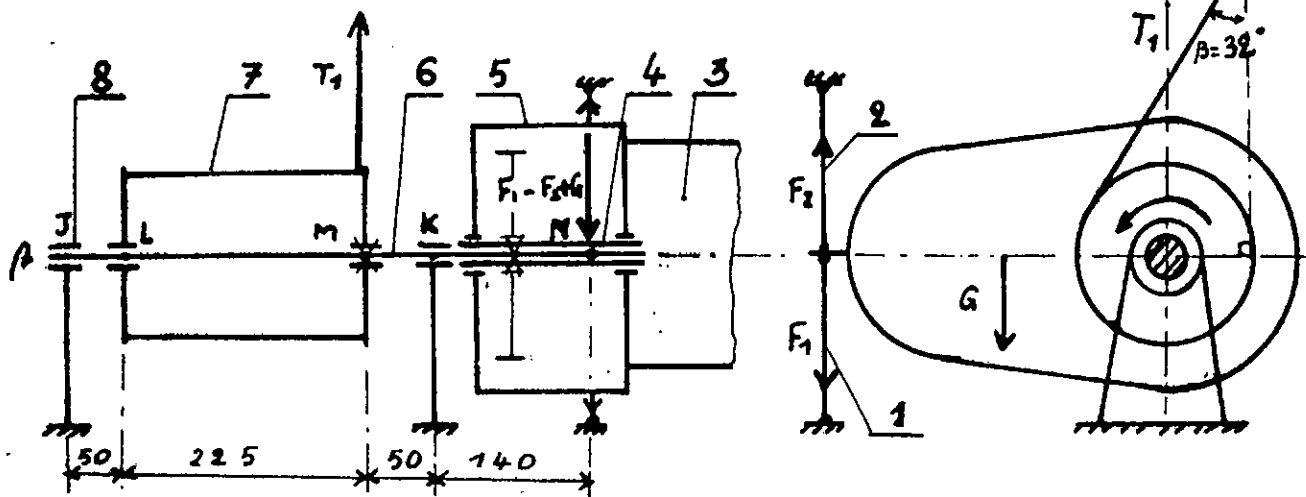


fig. 5-7

- 1 : dynamomètre ①
- 2 : dynamomètre ②
- 3 : moteur-frein
- 4 : Arbre Creux
- 5 : Reducteur
- 6 : Arbre du tambour
- 7 : tambour
- 8 : Palier support

L'arbre du tambour est soumis à la traction maximale du câble ( $T_1$ ) et à la force  $F = F_1 - F_2 + G$ ; avec,

$F_1$  : tension dans le dynamomètre ①

$F_2$  : " " " " " ②

$G$  : poids de l'ensemble réducteur, moteur-frein

La position la plus défavorable est celle correspondant à la traction maximale du câble  $T_1$  agissant à l'extrémité droite du tambour en M. (fig. 5-7)

On considère que  $F = F_1 - F_2 + G$  agit dans le plan du dynamomètre à 140 mm du palier K.

Plan vertical.

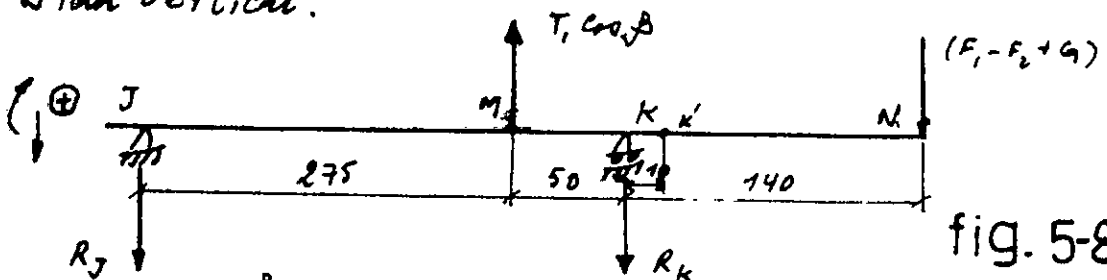


fig. 5-8

$\beta$ : angle que fait le câble avec la verticale

$$\beta = 32^\circ$$

$$T_1 = 5800 \text{ N} \Rightarrow T_{\text{Gr}, \beta} = 4919 \text{ N.}$$

$$\left. \begin{array}{l} F_1 = 2400 \text{ N} \\ F_2 = 1200 \text{ N} \\ G = 900 \text{ N} \end{array} \right\} \Rightarrow F = F_1 - F_2 + G = 2400 - 1200 + 900 = 2100 \text{ N.}$$

Calcul des réactions :

$$\sum M/J = 0 \Rightarrow R_K \cdot 325 - T_{\text{Gr}, \beta}(275) + F(465) = 0$$

$$\Rightarrow R_K = \frac{T_{\text{Gr}, \beta}(275) - F(465)}{325} =$$

$$= \frac{4919(275) - 2100(465)}{325} = 1158 \text{ N}$$

$$\sum M/J = 0 \Rightarrow -R_J(325) + T_{\text{Gr}, \beta}(50) + F(140) = 0$$

$$\Rightarrow R_J = \frac{T_{\text{Gr}, \beta}(50) + F(140)}{325} = \frac{4919(50) + 2100(140)}{325} =$$

$$= 1661 \text{ N.}$$

Moment fléchissant vertical :

Partie (JM) :  $x \in [0, 275[$

$$M_x = -R_J \cdot x \quad \begin{cases} x=0 \Rightarrow M_f = 0 \\ x=275 \Rightarrow M_{f_M} = -R_J \cdot 275 = -456775 \text{ N.mm} \end{cases}$$

Partie (MK) :  $x \in ]275, 325[$

$$M_x = -R_J x + T_{\text{Gr}, \beta}(x-275)$$

$$x=275 \Rightarrow M_f = M_{f_M} = -456775 \text{ N.mm}$$

$$x=325 \Rightarrow M_{f_K} = -R_J(325) + T_{\text{Gr}, \beta}(325-275) = -293875 \text{ N.mm.}$$

Partie (KN) :  $x \in [325, 465[$

$$M_x = -R_J x + T_{\text{Gr}, \beta}(x-275) - R_K(x-325)$$

$$x = 325 \Rightarrow M_k = -293875 \text{ N.mm}$$

$x = 335$  (en  $k'$  avec  $kk' = 10 \text{ mm}$ , l'arbre diminue de section)

$$\begin{aligned} M_{k'} &= -1661(335) + 4919(335 - 275) - 1158(335 - 325) \\ &= -272855 \text{ N.mm} \end{aligned}$$

$$\begin{aligned} x = 465 \Rightarrow M_N &= -1661(465) + 4919(465 - 275) - 1158(465 - 325) \\ &= 0 \end{aligned}$$

Plan horizontal :

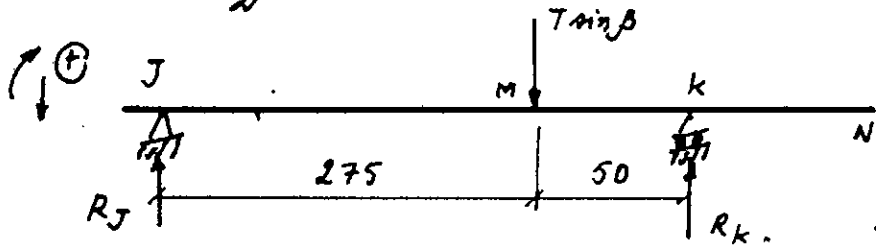


fig. 5-9

$$\begin{cases} T = 5800 \text{ N} \\ \beta = 32^\circ \end{cases} \quad \begin{cases} T \sin \beta = 3074 \text{ N} \\ 7 \sin \beta = 7 \cdot 0.562 = 3.934 \text{ m} \end{cases}$$

$$R_J = \frac{T \sin \beta (50)}{325} = \frac{3074 (50)}{325} = 472 \text{ N.}$$

$$R_k = \frac{T \sin \beta (275)}{325} = \frac{3074 \cdot 275}{325} = 2602 \text{ N.}$$

Moment efféchissant

Partie JM :  $x \in [0, 275[$

$$M_x = R_J \cdot x \quad \begin{cases} x=0 \Rightarrow M_f = 0 \\ x=275 \Rightarrow M_f = 472 \cdot 275 = 129800 \text{ N.mm} \end{cases}$$

Partie Mk :  $x \in [275, 325[$

$$M_x = R_J x - T \sin \beta (x - 275)$$

$$x = 275 \Rightarrow M_{f_M} = 129800 \text{ N.mm}$$

$$x = 325 \Rightarrow M_{f_K} = 472 \cdot 325 - 3074 (325 - 275) = 0$$

Moment de torsion :

$$M_{t_{\max}} = T_{\max} \cdot D_b / 2$$

$$T_{\max} = T_1 = 5800 \text{ N.}$$

$D_b = 180 \text{ mm}$  : diam. du tambour

$$M_{t_{\max}} = 5800 \cdot 180 / 2 = 522000 \text{ N.mm}$$

On a pris le couple de torsion au tambour, dû à la tension maximale du câble  $T_1$ , correspondant à l'accélération max. du moteur pendant le démarrage au levage de la charge maxi.  $Q = 1000 \text{ kg}$ .

Le moment fléchissant  $M_{f_{\max}}$  se manifeste à la section (M-M) (voir fig. 5-10)

$$M_{f_{MM}} = \left[ M_{f_{MM_h}}^2 + M_{f_{MM_v}}^2 \right]^{1/2} = \left[ 129800^2 + 456775^2 \right]^{1/2} = 474859 \text{ N.mm}$$

$$M_{f_{KK}} = \left[ 0 + 293875^2 \right]^{1/2} = 293875 \text{ N.mm}$$

$$M_{f_{KK'}} = \left[ 0 + 272855^2 \right]^{1/2} = 272855 \text{ N.mm}$$

Contrainte idéale :

$$\sigma_i = M_i / 0,1 d^3$$

$$M_i = \left[ M_{f_{MM}}^2 + M_t^2 \right]^{1/2} = \left[ 474859^2 + 522000^2 \right]^{1/2} \approx 705673 \text{ N.mm}$$

$$d_M = 60 \text{ mm} \Rightarrow \sigma_i = \frac{705673}{0,1 \cdot 60^3} = 33 \text{ N/mm}^2 < \sigma_{\text{adm.}} = 80 \text{ N/mm}^2.$$

$$M_{i_{KK}} = \left[ 293875^2 + 522000^2 \right]^{1/2} = 599038 \text{ N.mm}$$

$$d_{KK} = 50 \text{ mm} \Rightarrow \sigma_{i_{KK}} = 599038 / 0,1 \cdot 50^3 = 48 \text{ N/mm}^2 < \sigma_{\text{adm.}} = 80 \text{ N/mm}^2.$$

La section attant de K'K' à NN, partie sur laquelle répote l'arbre creux, présente plus de danger :

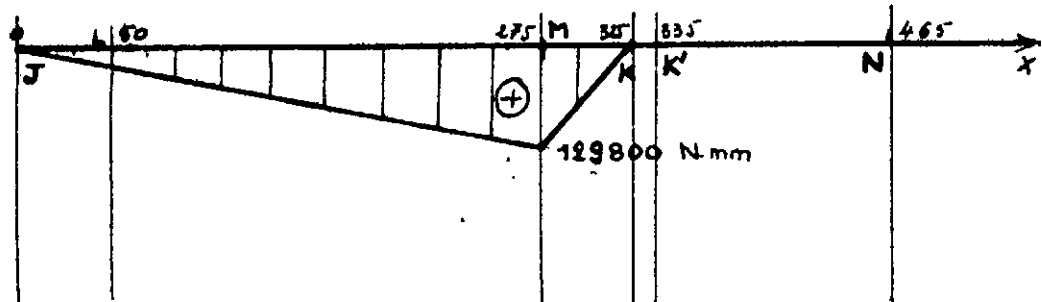
$$M_{i_{KK'}} = \left[ M_{f_{KK'}}^2 + M_t^2 \right]^{1/2} = \left[ 272855^2 + 522000^2 \right]^{1/2} = 589020 \text{ N.mm}$$

$$d_{KK'} = 44 \text{ mm}$$

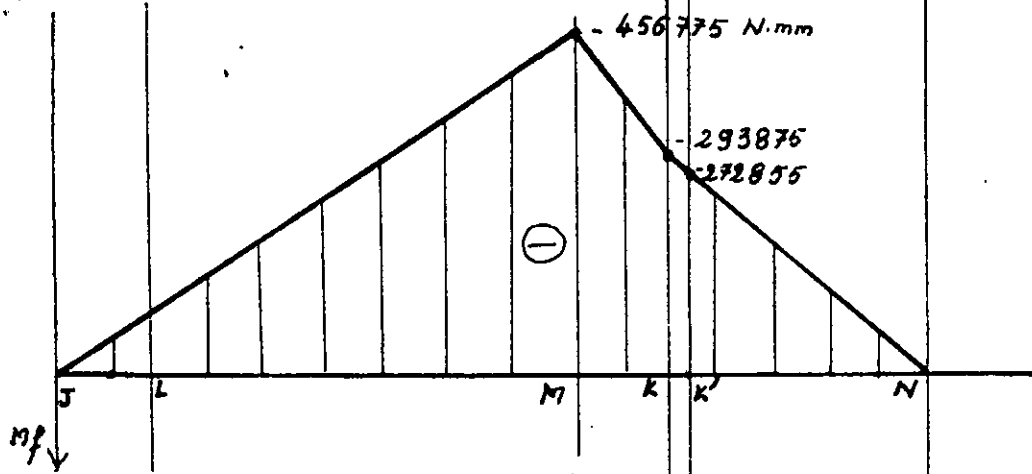
$$\Rightarrow \sigma_{i_{KK'}} = 589020 / 0,1 \cdot 44^3 = 69 \text{ N/mm}^2 < \sigma_{\text{adm.}} = 80 \text{ N/mm}^2.$$

# DIAGRAMMES DES MOMENTS

moment fléchissant horizontal



moment fléchissant vertical



moment de torsion

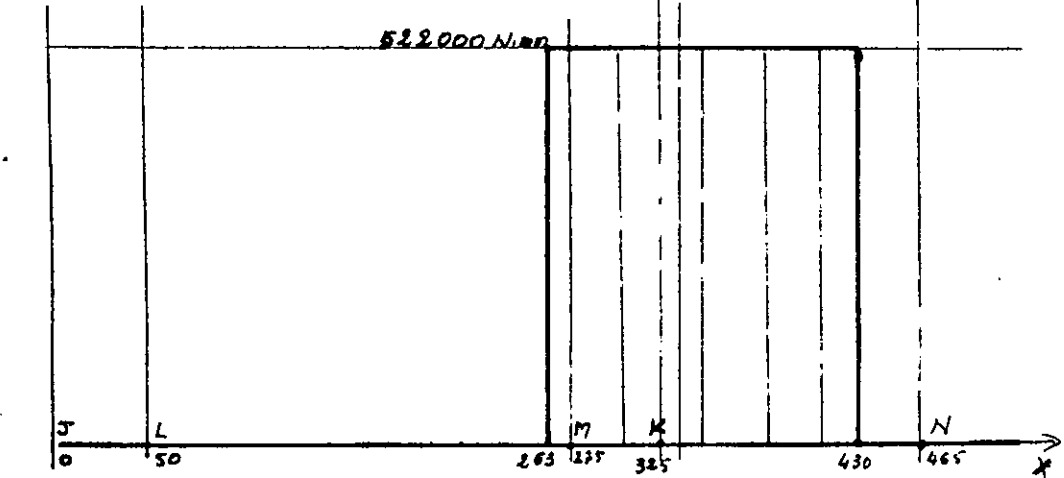


fig 5-10 ECH.: abscisse ech. 1/4  
ordonnée : 1 mm → 10000 N.mm.

## CHAPITRE VII

### CALCUL DE LA FLECHE

#### VII.1. DETERMINATION DE LA PORTEE

La portée se détermine en fonction de la hauteur de levage et des dimensions de la charge maximale.

Dimensions de la charge maxi :  
on se propose de faire cette charge en béton ordinaire ; nous aurons donc :

$$V = m / \rho$$

avec,

$m$  : masse de la charge maxi (1000 kg)  
 $\rho$  : masse volumique du béton ordinaire,  
 soit  $\rho = 2,2 \cdot 10^3 \text{ kg/m}^3$

$V$  : Volume correspondant à la masse de 1000 kg.

$$m = 1000 \text{ kg}$$

$$\rho = 2,2 \cdot 10^3 \text{ kg/m}^3 \quad V = 1000 / 2,2 \times 10^3 = 0,455 \text{ m}^3$$

Adoptons pour la charge une forme cubique d'arête ( $b$ ) ; il vient alors :

$$V = b^3 \Rightarrow b = \sqrt[3]{V}$$

$$\text{Soit } b = 0,77 \text{ m} = 77 \text{ cm}$$

$$\text{Prenons } b = 80 \text{ cm.}$$

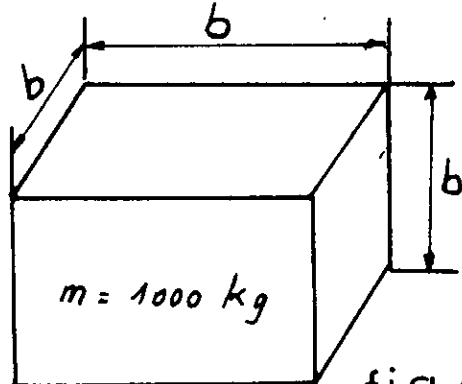


fig. 6-1

$H = 4 \text{ m}$  étant la hauteur de levage, on peut déterminer graphiquement la portée ( $a$ ) et la longueur de la flèche ( $L$ ), en tenant compte de volume de la charge maxi. (fig. 6-2)

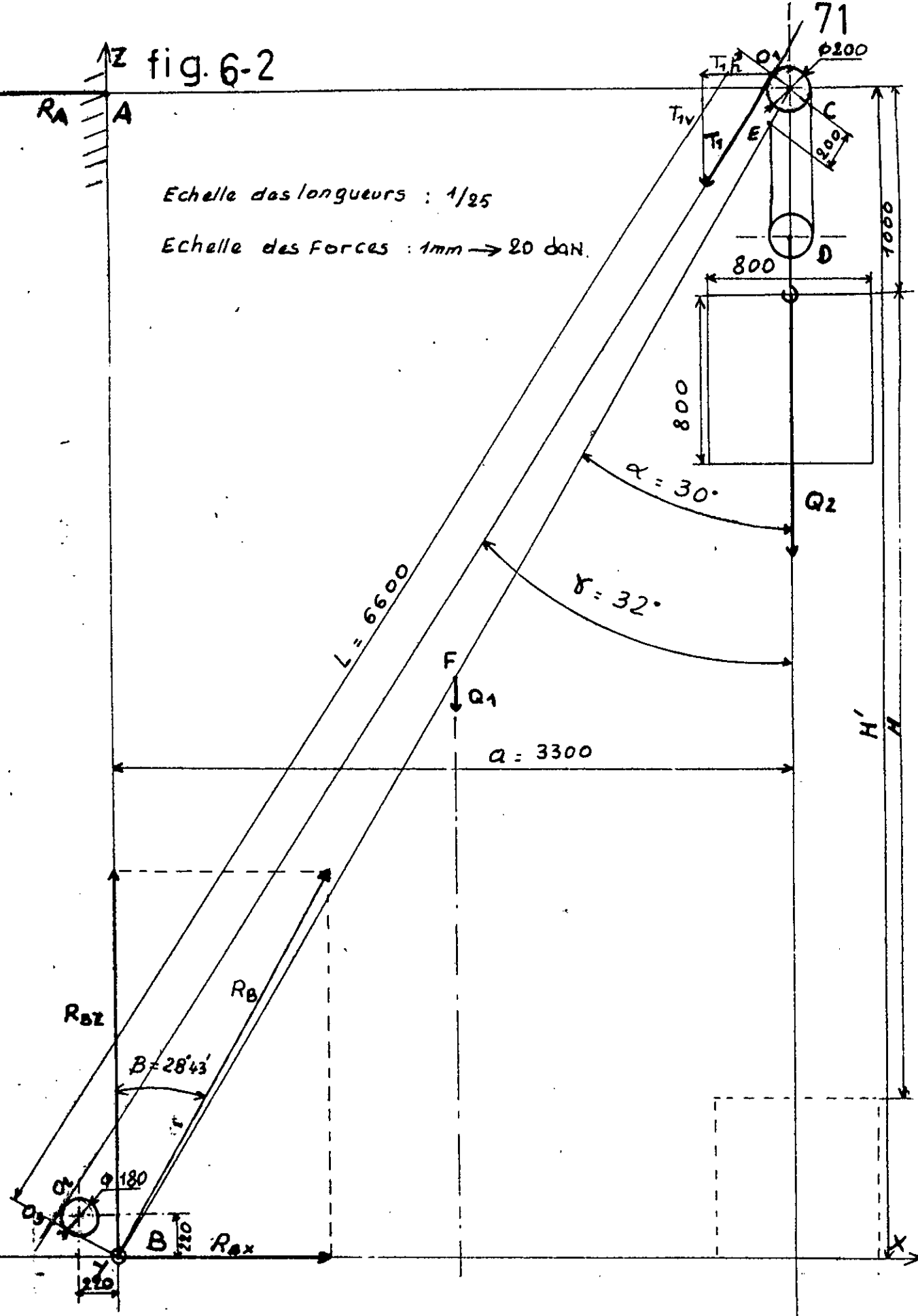
#### VII.2. REACTIONS DES APPUIS $R_A$ et $R_B$ (fig. 6-2)

Considérons l'équilibre de la flèche. Cette dernière est en équilibre sous l'action :

- de son propre poids  $Q_1$  (estimé à 95 daN)
- du poids de la charge plus celui de la rouille  $Q_2$

fig. 6-2

Echelle des longueurs : 1/25

Echelle des Forces : 1mm  $\rightarrow$  20 dan.

$$Q_2 = 9810 + 187 = 10.000 \text{ N} = 1000 \text{ daN}$$

- de la tension du câble  $T_1$  :  $T_1 = Q_2 / 2 = 500 \text{ daN}$
- des réactions  $R_A$  et  $R_B$  des appuis qu'on suppose appliquées aux points A et B.

N.B. \* On néglige, pour ce calcul de résistance, le poids des câbles ainsi que celui des différents accessoires utilisés, leurs valeurs étant évidemment très faibles devant celle des poids de la flèche, de la charge et de la nacelle ainsi que celle de la tension du câble.

\*\* On suppose que les rendements des poulies et du tambour sont égaux à l'unité.

\*\*\* On admettra que les forces  $T_1$ ,  $Q_1$ ,  $Q_2$ ,  $R_A$  et  $R_B$  sont dans un même plan (plan des axes  $Bx$  et  $Bz$ ) ; on supposera aussi que la réaction  $R_A$  est horizontale ; pour toutes ces remarques (voir fig. 6-2).

Condition d'équilibre I :

$$\sum \vec{F} = \vec{0} \text{ soit } \vec{R}_A + \vec{Q}_1 + \vec{Q}_2 + \vec{T}_1 + \vec{R}_B = \vec{0} \quad (1)$$

a) Projection de la relation (1) sur  $Bx$  (horizontale) :

$$- R_A - (T_1)_h + (R_B)_h = 0 \quad (1)'$$

La projection horizontale  $(T_1)_h$  de la tension  $(T_1)$  se détermine graphiquement. On trouve : (fig. 6-2)

$(T_1)_h = 13 \text{ mm}$ , et comme l'échelle adoptée pour les forces est 1 mm pour 20 daN, nous aurons :

$$(T_1)_h = 13 \text{ mm} \times 20 \text{ daN/mm} = 260 \text{ daN}$$

la relation (1)' s'écrit sous la forme :

$$(R_B)_h = 260 + R_A \quad (1)''$$

b) Projection de la relation (1) sur  $Bz$  (verticale) :

$$(R_B)_z - Q_1 - Q_2 - (T_1)_z = 0 \quad (2)$$

d'après le graphique (fig 6-2), on tire  $(T_1)_z = 21,5 \text{ mm}$   
Soit,

$$(T_1)_z = 21,5 \times 20 = 430 \text{ daN}$$

d'équation (2) peut s'écrire sous la forme :

$$(R_B)_z = Q_1 + Q_2 + (T_1)_z$$

$$Q_2 = 1000 \text{ daN}$$

$$Q_1 = 95 \text{ daN}$$

$$(T_1)_z = 430 \text{ daN}$$

$$(R_B)_z = 95 + 1000 + 430 = 1523 \text{ daN}$$

Condition d'équilibre 3

$$\sum M_{/B} = 0$$

la projection de cette relation sur un axe  $\perp$  au plan des forces ( $Oy$ ) nous donne :

$$R_A \cdot H' + T_1 \cdot O_3 B - Q_1 \cdot a_{1/2} - Q_2 \cdot a = 0 \quad (3)$$

d'après le graph nous avons : (fig 6-2)

$$O_3 B = 14 \text{ mm} \Rightarrow \text{l'échelle des distances étant } 1/25$$

$$a = 3300 \text{ mm} \text{ et } O_3 B = 350 \text{ mm}$$

$$H' = a / \tan \alpha \quad \text{et} \quad H' = 3300 / \tan 30^\circ = 5715 \text{ mm}$$

$T_1 = 500 \text{ daN}$
$Q_1 = 95 \text{ daN}$
$Q_2 = 1000 \text{ daN}$
$H' = 5715 \text{ mm}$
$a = 3300 \text{ mm}$
$O_3 B = 350 \text{ mm}$

de (3), on peut écrire que :

$$\begin{aligned} R_A &= -T_1 \cdot O_3 B + Q_1 \cdot a_{1/2} + Q_2 \cdot a \\ &= -500 \cdot 350 + 95 \cdot 3300/2 + 1000 \cdot 3300 \\ &= 5715 \end{aligned}$$

$$\approx 574 \text{ daN}$$

$$R_A = 574 \text{ daN}$$

Substituant cette valeur dans la relation (1)" on tire

$$(R_B)_A = 574 + 260 = 834 \text{ daN}$$

$$\text{Il s'ensuit que, } R_B = \left[ (R_B)_A^2 + (R_B)_z^2 \right]^{1/2}$$

$$(R_B)_A = 834 \text{ daN} \quad R_B = [1523^2 + 834^2]^{1/2} = 1736 \text{ daN}$$

$$(R_B)_z = 1523 \text{ daN}$$

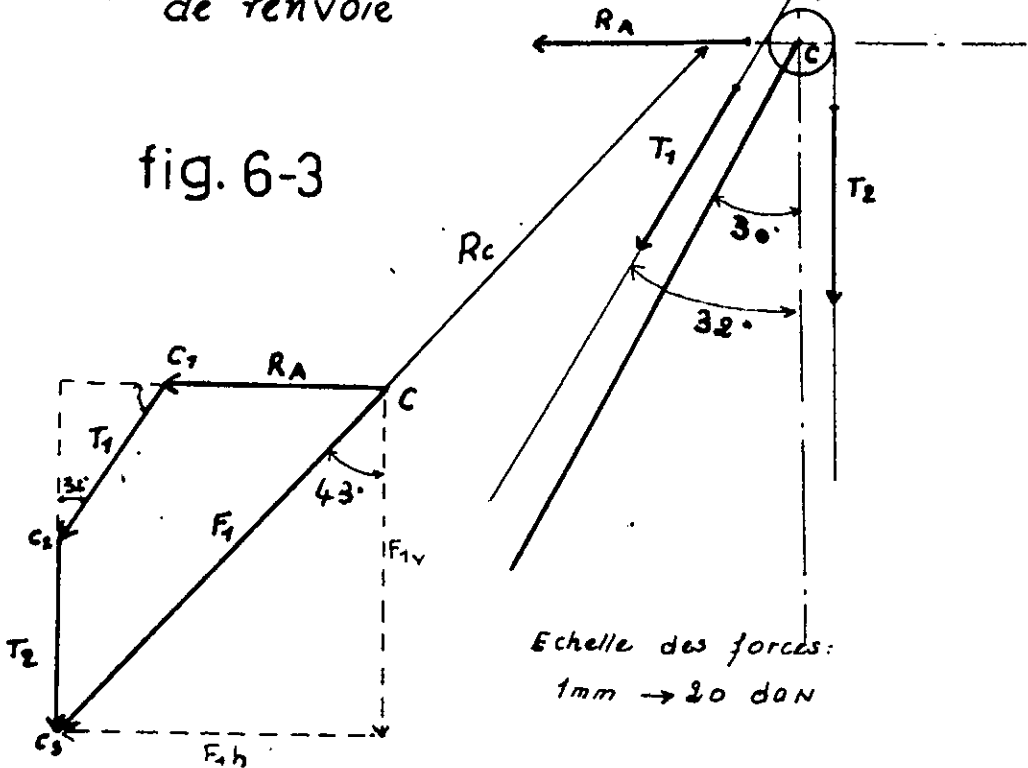
Calcul de  $\beta = (\vec{R}_B, \vec{B}_2)$ :

$$R_B = 1736 \text{ daN}$$

$$\tan \beta = R_B z / R_B z \Rightarrow \beta = 28^\circ 43'$$

## VII.3. CALCUL DES EFFORTS

### VII.3.1. Efforts s'exerçant sur l'axe de la poulie de renvoie



$T_1$  et  $T_2$  : tensions du câble       $T_1 = T_2 = Q_2 / 2 = 1000 / 2 = 500 \text{ dan}$   
 $R_A$  : réaction en A       $R_A = 574 \text{ dan}$   
 $F_1$  : résultante de  $T_1$ ,  $T_2$  et  $R_A$ , elle est déterminée graphiquement : (fig:6-3)  
 $F_1 = CC_3 = 62 \text{ mm} = 62 \times 20 = 1240 \text{ dan}$

$(F_1)_v$  : projection verticale de  $F_1$  :  $(F_1)_v = 45,5 \text{ mm} = 45,5 \times 20 = 910 \text{ dan}$   
 $(F_1)_h$  : projection horizontale de  $F_1$  :  $(F_1)_h = 42 \text{ mm} = 42 \times 20 = 840 \text{ dan}$

d'axe de cette poulie est en équilibre sous l'action de la force résultante  $(F_1) = 1240 \text{ dan}$  et de la réaction  $(R_C)$  de l'axe sur son moyen (-coussinet).

donc,  $\vec{F}_1 + \vec{R}_C = 0 \Rightarrow F_1 - R_C = 0 \Rightarrow F_1 = R_C = 1240 \text{ dan}$

$$(R_C)_v = (F_1)_v = 910 \text{ dan}$$

$$(R_C)_h = (F_1)_h = 840 \text{ dan}$$

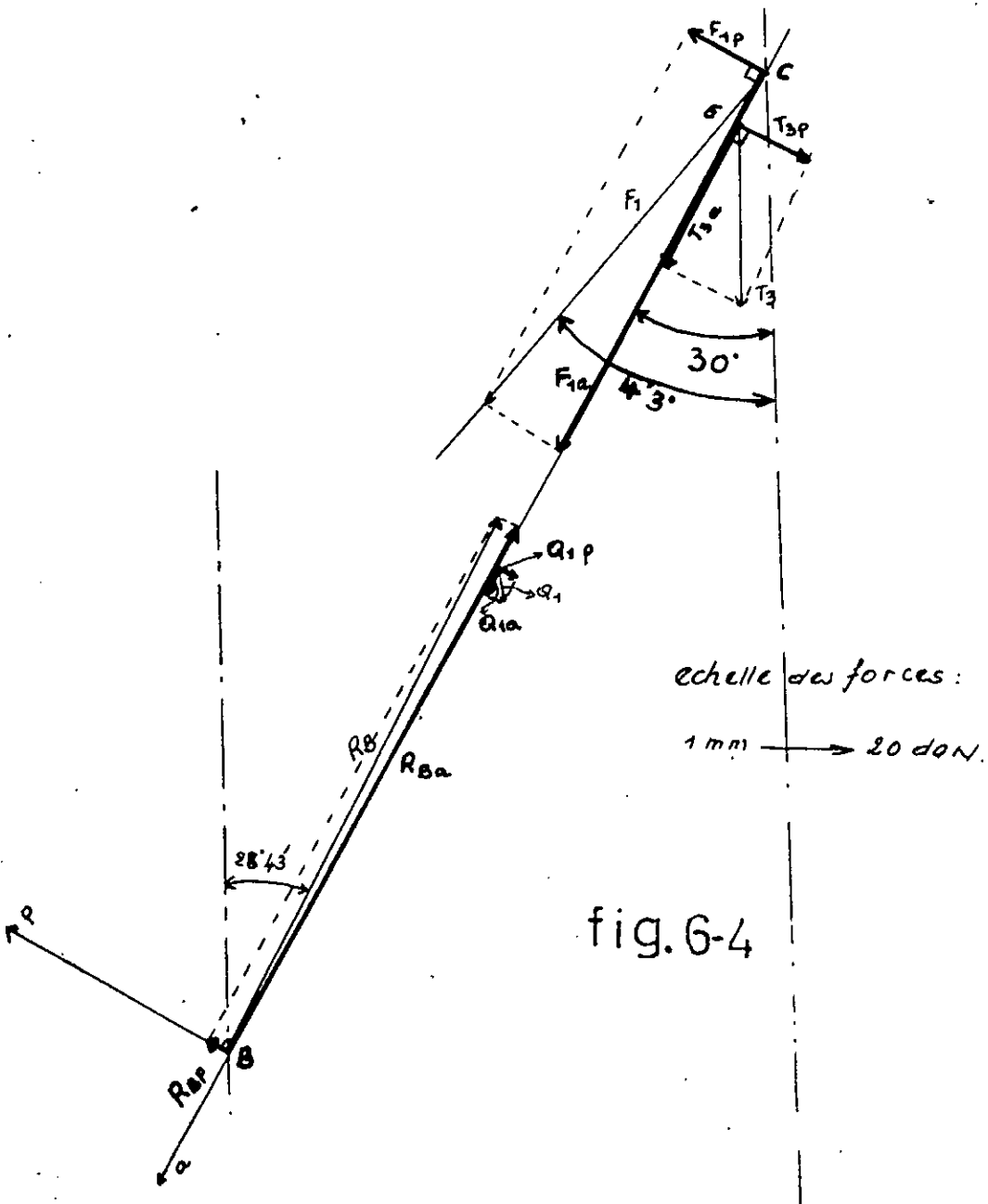
### VII.3.2 Efforts s'exerçant sur la flèche

les efforts qui s'exercent sur la flèche sont:

- $F_1$ : résultante des forces  $T_1$  et  $T_2$  et  $R_A$ ;  $F_1 = 1240 \text{ dan}$ ,
- $T_3$ : tension du brin fixe sur son point d'attache E;
- $T_3 = T_2 = 500 \text{ dan}$ ,
- $Q_1$ : poids propre de la flèche;  $Q_1 = 95 \text{ dan}$ ,
- $R_B$ : réaction en B;  $R_B = 1736 \text{ dan}$ .

On décompose ces forces sur deux axes:

- un axe passant par l'axe de la flèche  $B_A$ ,
- un axe perpendiculaire à l'axe de la flèche  $B_P$ .



L'effort axial de compression ( $F_c$ ) est donné par :

$$F_c = F_{1a} + T_{1a} + Q_{1a}$$

$$F_{1a} = 61 \text{ mm}$$

$$T_{1a} = 21 \text{ mm}$$

$$Q_{1a} = 4 \text{ mm}$$

$$F_c = 61 + 21 + 4 = 86 \text{ mm} = 86 \times 20 = 1720 \text{ daN}$$

Cet effort est parfaitement équilibré par  $R_{Ra}$ , nous avons donc,  $R_{Ra} = F_c = 1720 \text{ N}$ . Les composantes des efforts suivant l'axe normal à la flèche qui sont :  $F_{1p}$ ,  $T_{3p}$ ,  $Q_{1p}$  et  $R_{Rp}$  s'équilibreront parfaitement.

$$F_{1p} = 13 \text{ mm}$$

$$T_{3p} = 12,5 \text{ mm}$$

$$Q_{1p} = 2,5 \text{ mm}$$

$$R_{Rp} = 2 \text{ mm}$$

$$F_{1p} = 260 \text{ daN}$$

$$T_{3p} = 250 \text{ daN}$$

$$Q_{1p} = 50 \text{ daN}$$

$$R_{Rp} = 40 \text{ daN}$$

$$\Sigma F_p = F_{1p} - T_{3p} - Q_{1p} + R_{Rp}$$

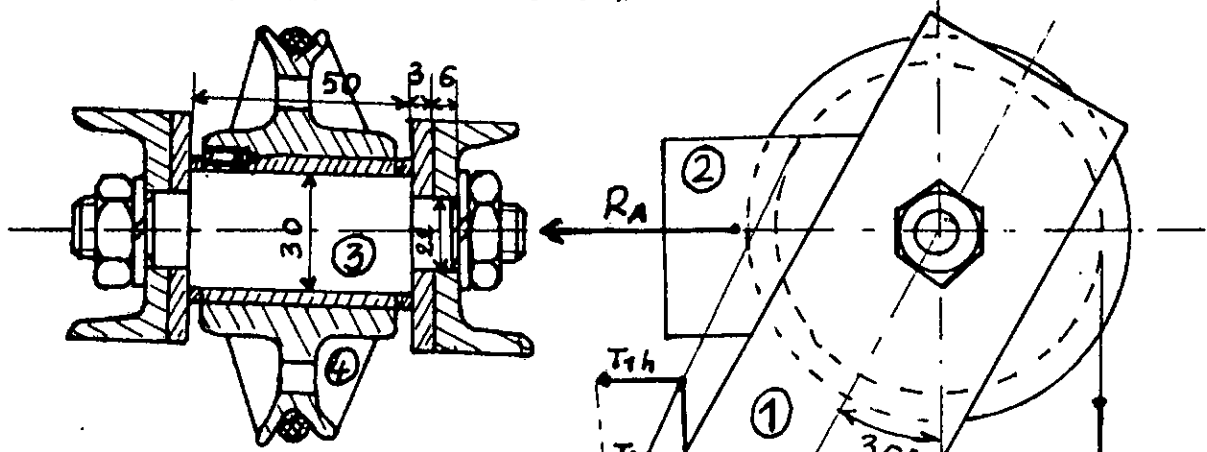
$$= 260 - 250 - 50 + 40$$

$$= 0$$

La composante  $Q_{1p} = 50 \text{ daN}$  du poids propre de la flèche qui agit en F (milieu de la flèche) et donne la flèche à la flexion, est relativement faible. On ne fera donc pas la vérification de la flèche à la flexion ; On se contentera de la vérifier au chargement.

## VII.4 VERIFICATION ET CHOIX DE CERTAINS ELEMENTS SOUTENANT LA FLECHE

### VII.4.1. VERIFICATION DE L'AXE DE LA POULIE DE RENVOIE



$$T_1 = 500 \text{ daN} \quad \begin{cases} T_{1h} = 260 \text{ daN} \\ T_{1v} = 430 \text{ daN} \end{cases}$$

$$T_2 = 500 \text{ daN}$$

$$R_A = 574 \text{ daN}$$

fig. 6-5

- 1 : profilés constituant la flèche(s)
- 2 : tirants (2)
- 3 : axe de la poulie de renvoie
- 4 : poulie de renvoie.

\* Moment fléchissant

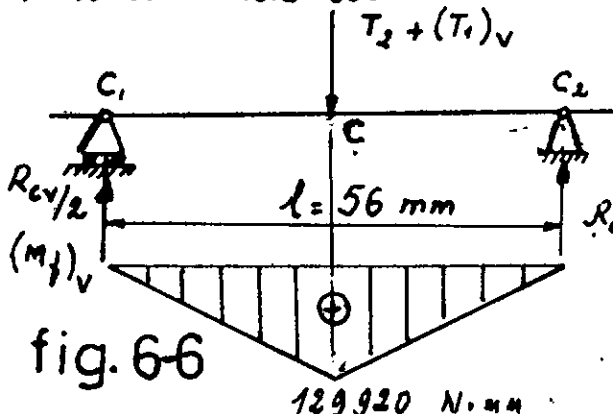
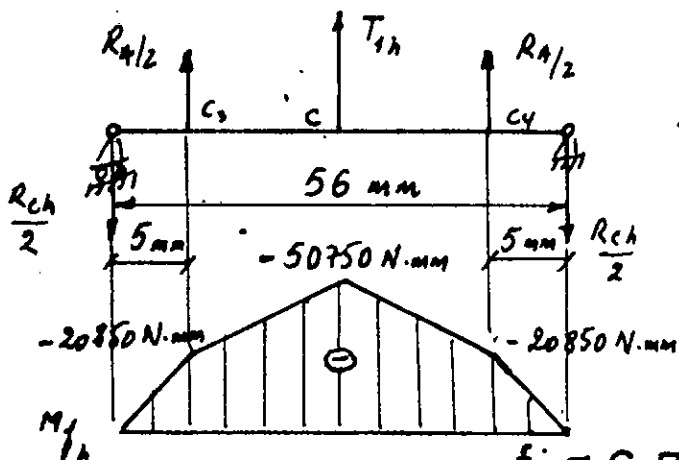


fig. 6-6

a) Plan vertical



b) Plan horizontal fig. 6-7

 $x = 28 \text{ mm}$ 

$$\Rightarrow M_{f_h} = [-Rch/2] \cdot 28 = -4170 \cdot 28 = -50750 \text{ N-mm}$$

$$M_{f_{\max}} = [M_{f_v}^2 + M_{f_h}^2]^{1/2} = [(29920)^2 + (-50750)^2]^{1/2} = 139480 \text{ N-mm} \quad \text{au point (C).}$$

$$\therefore M_{f_{C_3}} = M_{f_{C_4}} = [M_{f_{V,C_3}}^2 + M_{f_{H,C_3}}^2]^{1/2} = [23200^2 + 20850^2]^{1/2} = 31192 \text{ N-mm}$$

Effort tranchant:

$$R_{cv/2} = [(R_{cv/2})^2 + (R_{ch/2})^2]^{1/2} = [4640^2 + 4170^2]^{1/2} = 6238 \text{ N}$$

$$\frac{R_{cv}}{2} = \frac{T_2 + T_1v}{2} = \frac{500 + 428}{2} = 464 \text{ daN,}$$

$$M_{f_c} = R_{cv} \cdot \frac{l}{2} = 464 \times \frac{56}{2} = 12992 \text{ daN-mm}$$

Pour  $x = 5 \text{ mm}$  nous avons:

$$(M_f)_c = \frac{R_{cv} \cdot 5}{2} = 464 \times 5 = 2320 \text{ daN-mm.}$$

$$R_{ch/2} = \frac{R_A + T_{1h}}{2} = \frac{574 + 260}{2} = 417 \text{ daN}$$

Moment fléchissant:

$$M_x = (-Rch/2)x$$

$$\begin{aligned} x &= 0 & M_f &= 0 \\ x &= 5 \text{ mm} & M_f &= -4170 \times 5 = \\ &&&=-20850 \text{ N-mm} \end{aligned}$$

a) Vérification à la flexion:  
de module de flexion de la section c-c doit vérifier  
la relation :

$$0,1 d^3 \geq (M_f)_{\text{max}} / \sigma_{\text{adm.}}$$

d'axe étant soumis au frottement et à l'usure, on le réalisera en acier mi-dur XC 18 dont la limite d'élasticité est  $R_e \approx 370 \text{ N/mm}^2$ .

Soit un coefficient de sécurité ( $C$ ) = 3, la contrainte admissible est alors :

$$\sigma_a = R_e/C = 370/3 = 120 \text{ N/mm}^2.$$

Le diamètre  $d_{cc}$  est le diamètre intérieur de la trouée choisi en [1] page 24.

$$d_{cc} = 30 \text{ mm}$$

alors,

$$M_f = 139480 \text{ N.mm}$$

$$d_{cc} = 30 \text{ mm}$$

$$M_{fc_3} = 31260 \text{ N.mm}$$

$$d_{c_3} = 22 \text{ mm}$$

$$\sigma_{cc} = M_{fc_{cc}} / 0,1 d_{cc}^3 = 139480 / 0,1 \cdot 30^3 =$$

$$= 5,2 \text{ N/mm}^2 < \sigma_{\text{adm.}} = 120 \text{ N/mm}^2$$

$$\sigma_{c_3} = M_{fc_3} / 0,1 d_{c_3}^3 = 31260 / 0,1 \cdot 22^3 =$$

$$= 2,9 \text{ N/mm}^2 < \sigma_{\text{adm.}} = 120 \text{ N/mm}^2.$$

b) Vérification de la contrainte de cisaillement de l'axe:  
il est égal à l'effort tranchant est max. à chacun des appuis,

$$R_c/2 = 6238 \text{ N}$$

Pour les aciers  $\tau_{\text{adm.}} = \sigma_{\text{adm.}}/2 = 120/2 = 60 \text{ N/mm}^2$   
la contrainte tangentielle est donnée par :

$$\tau = (R_c/2)/s'$$

où  $s'$  est la section de l'axe au niveau des appuis.

$$s' = \pi d_{c_3}^2 / 4 = \pi 22^2 / 4 \approx 380 \text{ mm}^2$$

$$\text{d'où, } \tau = 6238 / 380 \approx 16,4 \text{ N/mm}^2 < \tau_{\text{adm.}} = 60 \text{ N/mm}^2$$

## VII.4.2. DIMENSIONS DE LA SECTION DES TIRANTS

Chaque tirant supporte une charge de traction égale à la moitié de  $R_A$  (Voir figure 6-5) :

$$F_{\text{tirant}} = R_A/2 = 574/2 = 287 \text{ daN}$$

Un tirant est constitué d'une barre en acier doux E 24 (A37) de section rectangulaire.

$R_c = 240 \text{ N/mm}^2$ . Adoptons un coefficient de sécurité  $c = 4$ , la contrainte admissible serait alors,

$$\sigma_{\text{adm.}} = R_c/c = 240/4 = 60 \text{ N/mm}^2$$

La section ( $S$ ) de la barre doit satisfaire à la relation

$$S > \frac{F_{\text{tirant}}}{\sigma_{\text{adm.}}} = \frac{2870}{60} \approx 48 \text{ mm}^2$$

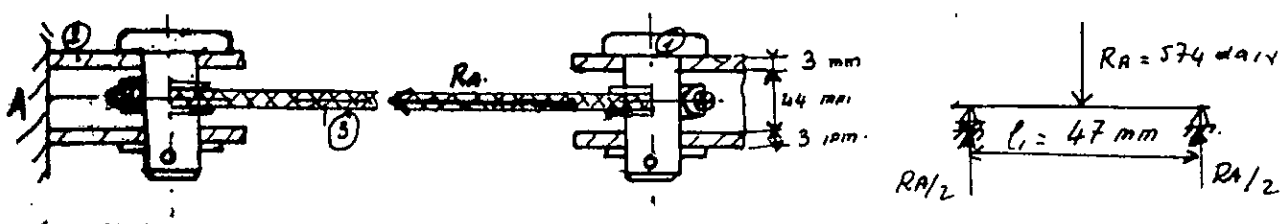
Choisissons un plat de 3 mm d'épaisseur, la largeur nette devra être supérieure à  $48/3 = 16 \text{ mm}$ . Pour tenir compte du trou de l'axe, ajoutons le diamètre de cet axe ( $d = 22 \text{ mm}$ ). La largeur réelle sera donc,

$$l_2 = 16 + 22 = 38 \text{ mm}$$

On adopte finalement une plaque de  $80 \times 3 = 240 \text{ mm}^2$  de section.

## VII.4.3. VERIFICATION DE L'AXE SOUTENANT

### L'ELINGUE CABLE ET LES DEUX TIRANTS



- 1 : axe
- 2 : tirant
- 3 : elingue cable

fig. 6-8

Sous l'action de l'effort de traction  $R_A$  exercé par l'élingue-câble, l'axe tend à fléchir.

$$M_{f\max} = \frac{R_A l_1}{4} = \frac{5740 \cdot 47}{4} \approx 67445 \text{ N.mm}$$

On réalisera cet axe, comme celui de la poulie de renvoi, en acier mi-dur XC 18 de limite d'élasticité  $R_e = 370 \text{ N/mm}^2$ .

Avec un coefficient de sécurité  $c = 3$ , nous aurons :

$$\tau_{\text{adm.}} = R_e/c = 370/3 \approx 120 \text{ N/mm}^2.$$

Le module de flexion de la section droite de l'axe doit satisfaire la condition :

$$(0,1 d^3) \geq M_{f\max}/\tau_{\text{adm.}} \quad \text{d'où,}$$

$$d \geq [M_{f\max}/0,1 \tau_{\text{adm.}}]^{1/3} = [67445/0,1 \cdot 120]^{1/3} \approx 18 \text{ mm}$$

On choisit un diamètre  $d = 22 \text{ mm}$ .

\* Vérification de la contrainte de cisaillement  
L'effort tranchant est maximum au droit de chacun des appuis. Il est égal à

$$R_{A/2} = 2870 \text{ N}$$

La contrainte de cisaillement est donnée par :

$$\tau = (R_{A/2})/S$$

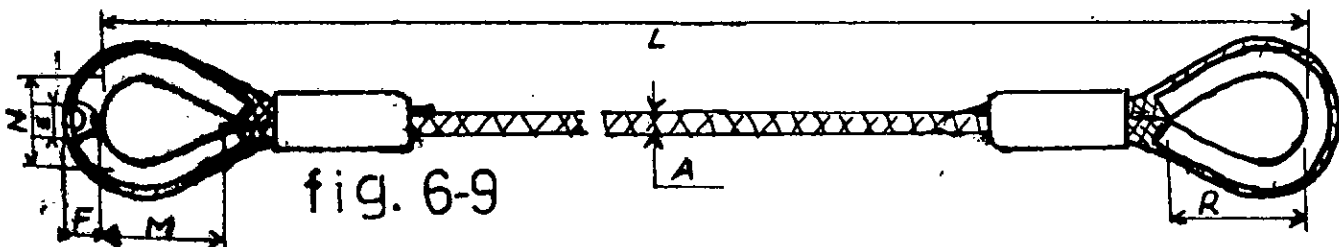
$S = \frac{\pi d^2}{4} = \frac{\pi \cdot 22^2}{4} = 380 \text{ mm}^2$  est la section droite de l'axe.

$$\tau = (2870)/380 = 8 \text{ N/mm}^2$$

$$\tau_{\text{adm.}} = \tau_{\text{adm.}}/2 = 120/2 = 60 \text{ N/mm}^2$$

Donc, on voit bien que  $\tau < \tau_{\text{adm.}}$ .

#### VII.4.4 CHOIX DE L'ELINGUE-CABLE



L'effort de traction dans la barre AC  $R_A = 574$  daN  
 On se propose de remplacer cette barre par un élingue-câble. On choisit, à cet effet, un élingue-câble avec ~~cotes~~  
 etal selon NF-51-001 disponible chez Stas. Code 82241  
 [ref. [7] page 12]. Des caractéristiques de cet élingue-câble sont :

- Charge à la rupture  $F_r = 3100$  daN,
- Résistance à la rupture  $R_r = 180$  daN/mm<sup>2</sup>,
- diamètre du câble  $A = 7,5$  mm
- $R = 43$  mm,
- $N = 26$  mm,
- $M = 35$  mm,
- $L$  : (sur demande).
- torsion :  $6 \times 19 = 114$  fils de  $\phi 0,5$  mm (âme en textile)

\* Vérification du coefficient de sécurité.

$$\Rightarrow C' = F_r / R_A = 3100 / 574 = 5,4 > C = 5 \text{ (recommandé par F.E.M.)}$$

## VI. 5. DIMENSIONS DES PROFILES CONSTITUANT LA FLECHE

La flèche est formée par l'assemblage de deux profils L en ~~acier~~ acier doux, disposés comme l'indique la figure ci-après, et dont l'écartement est assuré par des entretoises.

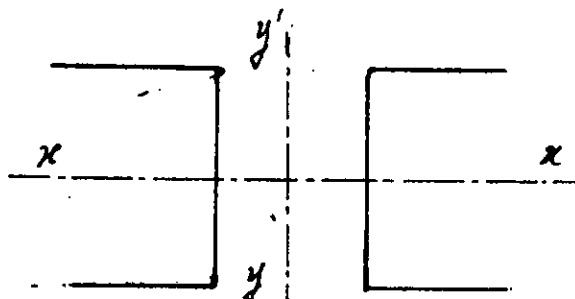


fig. 6-10

Cet écartement est déterminé de telle sorte que le moment d'inertie ( $I$ ) de la section droite totale soit minimal pour  $xx'$ . Entre le nœud (C) et le tambour sur lequel s'enroule le câble, la flèche est sollicitée par un effort axial de compression,

$$F_c = 1720 \text{ daN.}$$

On fera les hypothèses suivantes :

la flèche est articulée à ses deux extrémités ; la longueur libre de flambage sera donc égale à la longueur réelle de la flèche. Cette dernière est représentée par  $BC = 6,60 \text{ m}$ , l'effort axial de compression conserve la même valeur sur toute la longueur de la flèche.

La charge critique de flambage est donnée par la formule d'EULER :

$$P_c = \frac{\pi^2 E I_{xx}'}{L^2}$$

avec,

$E$  : module d'élasticité longitudinale

acier doux  $\Rightarrow E = 2.10^4 \text{ daN/mm}^2 = 200.000 \text{ N/mm}^2$

$I_{xx}'$  : le plus petit moment d'inertie de la section par rapport à un axe passant par le C.O.G. de la section de la flèche.

$L$  : longueur libre de flambage.

Les coefficients de sécurité recommandés sont :

4 à 5 pour les flèches en acier,

8 à 10 " " " en fonte,

10 " " " en bois. [ref.(6) page 300]

Notre flèche étant en acier, nous adoptons pour coefficient de sécurité

$$C = 5$$

La charge réelle  $P$  devra vérifier la relation :

$$P \leq \frac{\pi^2 E I_{xx}'}{5 L^2} \quad \text{d'où} \quad I_{xx}' \geq \frac{5 P L^2}{\pi^2 E}$$

$$P = F_c = 17200 \text{ N}$$

$$L = 6600 \text{ mm}$$

$$E = 200.000 \text{ N/mm}^2$$

$$I_{xx}' \geq \frac{5 \cdot 17200 \cdot 6600^2}{\pi^2 \cdot 200.000} = 1873080 \text{ mm}^4$$

$$\text{soit} \quad I_{xx}' \geq 187,3 \text{ cm}^4$$

Le moment quadratique par rapport à  $xx'$  de chaque profilé doit être au moins égal à la moitié de la valeur ci-dessus, soit à  $187,3 / 2 \approx 93,6 \text{ cm}^4$ .

On choisit donc un profilé UPN en acier laminé à chaud selon NF-(U 80X45)-A45 - 202. [ref(5) page 504].

Son moment d'inertie par rapport à  $xx'$  est  $(I_{xx'})_{xx'} = 106 \text{ cm}^4$  pour chacun des deux profils. donc,

$$(I_{xx'})_{\text{tot}} = 2(I_{xx'})_{xx'} = 2 \cdot 106 = 212 \text{ cm}^4 > 187,13 \text{ cm}^4$$

L'aire de la section droite de chacun des profils est,

$$S = 11 \text{ cm}^2$$

Le rayon de giration correspondant serait donc,

$$(r_{xx'}) = \sqrt{I_{xx'}/S} = \sqrt{\frac{106}{11}} = 3,10 \text{ cm}$$

Pour que la formule d'Euler puisse être appliquée, il faut que l'élançement  $\gamma$  satisfasse à la condition:

$$\gamma = L/r_{xx'} > 110 \quad [\text{ref (6) page 300}]$$

où

$L$  est la longueur de la flèche,

$r_{xx'}$  le rayon de giration.

$$L = 660 \text{ cm}$$

$$\left. \begin{array}{l} r_{xx'} = 3,10 \text{ cm} \\ L = 660 \text{ cm} \end{array} \right\} \gamma = \frac{660}{3,10} = 212 > 110$$

L'application de la relation d'Euler est donc justifiée.

### VI.5.1. DETERMINATION DE L'ECARTEMENT

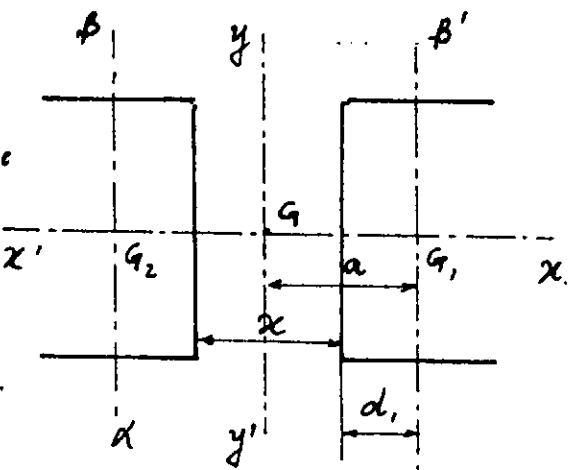
des valeurs données par la ref. (5) page 504 sont:

$$I_{xx'} = 106 \text{ cm}^4 \text{ (pour chaque profilé),}$$

$$I_{\alpha'\beta'} = 19,4 \text{ cm}^4$$

$$d_1 = 1,45 \text{ cm}$$

$$S = 11 \text{ cm}^2 \text{ (Section du profilé).}$$



\*Calcul de l'écartement ( $x$ ) pour que

$I_{xx}$  soit minimum. (inférieur à  $I_{yy}$ ):

l'écartement correspondant à  $(I_{x'x})_{xx} = (I_{yy})_{yy}$ , se détermine de la façon suivante :

$$(I_{yy})_{yy} = I_{\alpha'\beta'} + a^2 S = (I_{x'x})_{xx}$$

Soit

$$a^2 \cdot s + I_{\alpha' \beta'} = 106 \quad \text{d'où},$$

$$a = \left[ \frac{106 - I_{\alpha' \beta'}}{11} \right]^{1/2} = \left[ \frac{106 - 19,4}{11} \right]^{1/2} = 2,81 \text{ cm}$$

Or,

$$a = x_{1/2} + d, \quad \Rightarrow \quad x = 2(a - d)$$

$$\text{Soit}, \quad x = 2(2,81 - 1,45) = 2,72 \text{ cm} = 27,2 \text{ mm}$$

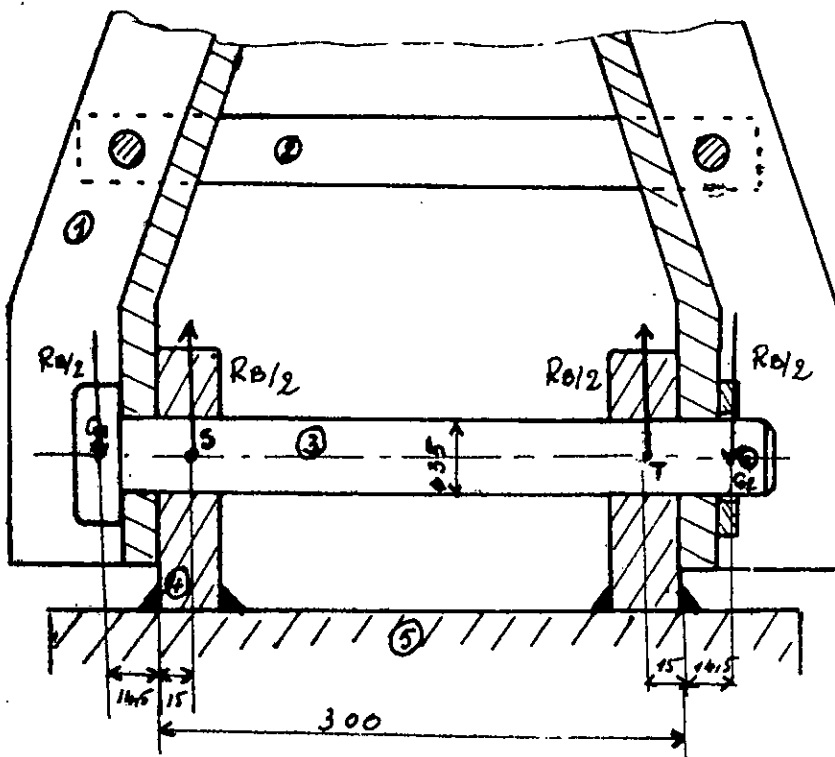
Donc, pour que  $(I_{xx})$  soit inférieur à  $(I_{yy})$ , il suffit que l'écartement  $x$  soit supérieur à  $27,2 \text{ mm}$ ;

adoptons finalement un écartement minimal,

$$x_{\min} = 50 \text{ mm}$$

$$x_{\min} = 50 \text{ mm}$$

## VI.6. VERIFICATION DE L'AXE AU PIED DE LA FLECHE



1 : profilé en U

2 : entretoise

3 : axe

4 : plat

5 : table

$$R_B = 1736 \text{ dan.}$$

fig. 6-11

Sur l'axe au pied de la flèche est soumis à la flexion due à la réaction  $R_B$ .

Le moment glissement est maximum de ( $S-S$ ) à ( $T-T$ ).

$$M_f = M_{f_S} = M_{f_T} = -\frac{R_B \cdot 29,5}{2}$$

$$= (-17360/2) \cdot 29,5 = -256060 \text{ N.mm}$$

Contrainte de flexion :

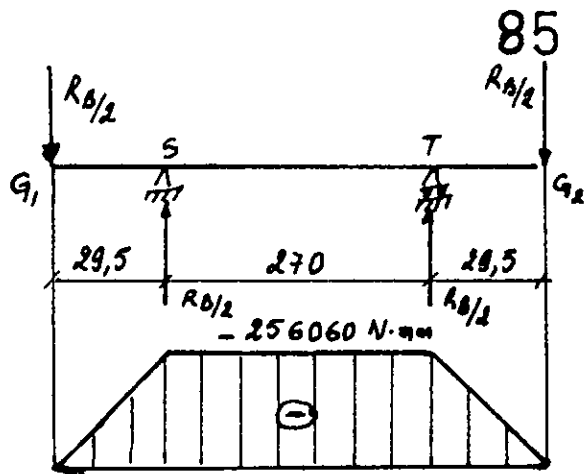


fig. 6-12

$$\sigma_{f_{max}} = M_f / 0,1 d^3 \quad M_f = 256060 \text{ N.mm}$$

$$d = d_T = 35 \text{ mm}$$

$$\Rightarrow \sigma_{f_{max}} = 256060 / 0,1 \cdot 35^3 = 60 \text{ N/mm}^2$$

On réalise cet axe en acier mi-dur XC 18 de résistance élastique  $R_e = 370 \text{ N/mm}^2$

Avec un coefficient de sécurité  $c = 3$ ,

$$\sigma_{adm.} = R_e/c = 370/3 \approx 120 \text{ N/mm}^2$$

$\sigma_{f_{max}} = 60 \text{ N/mm}^2$  est bien inférieure à  $\sigma_{adm.} = 120 \text{ N/mm}^2$ .

Contrainte de cisaillement :

L'effort tranchant est équivalent à  $R_B/2 = 8670 \text{ N}$

$$\tau = (R_B/2)/S_e \quad S_e = \pi d_s^2/4 = \pi 35^2/4 = 962 \text{ mm}^2$$

$$\tau = 8670/962 = 9 \text{ N/mm}^2$$

Pour les aciers  $\tau_{adm.} = \sigma_{adm.}/2 = 120/2 = 60 \text{ N/mm}^2$   
donc  $\tau$  est bien inférieure à  $\tau_{adm.}$ .

# CONCLUSION

Les mesures sur les éléments en mouvement variés, présentent réellement beaucoup de difficultés. La mesure du couple à elle seule a imposé le mode de construction du travail. Elle a laissé toutefois la possibilité de mesure des autres grandeurs telles l'accélération, le parcours..., qui n'influaient pas tellement sur la construction proprement dite mais qui font appels aux appareillages extérieurs au travail.

On peut penser alors que les mesures de accélérations, des vitesses et des parcours du crochet peuvent se faire directement sur les travaux courants existants déjà sur les chantiers ou dans les ateliers par la méthode photocellulaire pour ces trois grandeurs citées et par le montage direct d'un accéléromètre sur la moufle pour l'accélération.

Il faudra tenir compte du temps de réaction du manipulateur vu que les temps de démarrage et de freinage durent moins d'une seconde; c'est pourquoi la marche et l'arrêt du travail du travail et de l'appareillage de mesure doivent être reliés à un même point de commande. Cela assurera une synchronisation des différentes caractéristiques mesurées.

Chaque signal de sortie correspondant aux grandeurs de travail du travail différents est enregistré en fonction du temps par un des canaux de l'enregistreur électromagnétique qui en comporte généralement quatre. On peut voir alors le comportement de ces grandeurs pour chaque période de chaque phase du cycle.

# bibliographie

1. Normy techniczne t.3 Elementy OZWIJANIC  
varsovie 1971.
2. Moteurs-Freins asynchrones WINELEC  
Alsthomme Industrie 1961
3. Les appareils de levage t.1 Hellmut Ernest  
Gauthiers-Villars-Eyrolle Paris 1962
4. Traité théorique et Pratique des Engrenages G. Henriot  
6.1. Jules Paris 1968
5. Mécanique par les problèmes t.4 A. compa, R. Chappert, R. Picard.  
Foucher 1983.
6. Mécanique t.2 René Basquin  
Delagrange 1983
7. Accessoires de levage document STAS  
Paris 1984
8. Atlas de construction ouvrages soviétiques
9. Normy techniczne t.2 varsovie 1970
10. Mémento de dessin industriel Lenormand et fine 1.  
Foucher
11. Guide du dessinateur industriel A. chevalier  
Hachette 1979.

